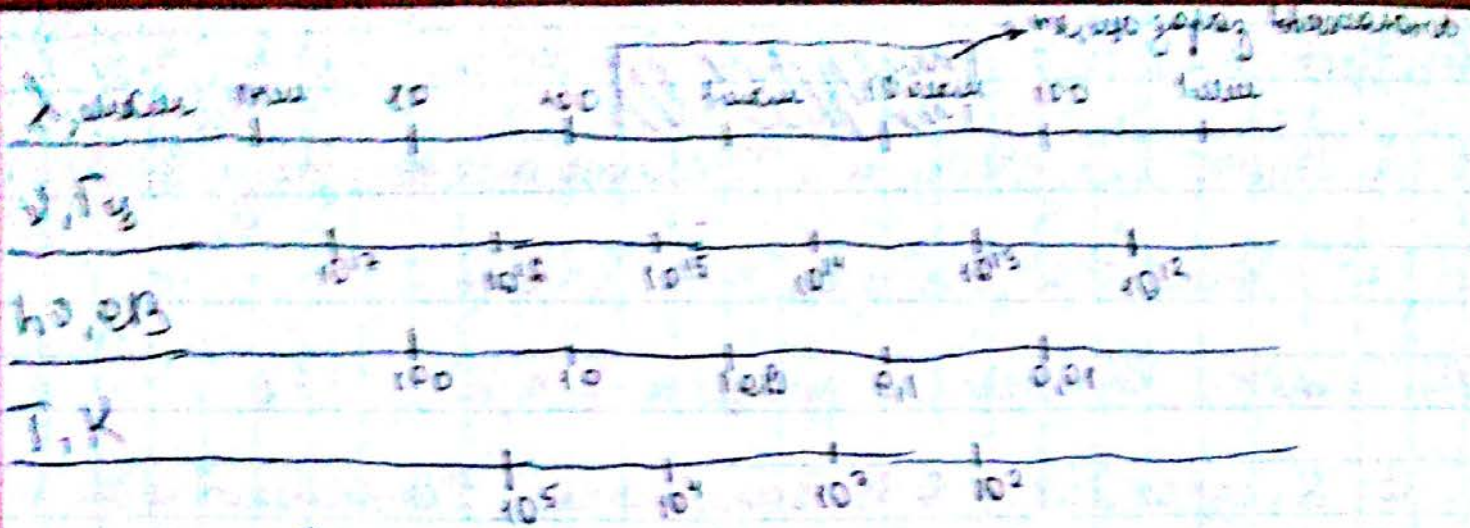


1. О. В. Бурман, Изобретатель В. З. "Основы физики н/п" Т. 2.
2. В. Л. Бонд-Бруевич, С. Т. Каманин "Физика н/п" 1990
3. Ф. В. Мамин "Физика н/п", 1976
4. И. Станков "Оптические процессы в н/п", 1973.
5. С. В. Кондратенко, О. В. Вануленко "Фотоэлектроника".
6. Р. Смит "Фотопроводники", 1982.
7. Т. Мосе, Барри Т., Б. Д. Дилл "н/п фотоэлектроника", 1976
8. С. М. Рыбкин "Фотоэлектронические явления в н/п" 1965.
9. С. Д. Дика, О. В. Бурман, Алексей В. В. "Физика звука", 2002

Гл. 1. Теория дисперсии в твердой среде

§ 1. Оптический диатризм

Если длина волны в вакууме $\lambda = 1 \text{ мкм} \div 1 \text{ мкм}$, то это опти-
 ческий диатризм. Кроме, на скорости $\lambda = 0,2 \div 50 \text{ мкм}$.
 Чертит зрительно в мкм $0,02 \div 5 \text{ еВ} = h\nu$. Если
 чертит по порядку джмкс еВ, то будут вытиски. Эта
 тронит переадрес "зона-зона".



$$E(\text{эВ}) = \frac{1,24}{\lambda(\text{нм})}; \quad E(\text{эВ}) = 4,1 \cdot 10^{-15} \cdot \nu(\text{Гц})$$

$$\lambda_{\text{пол}}(\text{нм}) = \frac{3900}{T(\text{К})} \quad \text{закон Вейнштейна-Резера}$$

- Полупроводник, 900 нм \rightarrow 14500 К
- 550 нм \rightarrow 5600 К (температура Солнца)
- 50 нм \rightarrow 60 К (азот жидкий)
- 9 нм \leftarrow 36,6 $^{\circ}\text{C}$

$$N_{\varphi} = 5 \cdot 10^{15} \lambda \cdot \rho \quad \text{вырожденность спонтанно}$$

[нм] [Вт/м²]

Свет лампы-неоновая лазера: $\lambda = 0,63 \mu\text{м}$, $\rho = 5 \text{ мВт}$, то есть $10^{18} \text{ см}^{-2} \text{ с}^{-1} \approx N_{\varphi}$

§2. Оптика когерентности

$$\text{rot } \vec{E} = -\frac{1}{c} \cdot \frac{\partial \vec{D}}{\partial t}; \quad \text{div } \vec{E} = 4\pi \rho \quad \left/ \begin{array}{l} \text{система} \\ \text{СГС} \end{array} \right.$$

$$\text{rot } \vec{H} = \frac{4\pi}{c} \vec{j} + \frac{1}{c} \cdot \frac{\partial \vec{D}}{\partial t}; \quad \text{div } \vec{H} = 0$$

равнения Максвелла

в системі СД:

$$\text{rot } \vec{E} = -\frac{\partial \vec{B}}{\partial t}$$

$$\text{div } \vec{E} = \rho$$

система
/СД

$$\text{rot } \vec{H} = \vec{j} + \frac{\partial \vec{D}}{\partial t}$$

$$\text{div } \vec{H} = 0$$

$$\vec{j} = \sigma \vec{E}; \quad \vec{D} = \mu_0 \mu \vec{H} = \mu_0 \vec{H} \quad | \quad \mu=1 \quad (\text{для } \mu_0 \text{ та діелектричного } \mu=1)$$

$$\vec{D} = \epsilon \epsilon_0 \vec{E}; \quad \vec{D} = \epsilon_0 \vec{E} + \vec{P}, \text{ де } P - \text{поляризація}$$

$$\vec{P} = \chi^E \vec{E}; \quad - \text{електрична поляризація}$$

$$\vec{P} = \chi^H \vec{H} - \text{магнітна поляризація}$$

$$\epsilon = 1 + 4\pi \chi^E$$

$$\vec{P} = N e \vec{r} - \text{дипольний момент}$$

сильність
диполь

якщо розглядаємо діелектрик або невироджений напівпровідник, то $\rho = 0$.

Вважаємо, що $\epsilon \neq \epsilon(H, E)$, в такому випадку:

$$\text{rot } \vec{E} = -\mu_0 \frac{\partial \vec{H}}{\partial t}; \quad \text{rot } \vec{H} = \sigma \vec{E} + \epsilon_0 \epsilon \frac{\partial \vec{E}}{\partial t}$$

Візьмо rot 1-го рівняння:

$$\text{rot rot } \vec{E} = -\mu_0 \text{rot } \frac{\partial \vec{H}}{\partial t} = -\mu_0 \frac{\partial}{\partial t} \text{rot } \vec{H} = [\text{підставимо 2-ге рівняння}]$$

$$= -\mu_0 \left(\frac{\partial \sigma \vec{E}}{\partial t} + \epsilon_0 \epsilon \frac{\partial^2 \vec{E}}{\partial t^2} \right)$$

$$\Delta = \nabla \cdot \nabla = \text{rot} \cdot \text{rot}$$

$$\mu_0 \epsilon \cdot \epsilon_0 \cdot \frac{\partial^2 \vec{E}}{\partial t^2} + \mu_0 \sigma \cdot \frac{\partial \vec{E}}{\partial t} + \Delta \vec{E} = 0$$

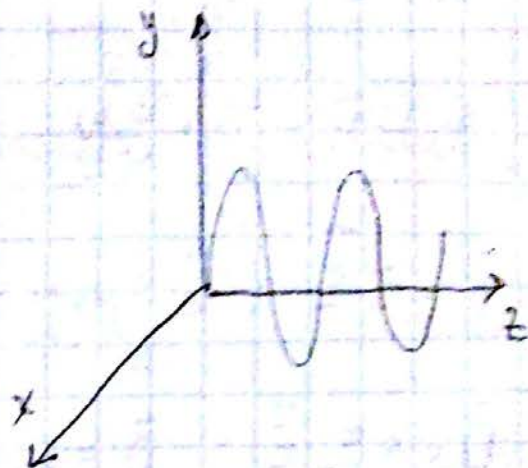
Укажем разложение для E у плоской волны:

$$E_x = E_0 \exp \left[i\omega \left(t - \frac{\hat{n}z}{c} \right) \right]$$

$$\hat{n} = c^2 \left(\epsilon \epsilon_0 \mu_0 - \frac{i\sigma \mu_0}{\omega} \right)$$

$$\hat{n} = n - ik$$

где $\epsilon = \epsilon$, $\sigma = 0$, $n = 1$, $c^2 = \mu_0 \epsilon_0 \Rightarrow$



$$c = \frac{1}{\sqrt{\mu_0 \epsilon_0}}$$

Подставим \hat{n} в E_x :

$$E_x = E_0 \exp \left(-\frac{\omega}{c} z k \right) \exp \left[i\omega \left(t - \frac{z}{c} \right) \right]$$

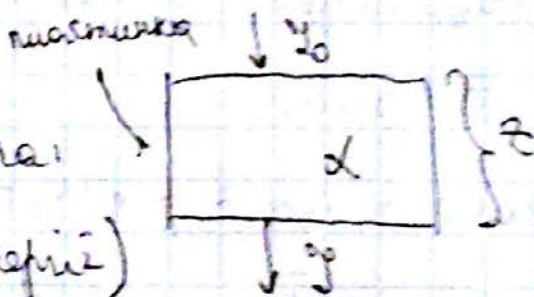
Если средоу не поглощает, то $k = 0$ и $\exp \left(-\frac{\omega}{c} z k \right) = 1$

Закон Фурье-Лапласа-Бэра:

$$I = I_0 e^{-2z}$$

Знаем вектор Пунда-Фойтмана:

$$P = [\vec{E} \times \vec{H}] \text{ (разносекционная энергия)}$$



$$\frac{2\omega z k}{c} = \alpha; \quad c = \lambda \nu; \quad \omega = 2\pi \nu \Rightarrow$$

α - коэффициент поглощения;

$$\alpha = \frac{4\pi k}{\lambda} = \frac{4\pi k \nu}{c}$$

выделенный - коэффициент поглощения

k - коэффициент экстинкции.

$$\hat{n} = \epsilon - i\sigma/\omega\epsilon_0; \quad n^2 - k^2 = \epsilon \Rightarrow 2nk = \frac{\sigma}{\omega\epsilon_0}$$

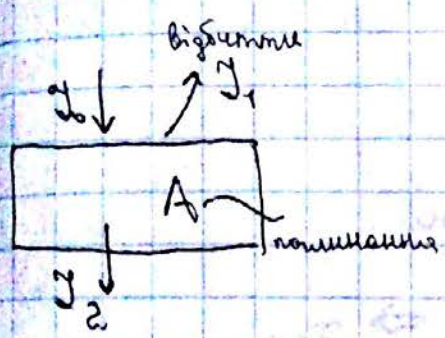
дисперсионные соотношения

З другого рівняння: $\delta = 2\pi k \omega \epsilon_0$, де $\delta = \epsilon \mu n$ - рухомивість

За визначенням: $\delta \approx \frac{1}{\rho} = \frac{1}{\sigma}$

Якщо $k=0 \Rightarrow \delta=0$ - якщо пошукати нема, то нема провідності.

Ці δ не співпадають, оскільки вимірюються в різних умовах. $\epsilon = n^2$.



$$R = I_1 / I_0$$

$$T = I_2 / I_0 \text{ - пропускання}$$

$$I_2 < I_0 \text{ - } \delta \text{ є пошукання}$$

$$A + T + R = 1$$

стичні константи

Усі параметри є частотно залежними
 $A(\omega); T(\omega); R(\omega)$ - дисперсійні величини

Формула Френеля для нормального падіння:

$$R = \frac{(n - ik - 1)^2}{(n - ik + 1)^2} \text{ - формула Френеля (коефіцієнт пошукання)}$$

при $k=0$ діє формула $R = \left(\frac{n-1}{n+1}\right)^2$

k - велике метал $R \rightarrow 1$

§ 3. Рівняння з класичної теорії дисперсії: інші аспекти

Теорія має справу з зб'язаними носіями.

$$m_e + F_{\text{затягує}} + F_{\text{повертає}} = e E_x$$

Частота електрона є власна частота.



$F_{\text{растр}} = mg \frac{dx}{dt}$, где g - коэффициент затухания.

$$F_{\text{центр}} = \frac{mv^2}{r} = \frac{m\omega_0^2 x^2}{x} = m\omega_0^2 x$$

$$E_{x_0} e^{i\omega t} = E_x \text{ - обратим макс}$$

$$a = \frac{dx^2}{dt^2}$$

/ ω_0 - собственная частота

Все подставляем в закон Ньютона:

$$m \frac{dx^2}{dt^2} + mg \frac{dx}{dt} + m\omega_0^2 x = e E_{x_0} e^{i\omega t}$$

Угадаем решение в виде:

$$x = x_0 e^{i\omega t}, \text{ подставляем в уравнение:}$$

$$m(i\omega)^2 x_0 + mg(i\omega)x_0 + m\omega_0^2 x_0 = e E_{x_0} \Leftrightarrow x_0:$$

$$x_0 = \frac{e E_{x_0} / m}{(\omega_0^2 - \omega^2) + i\omega g}$$

Задаем связь напряженности: $\vec{D} = \epsilon_0 \epsilon \vec{E}$ або $\vec{D} = \epsilon_0 \vec{E} + \vec{P}$, где

$\vec{P} = Ne x_0$ - дипольный момент. Фурьеобразно:

$$\epsilon_0 \epsilon E_x = \epsilon_0 E_x + Ne x_0 \Rightarrow \epsilon = 1 + \frac{Ne x_0}{\epsilon_0 E_x}$$

Осибли електричне поле має великий заряд, то:

$$\epsilon = 1 - \frac{Ne x_0}{\epsilon_0 E_x} = 1 - \frac{Ne}{\epsilon_0 E_{x_0}} \cdot \frac{e E_{x_0} / m}{\omega_0^2 - \omega^2 + i\omega g}$$

$$\epsilon = \tilde{n}^2 = (n - ik)^2 = n^2 - 2ikn - k^2, \text{ подставляем } \epsilon:$$

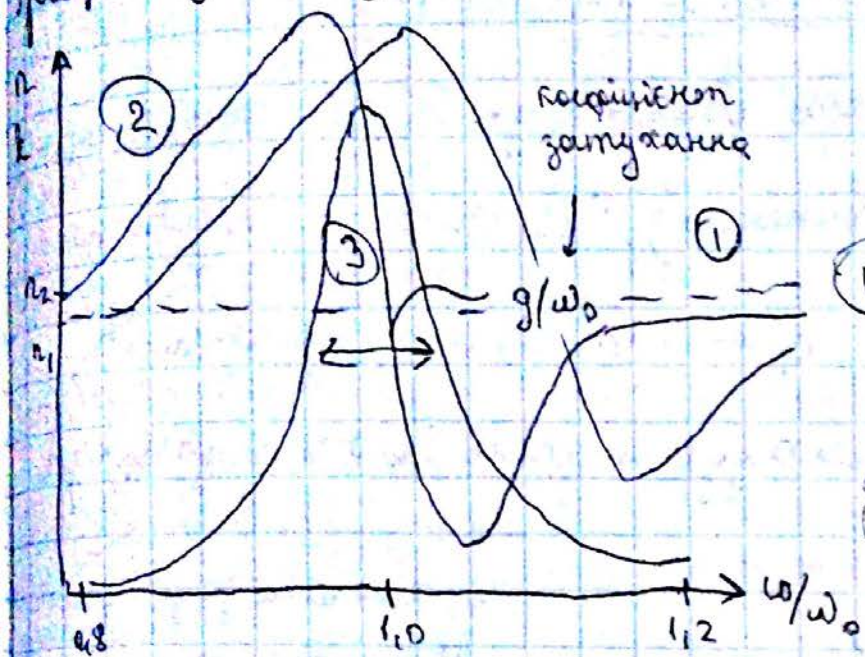
$$n^2 - k^2 - 1 = \frac{Ne^2}{\epsilon_0 m} \cdot \frac{\omega_0^2 - \omega^2}{(\omega_0^2 - \omega^2)^2 + \omega^2 g^2}$$

$$2kn = \frac{Ne^2}{\epsilon_0 m} \cdot \frac{\omega g}{(\omega_0^2 - \omega^2)^2 + \omega^2 g^2}$$

§ 4. Власності класичного осцилятора

осцилятор

Графік у вищій приведеній частоті:



Якщо $g \rightarrow 0$, то $k \rightarrow 0$, то ліній моді не буде.

1,2) Формальна дисперсія:

$$\omega \uparrow \quad n \uparrow$$

3) Формальна дисперсія:

$$\omega \uparrow \quad n \downarrow$$

В області 2, коли $\omega \rightarrow 0$, $k \rightarrow 0$, то

$$n_2^2 = 1 + \frac{Ne^2}{\epsilon_0 m} \cdot \frac{1}{\omega_0^2} \quad / \quad \omega \ll \omega_0$$

показує збільшення оптичного діапазону. Ця величина вказує на ширину.

$n_2^2 = \epsilon$ - високочастотна діелектрична проникність.

Введемо:

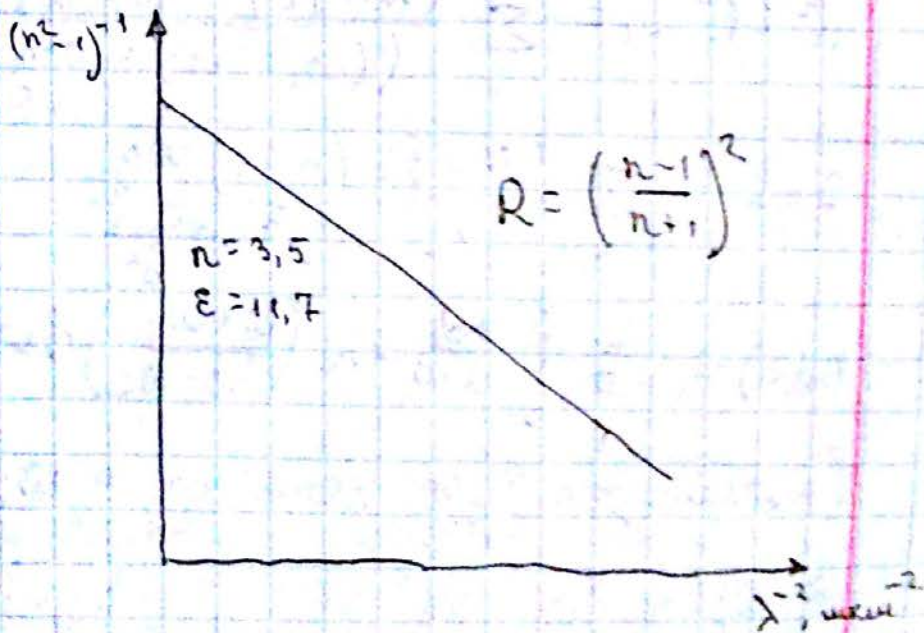
$$n_2^2 - 1 = \frac{Ne^2}{m\epsilon_0} (\omega_0^2 - \omega^2)$$

чи $k \rightarrow 0$

$$\frac{1}{n^2 - 1} = f\left(\frac{1}{\lambda^2}\right)$$

$$R = f(\omega)$$

$$R = \left(\frac{n - ik - 1}{n - ik + 1} \right)^2$$



$$n^2 - k^2 - \epsilon^* = \left(\frac{Ne}{m\epsilon_0} \right) \cdot \frac{\omega_0^2 - \omega^2}{(\omega_0^2 - \omega^2)^2 + \omega^2 g^2}$$

Заміємо і пишемо ϵ^* , що часто справді $= 1 : \epsilon^* \rightarrow 1$

§ 5. Силуи "зашмикових" променів

Частіше випадок, що велика область, де $R \gg 1$ (напр, плазми або інші електричні випадок). Ця область називається областю "зашмикових" променів іонних кристалів.

Формула Силетті - показує ступінь іонною зв'язку в молекулі:

$$\epsilon - n_0^2 = N \frac{(n_0^2 + 2)^2 e^{*2}}{g M \epsilon_0 \omega_0^2}$$

\uparrow оптичний область \uparrow іонний зв'язок послугу

ω_0 - частота, де утворюється максимуми
 M - приведена маса
 $\frac{1}{M} = \frac{1}{M_1} + \frac{1}{M_2}$

§ 6. Силвідношення Крамерса-Кроніга

Якщо $\omega_0 \rightarrow \omega_i$, $g \rightarrow g_i$ (заміємо одні частоти ω_0 , є набір ω_i)

$$n^2 - k^2 - 1 = \sum_i \frac{(N e^2 f_i / m \epsilon_0) (\omega_i^2 - \omega^2)}{(\omega_i^2 - \omega^2)^2 + \omega^2 g_i^2}$$

$$2nk = \sum_i \frac{(N e^2 f_i / m \epsilon_0) \omega g_i}{(\omega_i^2 - \omega^2)^2 + \omega^2 g_i^2}$$

$$n(\epsilon) - 1 = \frac{c}{\pi} \int_0^\infty \frac{d\omega'}{\omega'} \ln \left(\frac{\omega + \omega_i}{\omega - \omega_i} \right) d\omega' - \text{силвідношення між } n \text{ і } k'$$

Максимум буде коли $\omega \rightarrow \omega_i$

$$\epsilon'(\omega) = \frac{1}{\pi} \text{V.p.} \int_{-\infty}^{\infty} d\omega' \frac{\epsilon''(\omega')}{\omega' - \omega} ; \quad \epsilon''(\omega) = -\frac{1}{\pi} \text{V.p.} \int_{-\infty}^{\infty} d\omega' \frac{\epsilon'(\omega')}{\omega' - \omega}$$

$$n_0^2 - 1 = \frac{2}{\pi} \int_0^\infty \frac{2nk}{\omega'} d\omega'$$

§7. Двухперіодичні і пошуківані

Вільні коливання

$$m \frac{d^2 x}{dt^2} + mg \frac{dx}{dt} + m \omega_0^2 x = eE \quad (1) \Leftrightarrow n^2 - k^2 - \varepsilon^* = \frac{Ne^2}{m^* \varepsilon_0} \cdot \frac{1}{\omega^2 + g^2}$$

незмінно до
двох вільних періодів
обертального руху
за розумок
посліди спроби

$$2nk\omega = \frac{Ne^2}{m^* \varepsilon_0} \cdot \frac{g}{\omega^2 + g^2} \quad (2)$$

Якщо проінтегрувати рівняння (1) за час між послідовними
зіткненнями електронів, отримуємо:

$$m^* \left. \frac{dx}{dt} \right|_0^T + m^* g \left. x \right|_0^T = eET \quad / \text{ оскільки у момент зіткнення } \frac{dx}{dt} = 0,$$

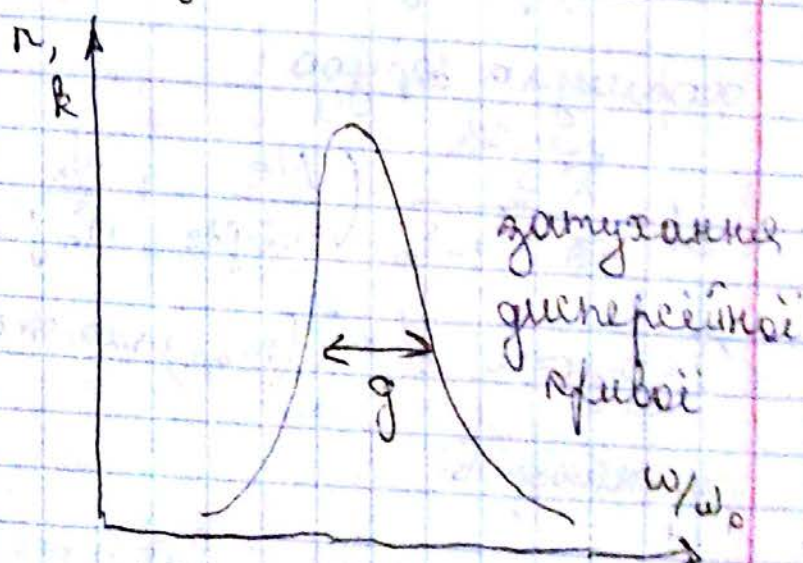
виглядає за періоду то формула спрощується

Враховуючи рухливість: $\mu = \frac{v}{E} = \frac{x}{t} E \Rightarrow x = \mu t E$ підставимо
у рівняння

$$m^* g \mu T E = eET \Rightarrow g = \frac{e}{m^* \mu}$$

У час релаксації - час, який проходить між зіткненнями

$$\tau_0 = \frac{m^* \mu}{e} \Rightarrow \boxed{g = \frac{1}{\tau_0}}$$



Підставимо в рівняння (2) значення g , яке отримали:

$$2nk\omega = \frac{Ne^2}{m^* \varepsilon_0} \cdot \frac{e/(m^* \mu)}{\omega^2 + \frac{e^2}{(m^* \mu)^2}} = \frac{Ne^2 m^* \mu^2 \cdot e/(m^* \mu)}{m^* \varepsilon_0 (\omega^2 \mu^2 m^{*2} + e^2)} =$$

$$= \frac{\epsilon \mu N}{\epsilon_0} \cdot \frac{1}{1 + \frac{\omega^2 \mu^2 m^2}{e^2}} = \frac{\sigma}{\epsilon_0} \cdot \frac{1}{1 + \frac{\omega^2 \mu^2 m^2}{e^2}}$$

Провідність $\sigma = e n v$, тоді переписемо рівняння

Знаємо про співвідношення $L = \frac{\omega k}{c} \cdot z$

$2 \omega k n = \frac{2 \omega k}{c} n c = L n c$ - перенесемо швидкість частини:

$$L = \frac{\sigma}{\epsilon_0 n c} \cdot \frac{1}{1 + \frac{\omega^2 \mu^2 m^2}{e^2}} - \text{формула Дрюде}$$

якщо підставимо типові значення (e, μ , ат. діаметри):

$$1 \ll \frac{\omega^2 \mu^2 m^2}{e^2} \Rightarrow L \sim \frac{1}{\omega^2} \sim \lambda^2$$

Формула Дрюде показує, що $L \sim \lambda^2$

Вене коректного опису об'єкта

вважаємо, що завжди присутні обидва

наші заходи, відповідно змінюється

формула Дрюде:

$$L = \frac{\lambda^2 e}{4 \pi^2 c^3 n \epsilon_0} \left(\frac{N_e}{m_e^2 \mu_e} + \frac{N_h}{m_h^2 \mu_h} \right) - \text{коректний запис формули, враховуючи атоми носіїв}$$

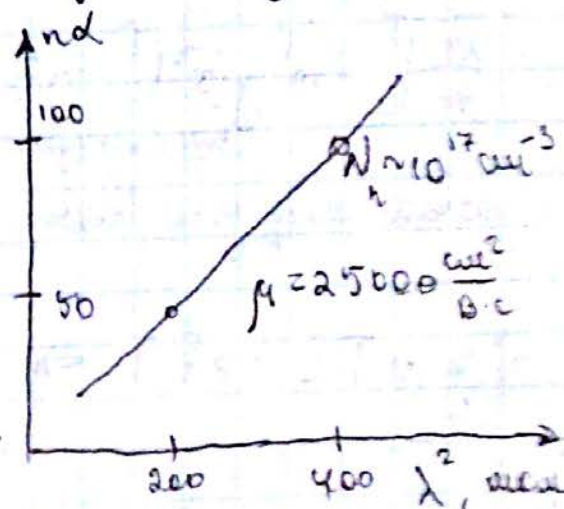
Будуючи $L = f(m, \mu)$ можна знати одне з 5 невідомих параметрів.

На експерименті з'ясувалося, що $L \sim \lambda^2$ не точно, а:

$$L \sim \omega^{-1.5} \quad (h\nu \gg kT); \quad L \sim \omega^{-2.5} \quad \text{отримано}$$

для акустичних фонових

$$L \sim \omega^{-3} \quad (h\nu < kT)$$



§ 8. Импульсный резонанс

Резонанс (2) проявится в дисперсионной области (там, где возможны будут реальные резонансы)

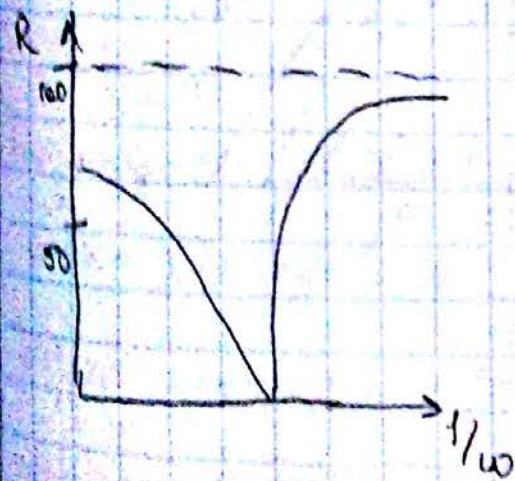
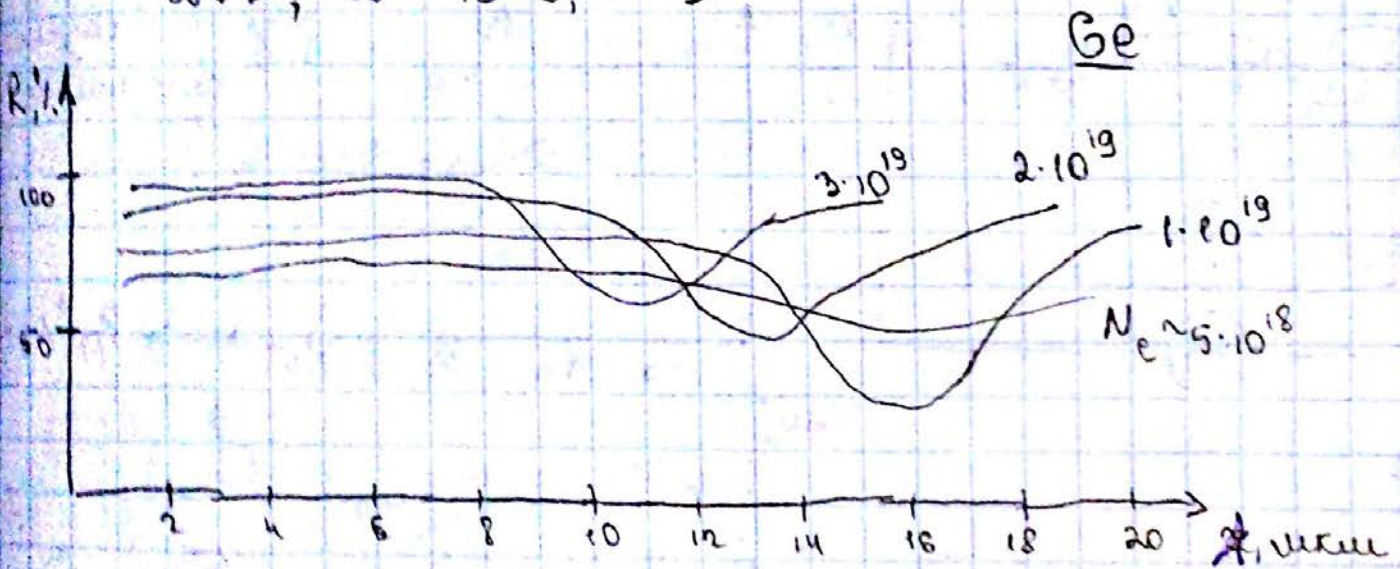
$$R = \left(\frac{n - ik - 1}{n - ik + 1} \right)^2 \text{ где } k > 0 \approx \left(\frac{n-1}{n+1} \right)^2 \text{ в области резонанса}$$

Если мы в области резонанса, то:

$$n^2 - k^2 = n_0^2 - \frac{Ne^2}{m^* \epsilon_0} \cdot \frac{1}{\omega^2}$$

если $\omega \downarrow$, то k^2 - неустойчиво, тогда $n=1, R=0$

$\omega \downarrow$, то $n=0, R=1$.



$$m^* \frac{d^2 x}{dt^2} = eE = + \frac{Ne^2 x}{\epsilon \epsilon_0}$$

$$\omega_p^2 = \frac{Ne^2}{\epsilon \epsilon_0 m^*} \text{ - плазменная частота}$$

$$n^2 - k^2 = n_0^2 - \frac{Ne^2}{\epsilon \epsilon_0 m^*} \cdot \frac{\epsilon}{\omega^2 + \gamma^2} =$$

$$= n_0^2 \left(1 - \frac{\omega_p^2}{\omega^2 + \gamma^2} \right) \text{ - преобразованный резонанс (1)}$$

$$\operatorname{Im} k\omega = \frac{Ne^2}{m^* \epsilon_0 \epsilon} \frac{\epsilon}{\epsilon} \cdot \frac{g}{\omega^2 + g^2} = \rho^2 \cdot \frac{g\omega^2}{\omega^2 + g^2}$$

Ми записали дисперсійні рівняння для поширення лінійних хвиль.

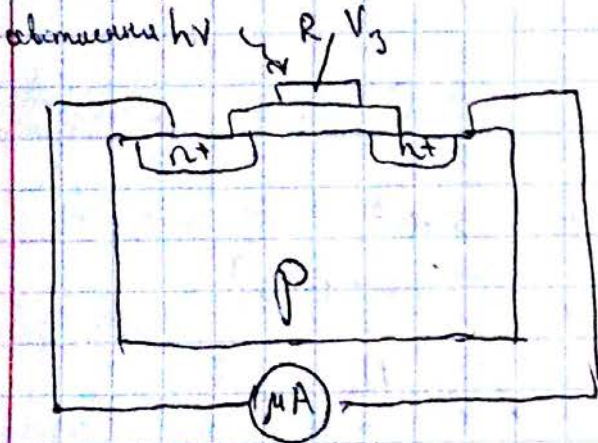
$$\lambda \cdot \nu = c/n \rightarrow \lambda = \frac{c}{\nu n} = \frac{2\pi c}{\omega n}$$

Якщо $\lambda \uparrow, \omega \downarrow \Rightarrow \lambda \rightarrow \infty$

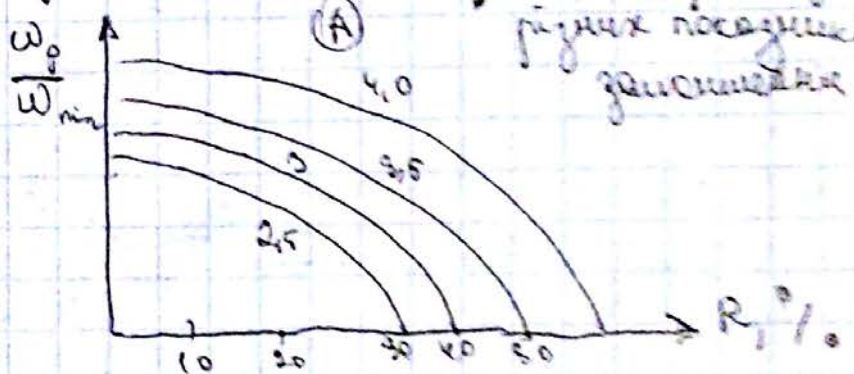
$2\pi\nu = \omega$
 / можливі резонанси - коли частота резонується з частотою сукрування. маємо одні колу графу

Плазма - бо мають однакову частоту

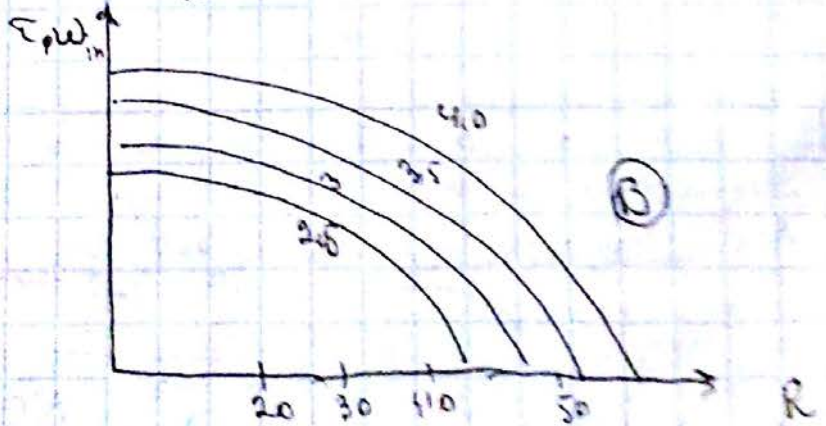
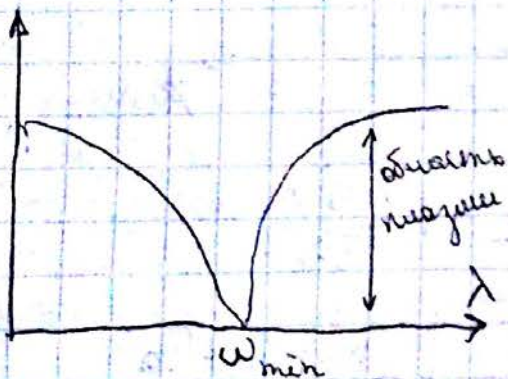
§ 9. Фізико-математика плазменного резонанса



резонанса



маючі різні показники заломлення



$$\epsilon = \frac{\mu m^*}{e} \quad ; \quad \omega_p^2 = \frac{Ne^2}{\epsilon \epsilon_0 m^*}$$

$$R = \frac{\epsilon \epsilon_0}{m^*}$$

$$\sigma = Ne\mu = \frac{Ne^2 c \epsilon \epsilon_0}{m^* \epsilon_0 \epsilon_0} = \omega_p^2 \rho^2 \epsilon_0 c$$

З кривої B можна знайти τ та ω , знаючи R, ρ , отже знаємо

τ , оскільки ω_{min} ширинкою еквівалентна

З кривої A знаємо R, ρ, ω_{min} знаємо τ

і можна
на швидкості
профону профону
загальне

Тл. 2. Пошкодження в напівпровідниках

§ 1. Види пошкодження

1. Пошкодження фоткою (характеристика ширини по характеру) як пошкодження рівнів

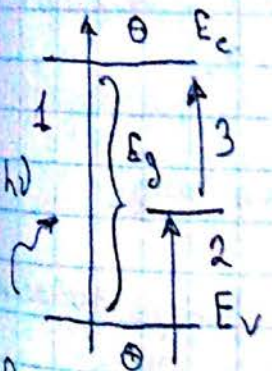
2. Пошкодження за участю носіїв заряду:

а) вільні: - плазмова пошкодження

- пошкодження зрідде

б) зв'язані: - ведуть до утворення вільних носіїв

- не ведуть до утворення вільних носіїв



1) V -зона \rightarrow C -зона

2) V -зона \rightarrow рівень h^+

3) рівень \rightarrow C -зона e^-

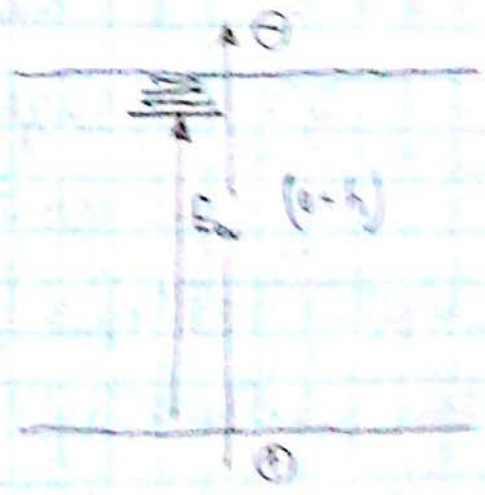
Пошкодження ексітона

e^-h^+ - зв'язані між собою

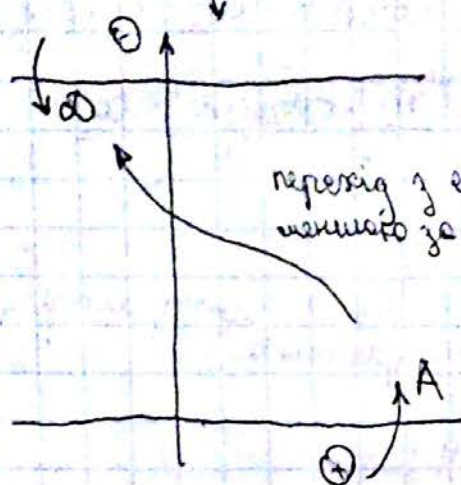
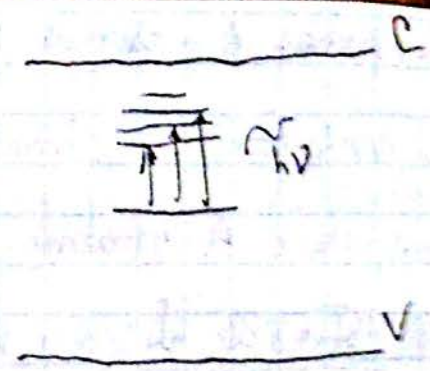
Заряд при цьому не змінюється

ексітони зсуваються пара

"електрон-дірка"

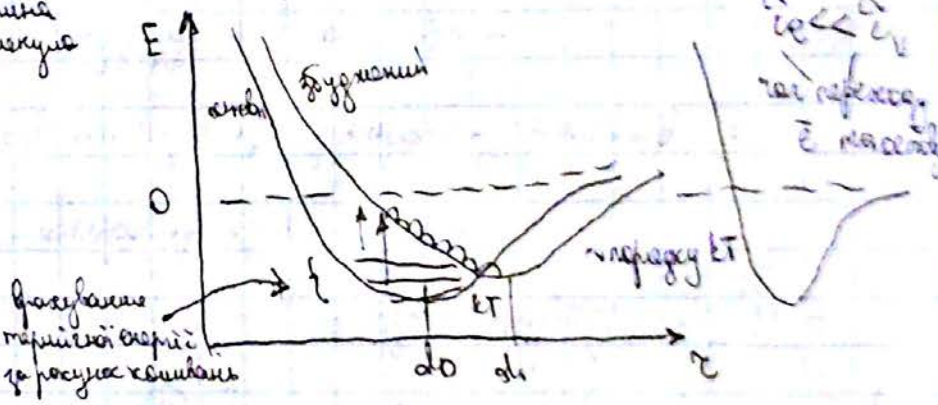
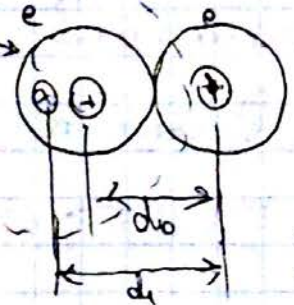


переходи на швидких рівнях
 Це є ΔE - зонно-акцепторна пара



§ 2. Фенітон Фрэнк-Кондона

Фрэнк-Кондон
 найбільш на енергії $h\nu$
 Фрэнк-Кондон ефект - прони переходи в молекули відбуваються так швидко, що за час переходу не здійснюється не відносно повільна, індивідуальна атомних ядер



Власна енергія - легше перейти на рівень вище

Звідто є $E_{опт}$ і $E_{період}$ активації. Фотичні переходи відбуваються
 $h\nu = E_{опт} + E_{період}$

§ 3. Вероятність переходів

у прямозонних n/p

але відомо $E = f(k)$, є дозвolenі і заборонені зони. Розма-
 даємо максимально приблизенні одна до одної зони:
 σ -валентна і s -провідності.

$\hbar v > E_g$ - пошманья
 $A^{\text{III}}B^{\text{V}}$: GaAs, InAs, InSb
 $A^{\text{II}}B^{\text{VI}}$: CdS, CdTe, ZnS

$p = m\hbar = \hbar k$ - импульс

также у результатов импульса
 тоже, то $\Delta p = \hbar \Delta k$

- 1: $\Delta k = 0$
- 2: $\Delta k > 0$

$\Delta p_e = \hbar k$ - ширина импульсу электрона

$\Delta p_e = \frac{h}{2\pi} \cdot \frac{\pi}{2a} = \frac{h}{2a} = \frac{h}{10^{-9}}$

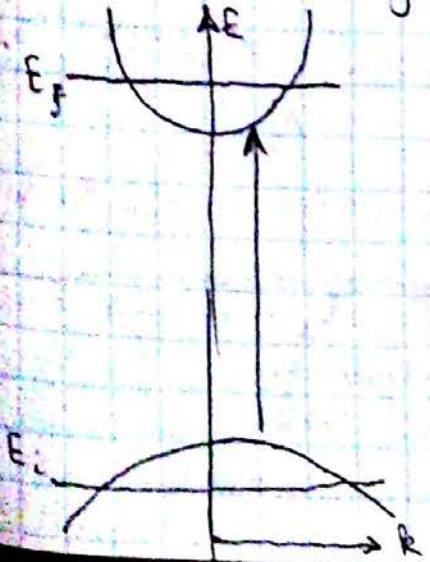
для GaAs $a \sim 5 \text{ \AA} = 0,5 \cdot 10^{-9} \text{ м}$

Раствор = $\frac{h\nu}{c} = \frac{h}{2\pi} \cdot \frac{2\pi\nu}{c} = [c = \lambda\nu] = \frac{h}{\lambda} = \frac{h}{0,8 \cdot 10^{-6}}$

Ширина запрещенной зоны: $E_g = 1,43 \text{ эВ}$, $\lambda \sim 0,8 \text{ мкм}$

§4. Расчет коэффициента пошманья для прямозонных n/p

пошманья для прямозонных n/p



$N_f(\hbar\nu)$

$N_i(\hbar\nu)$
 ширина энергии
 запрещенной зоны

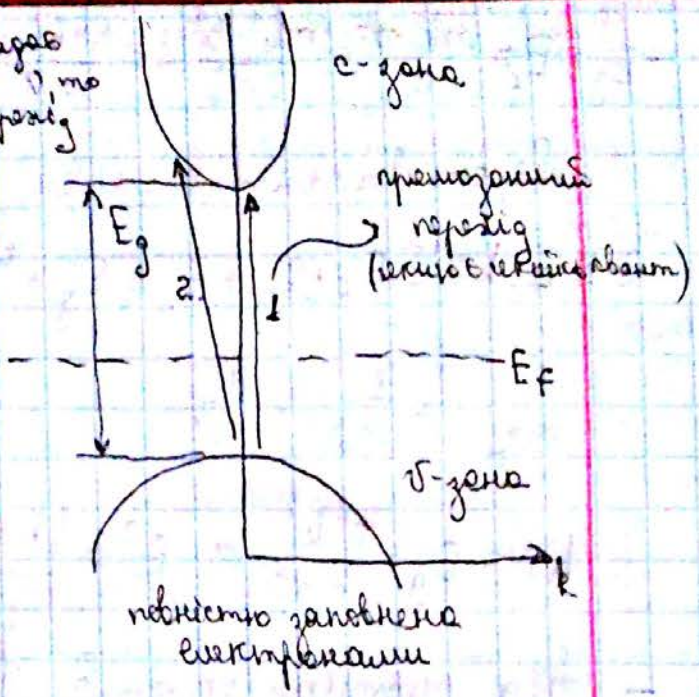
$L = \sum_i P_{if} N_i N_f$ - коэффициент пошманья

$L = \int_0^{\infty} P_{if} N(E) dE$

$P_{if} \neq P_{if}(E)$ - вероятность перехода

$\hbar\nu = E_f + |E_i| - 33\text{Э}$

также паров
 квант, то
 уже переход



у прямозонных n/p
 переходами типу 2.
 можно заметить, что электроны
 не могут удовлетворить 33Э та 33)

- $E_g + E_f = \frac{m_e^* \sigma^2}{2} = \frac{m_e^* \sigma^2}{2m_0^*} = \frac{\hbar^2 k^2}{2m_e^*}$; $E_i = \frac{m_h^* \sigma^2}{2} = \frac{\hbar^2 k^2}{2m_h^*}$ / для параболы зон

Согласовались в закон сохранения энергии

33 $E: h\nu = E_f + E_i = E_g + \frac{\hbar^2 k^2}{2} \left(\frac{1}{m_e^*} + \frac{1}{m_h^*} \right) = E_g + \frac{\hbar^2 k^2}{2m_r^*} \cdot g_e$

$\frac{1}{m_r^*} = \frac{1}{m_e^*} + \frac{1}{m_h^*}$

$h\nu = E_g + \frac{\hbar^2 k^2}{2m_r^*}$; $k^2 = \frac{(h\nu - E_g) 2m_r^*}{\hbar^2}$ - для прямого перехода

- для плотности состояний: Франк-Бретева с.167

$N(E)dE = \frac{2 \cdot 4\pi k^2 dk}{(2\pi)^3}$ - плотность состояний

$k = \frac{(h\nu - E_g)^{1/2} \sqrt{2m_r^*}}{\hbar}$; $dk = \frac{\sqrt{2m_r^*}}{\hbar} \cdot \frac{1}{2} (h\nu - E_g)^{-1/2} d(h\nu)$

$N(E)dE = \frac{2 \cdot 4\pi}{(2\pi)^3} \cdot \frac{(h\nu - E_g) 2m_r^*}{\hbar^2} \cdot \frac{1}{2} \cdot \frac{\sqrt{2m_r^*}}{\hbar} (h\nu - E_g)^{-1/2} d(h\nu)$

$N(E)dE = A (h\nu - E_g)^{1/2} d(h\nu)$, где

$A = \frac{(2m_r^*)^{3/2}}{(2\pi)^3 \hbar^3}$; $A = 2 \cdot 10^4 \frac{\text{см}^{-1}}{\text{эВ}^{1/2}}$

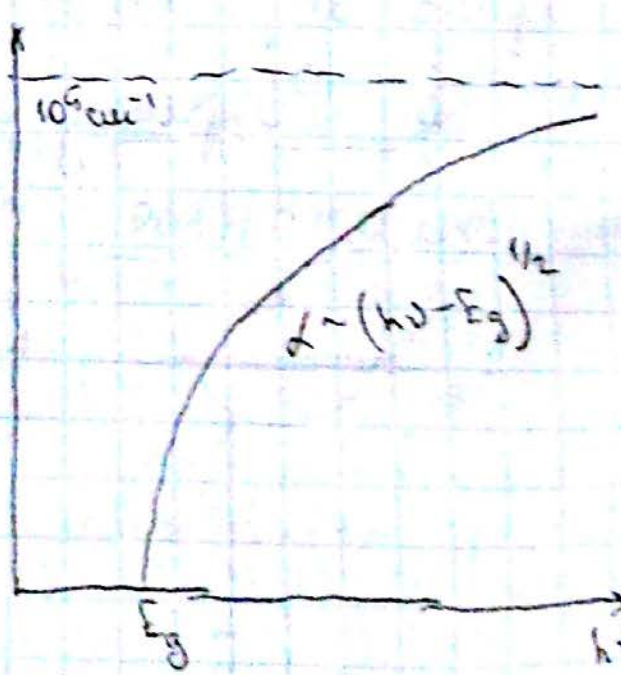
$d = 10^{-5} \text{ см} = 0,1 \text{ мкм}$

$l \text{ см} = 10^4 \text{ мкм}$

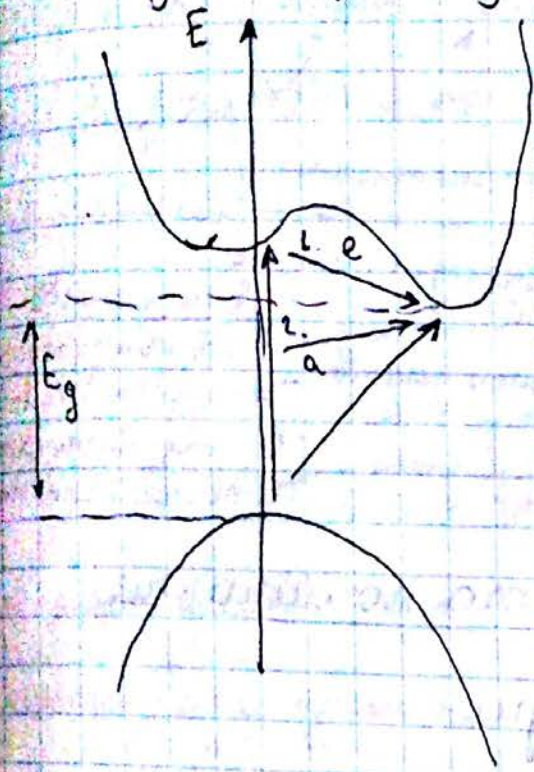
Длина, $\rho_{if} \sim k^2$

$I = A \cdot (h\nu - E_g)^{3/2}$ - прили заборокени переходу

Si_2O - ожен з першес n/p . / точки пубка добре пошмають



§5. Розрахунок коефіцієнта поглинання для непрямозонного n/n



$h\nu_e = E_f - E_i + E_{\text{phon}}$ - емісія

$h\nu_a = E_f - E_i - E_{\text{phon}}$ - абсорбція

$E_f = h\nu + E_i + E_{\text{phon}}$
випром. / поглин.

Формула Бозе-Ейнштейна

$$N_p = \frac{1}{e^{E_{\text{phon}}/kT} - 1}$$

або введемо формулу:

$$N(E_i) = \frac{(2m_h)^{3/2}}{2\pi^2\hbar^3} E_i^{1/2}$$

$$N(E_f) = \frac{(2m_e)^{3/2}}{2\pi^2\hbar^3} (E_f - E_g)^{1/2}$$

$N(E_f) = B (h\nu + E_i + E_{\text{phon}} - E_g)^{1/2}$, тоді:

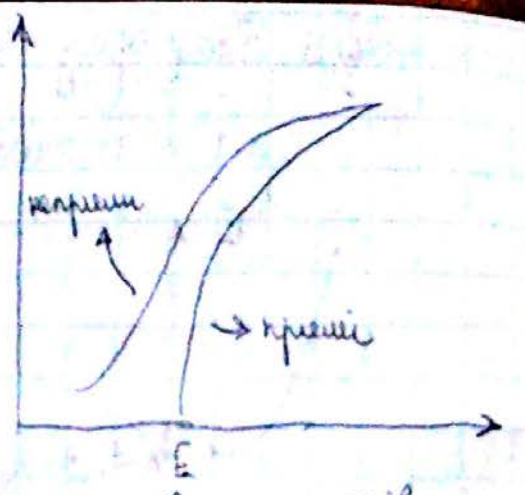
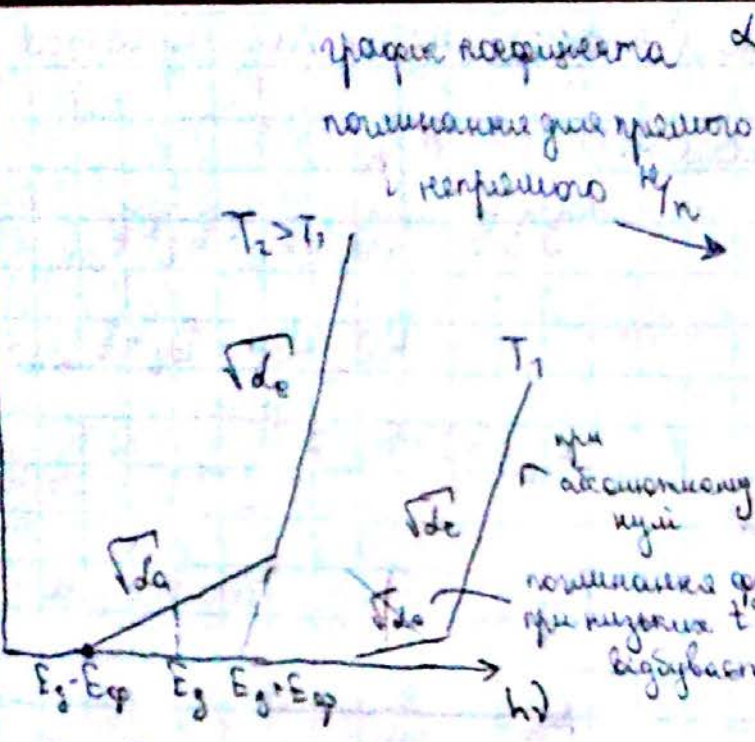
$$d = B f(N_{\text{ph}}) \int N(E_i) N(E_f) dE_i = B_1 f(N_{\text{ph}}) \int_0^{h\nu - E_g + E_{\text{ph}}} (E_i)^{1/2} (E_i + h\nu + E_{\text{ph}} - E_g)^{1/2} dE_i$$

$L_e(h\nu) = \frac{C (h\nu - E_g + E_{\text{ph}})^2}{e^{E_{\text{ph}}/kT} - 1}$ - випромінювання фотонів
 $L_a(h\nu) = \frac{C (h\nu - E_g - E_{\text{ph}})^2}{1 - e^{-E_{\text{ph}}/kT}}$ - поглинання фотонів

$L = L_a + L_e$ - представимо так.

Часто при $T \downarrow$, $E_g \uparrow$

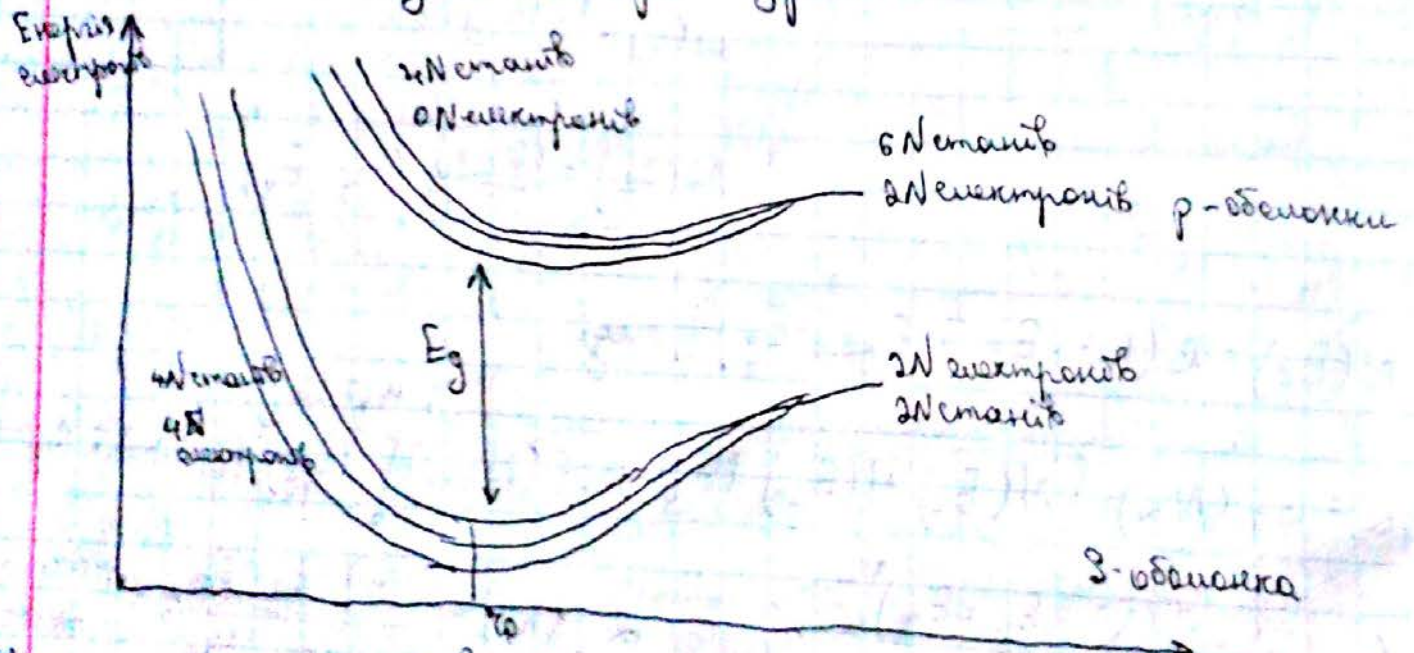
Величина перепада при малых участках может быть разной, если учитывать длину волны и частоту ν . Векторы E , H и \vec{D} лежат в одной плоскости LA и TA.



- Другие фоновые
- LA - поглощение акустичеки
 - TA - поглощение акустичеки
 - LO - поглощение оптичеки
 - TO - поглощение оптичеки

§ 6 Зміна фазо оптичного показання

від температури



зменшення ширини забороненої зони

$$E_g(T) = E_g(0) - \frac{\alpha T^2}{T + \beta}$$

при $T \gg \beta$, $E_g(T) = E_g(0) - \alpha T$ ($\alpha \sim 0,5 \frac{MeV}{K}$)

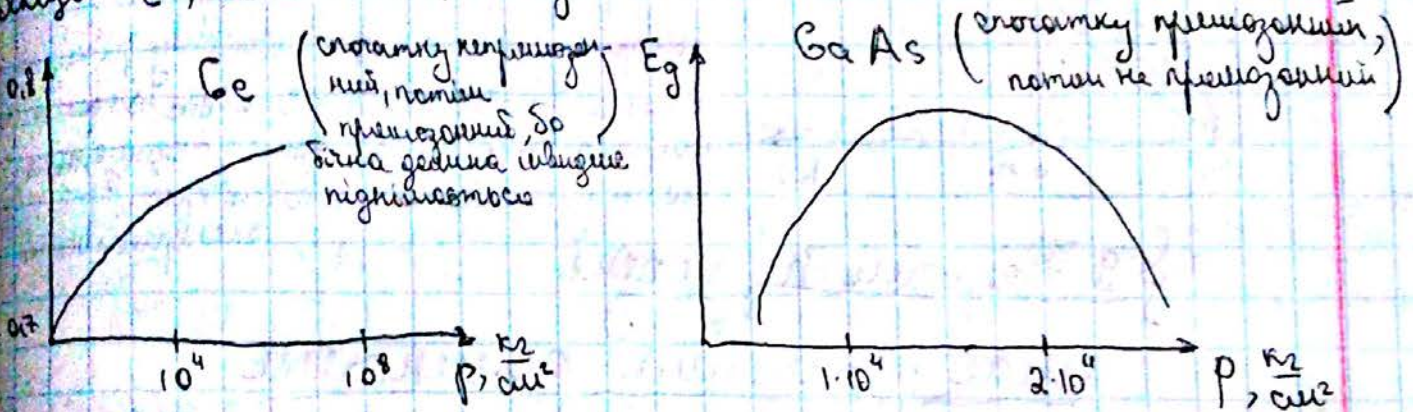
РБС: $E_g \uparrow$ при $T \uparrow$

§ 7. Вплив тиску на край пошканика

$$\Delta E_g = \Delta E_v + \Delta E_c = (E_c + E_v) \frac{\Delta a}{a}$$

зміна потиння пластини - тиск / розтягування

Якщо E_c і $E_v = \text{const}$, то для Ge і GaAs



Не зафіксувати перехід з прямозонного \rightarrow непрямозонний

1. ефект Зана зникає.

$$2. (h\nu - E_g)^{1/2} \rightarrow (h\nu - E_g \pm E_{\text{Ф}})^2$$

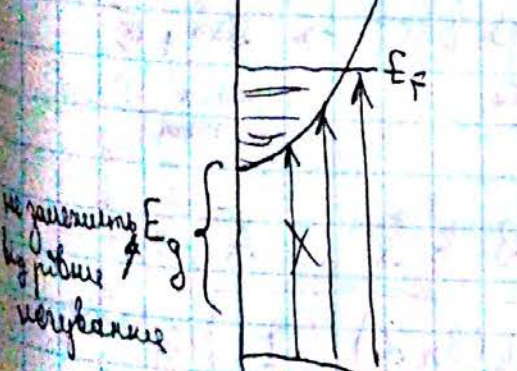
2. зникає фотопровідність

при тиску міжатомна відстань зменшується \rightarrow збільшується E_g (край валентного пошканика зміщується в сторону коротких довжин хвиль). Це для більшої частини з прямими зворотними зонами.

§ 8. Ефект Бурштейна-Мосса

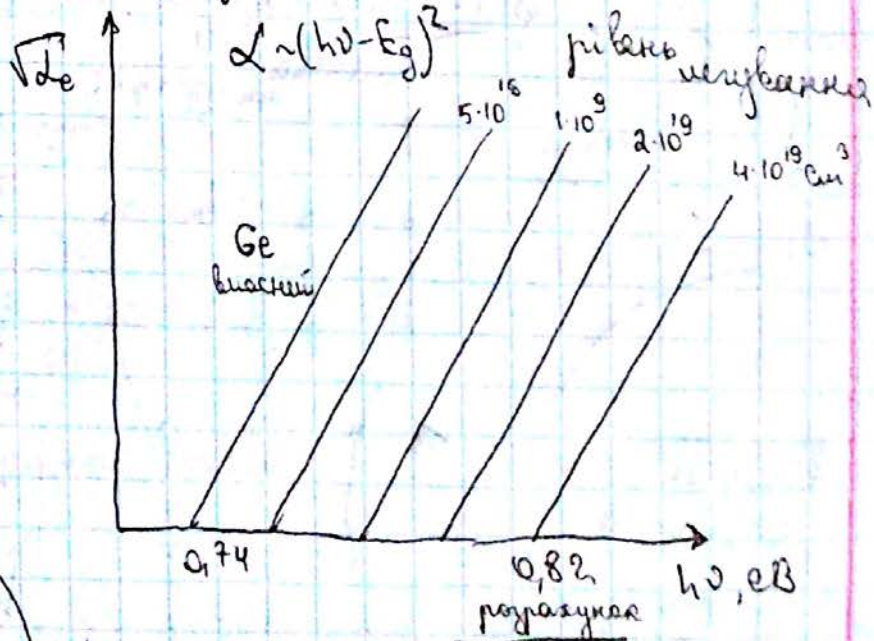
Вплив рівня напруження на край пошканика

Вплив рівня напруження на край пошканика



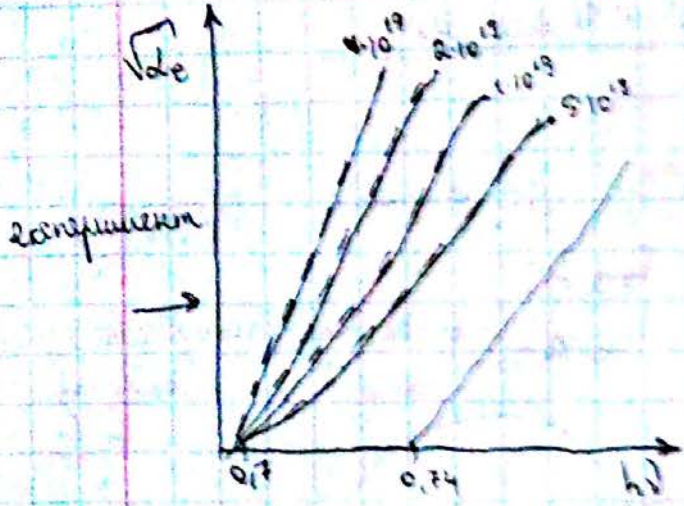
$$\alpha = AN(h\nu - E_g - E_n)^2$$

- коефіцієнт пошканика



$$I \sim A N_{\text{акт}} \exp(-h\nu - E_g \pm E_F)$$

Експоненціальна залежність від енергії фотона та енергії Фермі.
 Величина залежить від температури та концентрації носіїв заряду.
 Число носіїв заряду залежить від температури та концентрації носіїв заряду.



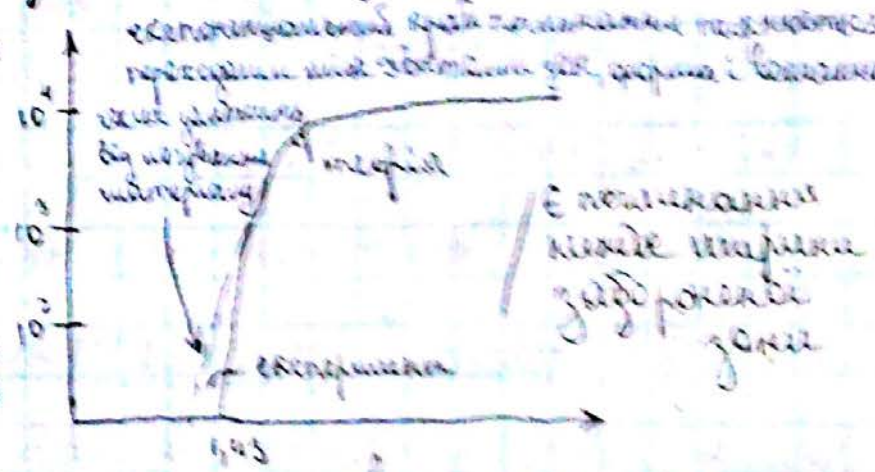
§ 9. Переходи між прямими зонами

між прямими зонами

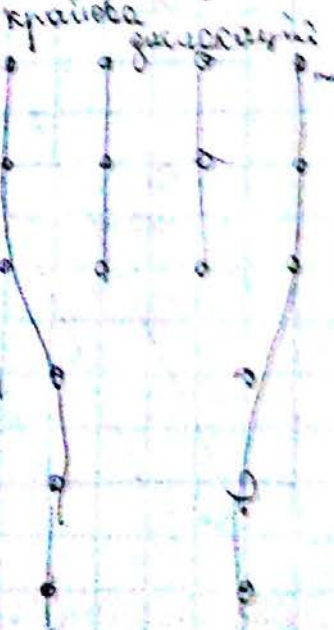
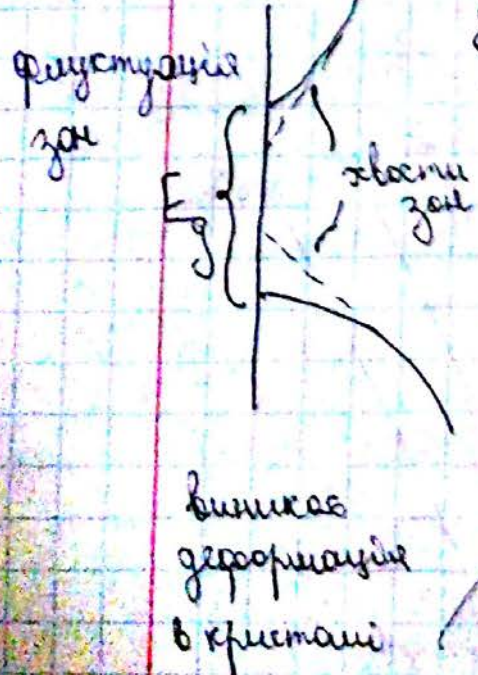
такі процеси 2-го порядку є менш ймовірними. Вони відбуваються в основному в області пошкодження (в області пошкодження). Зберігають кінетичну енергію пошкодження та випромінюють світло.



§ 9. Урідок випромінює при BaAs



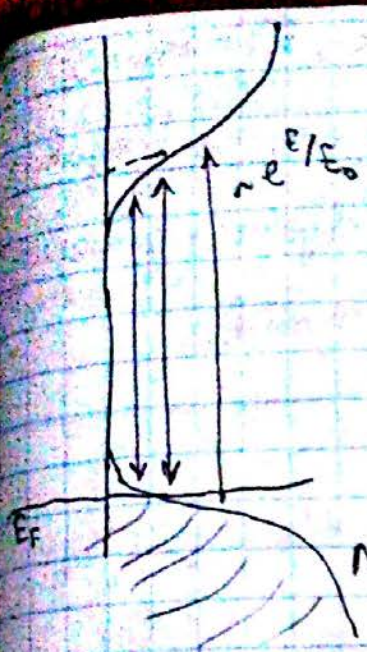
§ 10. Переходи між зворотними зонами



$$\frac{d(\ln I)}{d(h\nu)} \sim \frac{1}{kT}$$

$h\nu = E_g$

маємо урідок



погрешность $N_i \sim |E_i|^{1/2}$ / нормальное
 распределение $N_f \approx N_0 e^{E/E_0}$ / макс

Выясним, что происходит ре-
 ского не законным $E_i = E$.

$$\begin{aligned}
 \alpha(h\nu) &\sim \int N_i(E) N_f(E) dE = \\
 &= A \int_{E_{Fh}}^{h\nu - E_{Fh}} |E_0|^{1/2} e^{E/E_0} dE = A |E_0|^{1/2} \left| \frac{h\nu - E_{Fh}}{E_0} \right|^{1/2} e^{(h\nu - E_{Fh})/E_0} \\
 &\times e^{-\frac{h\nu + E_{Fh}}{E_0}} e^{h\nu/E_0} dE \quad \text{---}
 \end{aligned}$$

$$E_0 = E - h\nu ; x = \frac{h\nu - E}{E_0} //$$

Определим зависимость E : $dE = -E_0 dx$

$$\text{---} A e^{h\nu/E_0} E_0^{3/2} \int_{\frac{h\nu - E_{Fh}}{E_0}}^{\frac{E_{Fh}}{E_0}} x^{1/2} e^{-x} dx \quad \text{--- интеграл не берем / максимум}$$

$$E_{Fh} < E < h\nu - E_{Fh}$$

$$\frac{h\nu - E_{Fh}}{E_0} < x < \frac{E_{Fh}}{E_0}$$

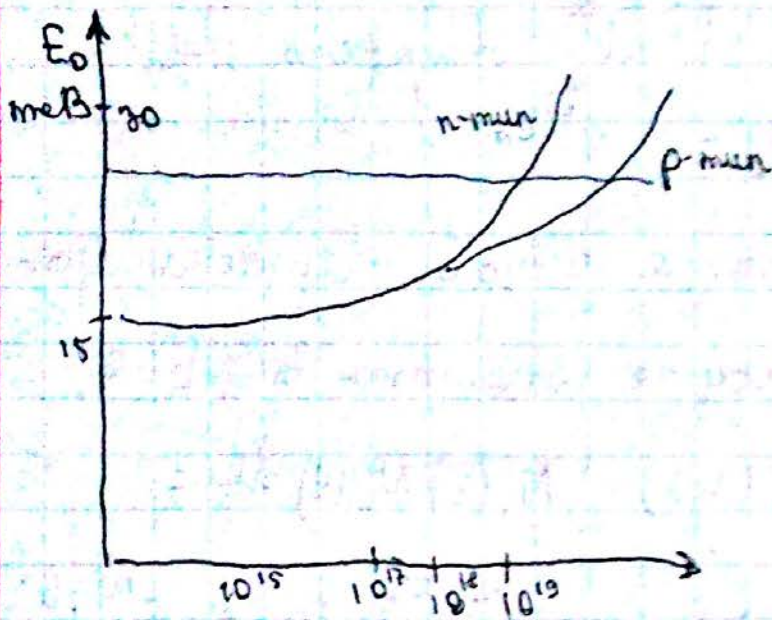
$$\int x^{1/2} e^{-x} dx = -x^{1/2} e^{-x} + \frac{1}{2} \int x^{-1/2} e^{-x} dx, \text{ тогда}$$

$$\alpha = -A e^{h\nu/E_0} E_0^{3/2} \left(\frac{E_{Fh}}{E_0} \right)^{1/2} e^{-\frac{E_{Fh}}{E_0}} \approx B e^{h\nu/E_0}$$

$$\ln \alpha = \ln B + h\nu/E_0 \quad \text{--- зависимость}$$

$$d(\ln \alpha) = \frac{1}{E_0} d(h\nu)$$

Определим зависимость $\frac{d(\ln \alpha)}{d(h\nu)} \sim \frac{1}{kT}$:



при $T=300K$, $kT=25meV$,

то μ будет малым значением.

E_0 - энергия зонной структуры при комнатной температуре.

§ 11. Экситоны

Экситон, взаимодействие e^- и h^+ . $r_{eh} \sim a$ - радиус экситона e и h^+ ; a - межатомное расстояние.

и экситон Франца

$r_{eh} \gg a$ - экситон Франца-Уорна

$E \sim 13,5eV$ - энергия ионизации

экситона

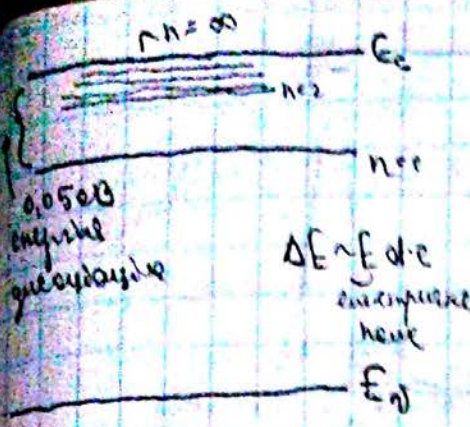
$$E_{ex} = \frac{m_r^* e^4}{2h^2 \epsilon^2} \cdot \frac{1}{n^2}$$

для Si $\epsilon \sim 11$; $\frac{1}{m_r^*} = \frac{1}{m_e^*} + \frac{1}{m_h^*}$ масса $H = m_r^* \approx m_e$

В амальма барьер $\frac{1}{m_r^*} = \frac{1}{m_e} + \frac{1}{m_{до}}$ $m_r^* = m_e \cdot \frac{1}{2}$
где $m_{до}$ - масса дырки, $m_{до} > m_e$

$E_{ex} = \frac{R_{изд}}{100} \sim 0,05 eV$ - энергия ионизации экситона? \downarrow μ мал

$n = \infty$



високий рівень енергії - тіло зменшується

(відбувається при $n \rightarrow \infty$)

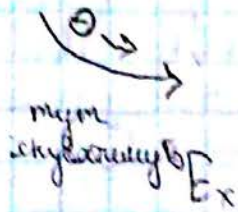
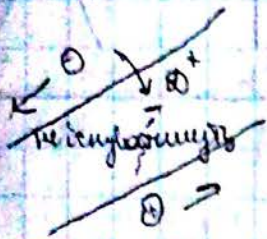
$\Delta E \sim E \cdot d \cdot e$
дисперсія
хвилі

$$E = \frac{mv^2}{2} = \frac{m^2 v^2}{2m} = \frac{p^2}{2m} = \frac{\hbar^2 k^2}{2m}$$

$$\frac{dE}{dk} = \frac{\hbar^2 k}{m} = \hbar v, \text{ де } mv = \hbar k$$

Видувати рухатись швидше, якщо $v_e = v_h$, тоді:

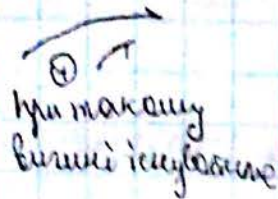
$$v_e = \left| \frac{dE_c}{dk} \right| \cdot \frac{1}{\hbar}; \quad v_h = \left| \frac{dE_0}{dk} \right| \cdot \frac{1}{\hbar}$$



Умови існування електонів:

1. $E_{ex} > kT$ (енергія дисперсії $> kT$)
2. Нелінійний матеріал (σ^+ розширюється) $e^- i \hbar^+$
3. Ефект Штарка.

при нахилі напруженості твердого тіла. Між розривом



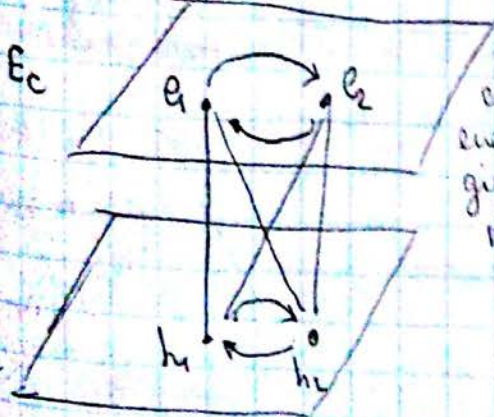
E рівні енергії з'являються $\Delta E \sim E_x \cdot d$

4. ефект Зеемана (розщеплення рівнів в магнітному полі) $\Delta E \sim E_x$

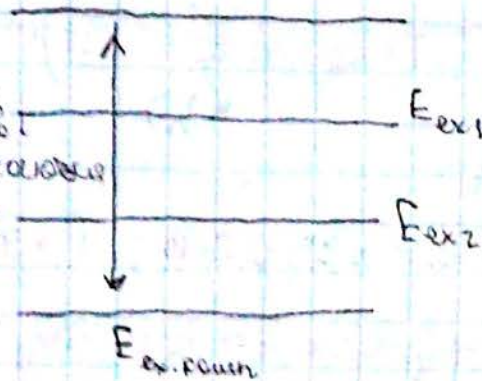
5. Ефект іонізації

§12. Електронні параметри

Висині енергії



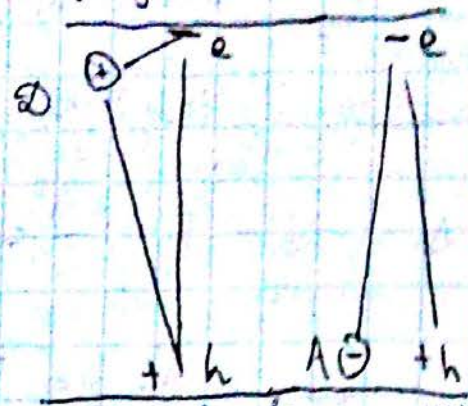
система електронів дуже рухається по колу



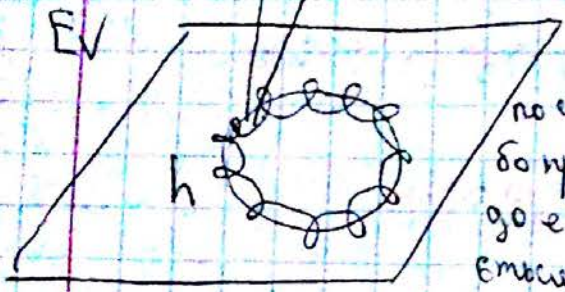
зв'язаний екситон



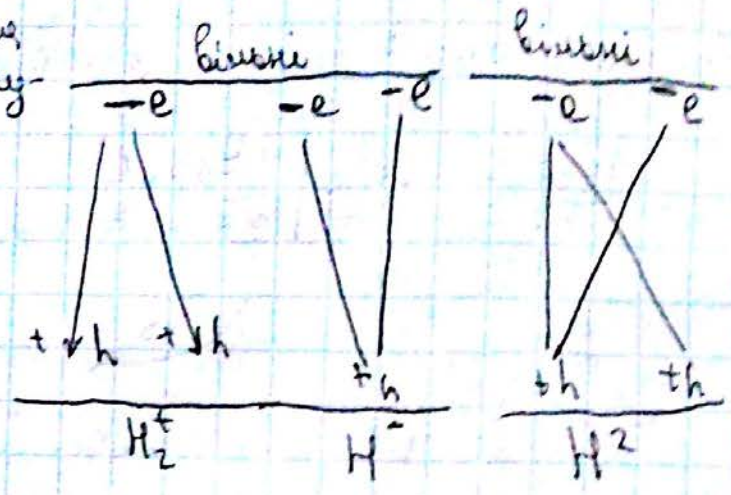
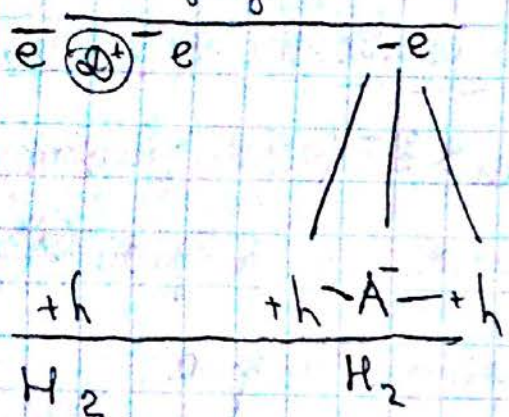
зв'язані



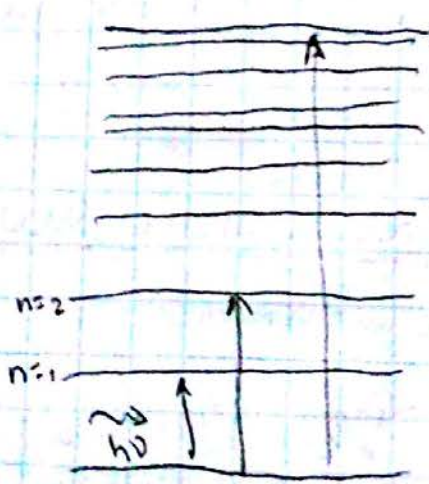
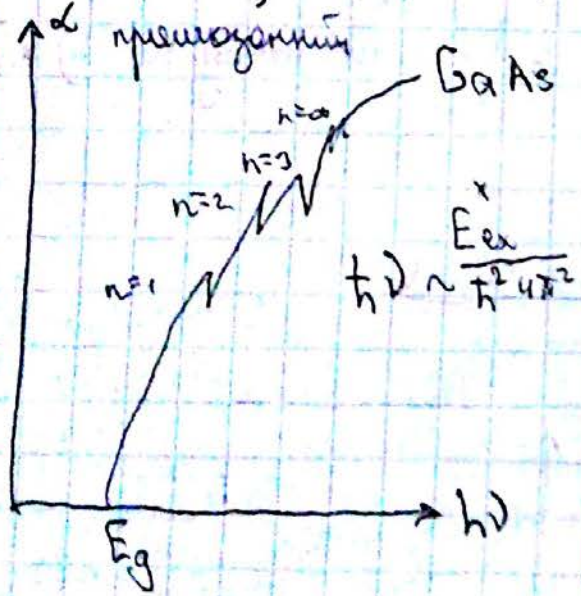
по ширині руху, до прикладу, го е і бігує по стіні big R³



зв'язані



§ 1.3. Екситонне пошукання



у к_у з прямими перепадами вільних екситон улагоджено в результаті перепаду енергії h nu = E_g - E_{ex}. при k=0 виникає рухливість, який уможливає підвищення t°.

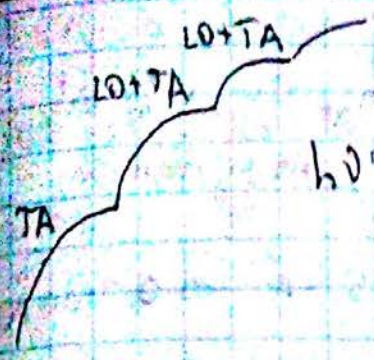
Для біолокс E ~ 0,05 ; T ~ 77K
зв'язані E ~ 0,1 еВ;
n-години квантового чисел

прямозонні n/n

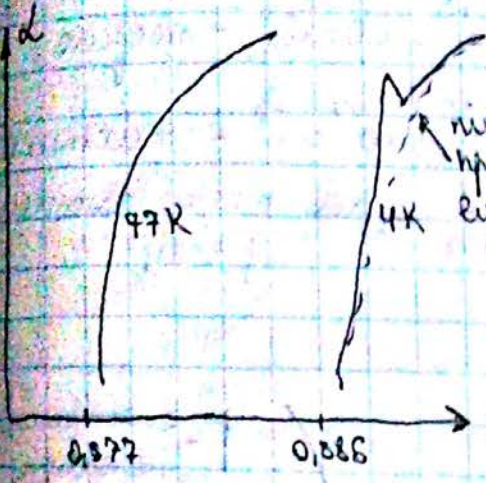
Змінюємо температуру або прикладаємо електричного поля

$$h\nu = E_g - \frac{E_{ex}}{h^2} + E_{зон}$$

переміщення без поля

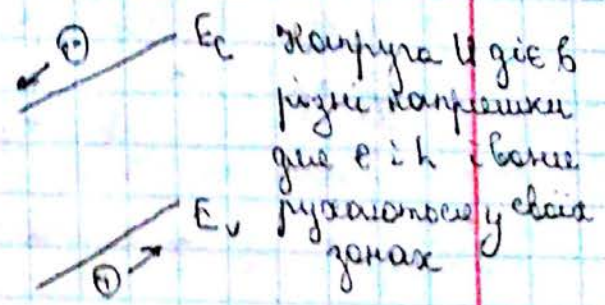


Якщо змінюємо T або прикладаємо \mathcal{E} поле:



Be Плотність 100 1/см

не зникає при відсутності електричного поля



Уявіть собі, ми знаємо, що це окрема енергетична система ("шматок" матеріалу)

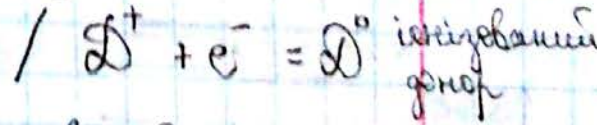
§ 14. Донорні і акцепторні центри

поширення світла, що призводить до іонізації донорів.

при високій температурі атоми в к/п мають 4 валентки.

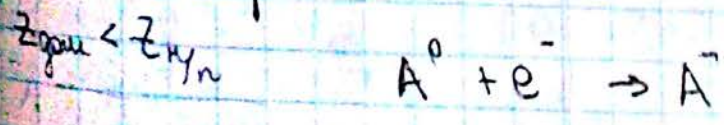
1) Донор - $N_{дон} > N_{акцепт}$, в таблиці Менделєєва:

P в Si Si в GaAs



2) акцептор B в Si

Si в GaAs



3) Шляховий атом D. (можливо тільки на самій поверхні) (без себе як 2⁺)

4) Парація. (без себе як акцептор)

$$\epsilon = \frac{m^* e^4}{2h^2 \epsilon^2 n^2} \approx \frac{m^*}{m \epsilon^2 n^2} \times 13,6 \text{ eV}$$

станція Р. гієра

Якщо маємо електрон: $\frac{1}{m^*} = \frac{1}{m_e} + \frac{1}{m_h}$, а отже

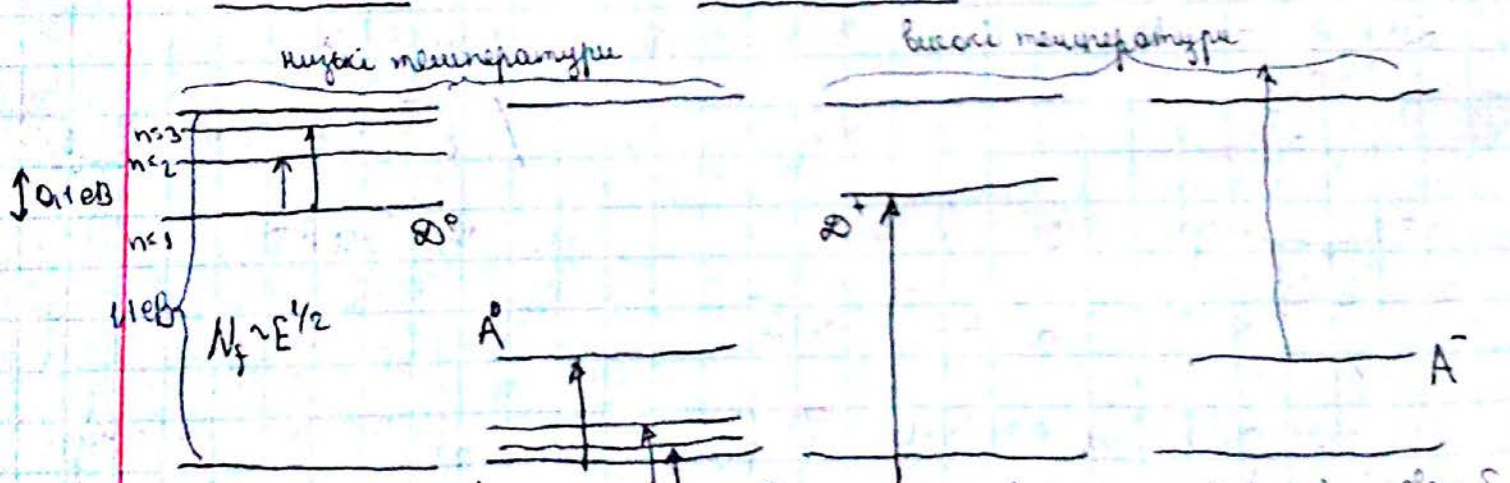
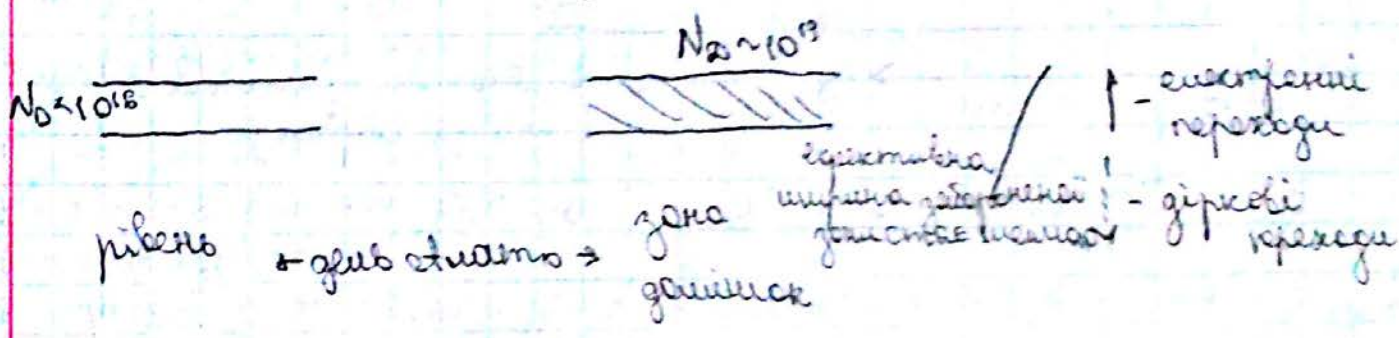
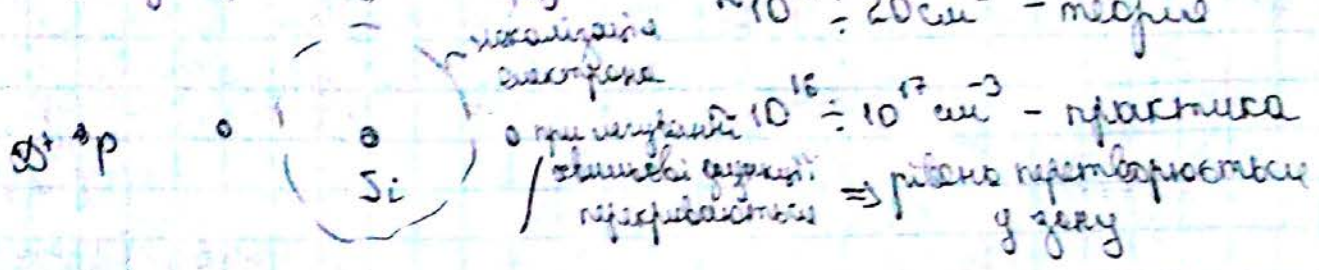
$m_e^* \approx m_e$, $m_h^* \approx 2m_e$

2) $\frac{1}{m_r^*} = \frac{1}{m_e^*} + \frac{1}{m_h^*} \Rightarrow m_r^* \approx m_e^*$ / m_e^* без n^* , h^* \Rightarrow не ругается

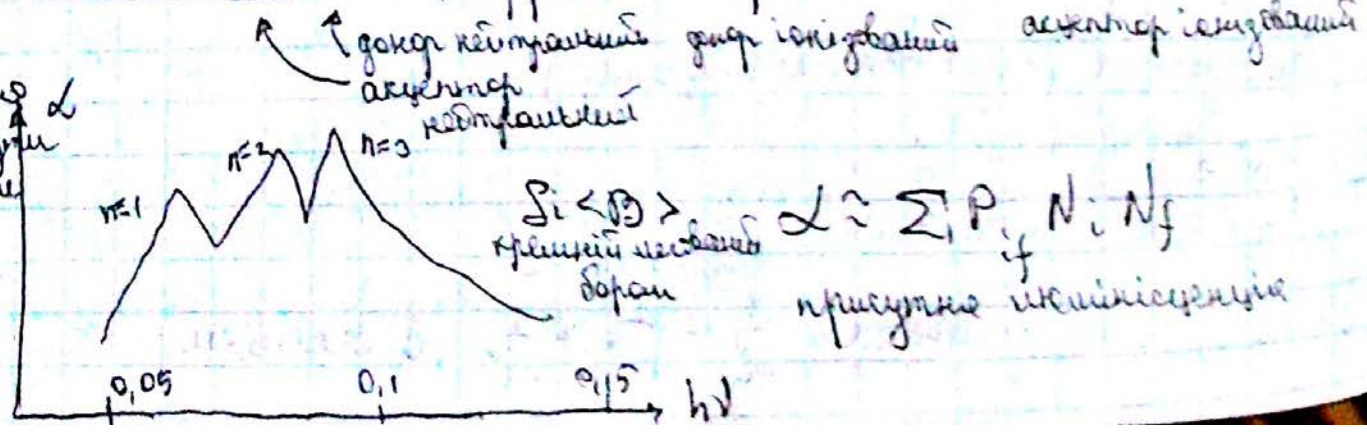
радиус Бора

$a = \frac{\hbar^2}{e^2 m^*} = \frac{E}{n_0^2 / m}$ $a_0 = 5,4 \text{ \AA} \Rightarrow a \sim 100 \text{ \AA}$

Экситоны ширине, или гравитации, и температура - при этой экситоны или гравитации, или гравитации $\sim 10^{13} : 20 \text{ см}^{-3}$ - теория



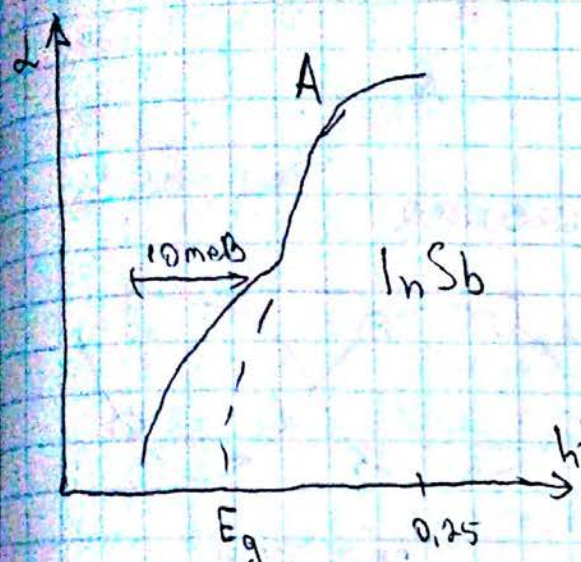
теоретическое α мало бы были гравитации



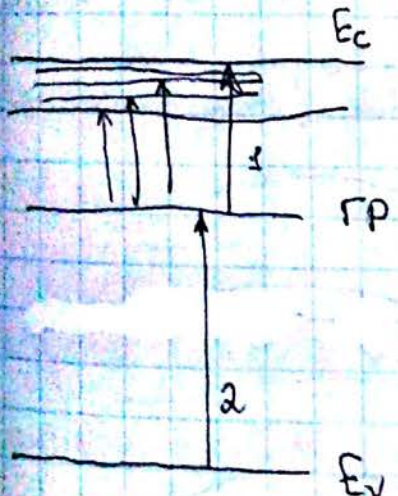
$a_0 = 5,4 \text{ \AA}$, а дієвий радіус $a \approx 100 \text{ \AA}$. Задаємо співвідношення квантованості:

$\rho a = \hbar \Rightarrow \hbar \approx k a_0 = \hbar \Rightarrow \Delta k \sim \frac{1}{a_0}$ бо зона Бріллюєна симетрична

екситони і домішки разом ніколи не існують.
(при сильному нагріванні екситони не утворюються)
З'являються екситони існують при низькому рівні нагрівання.



§15 Шотткіант на півпровіднику



Вважається, що це шотткіант $\delta(d-d_0)$ воднеподібна модель не працює, тому беремо теорію Шотткіанта:

$\alpha(h\nu) \sim \left(\frac{h\nu}{E_t} - 1\right)^{3/2} \left(\frac{h\nu}{E_t}\right)^{-3}$
енергія потягу

переходи на поверхні із зони $\delta(d-d_0)$ -шотткіант потенціальною поверхнею

FP - C-зона (1,2 змінює провідність)

§16 Шотткіант в діелектрику



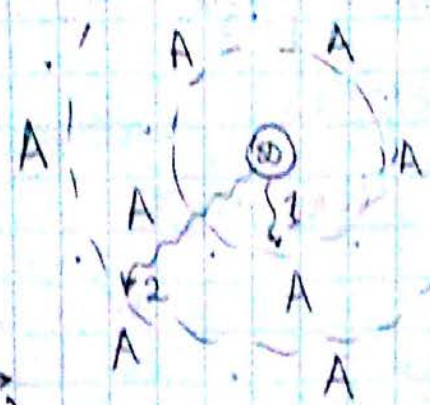
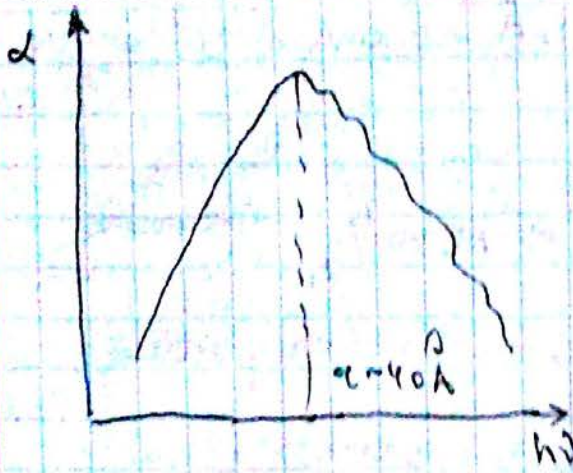
$\chi = \frac{N_0}{N_A} = 1 ; \epsilon > 1$
переконцентрація

$\epsilon < 1$
нескомпенсація

$\Delta E = \frac{e^2}{\epsilon r}$
куліна енергія

$h\nu_{пов} = E_g - E_0 - E_A + \frac{e^2}{\epsilon r}$
може і компенсуватися

потенціальний бар'єр і перехід з руху по кристалу до поверхні

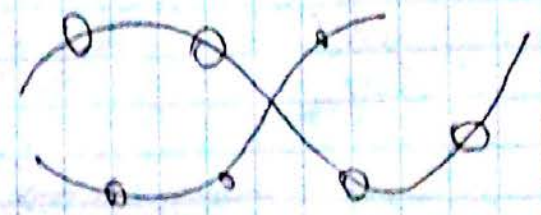


1. - увеличение
мгновенной
силы на $\sqrt{2}$,
соответственно
меньше

§ 17. Полюсное нормирование



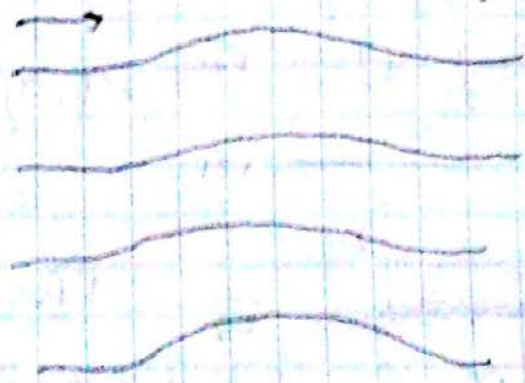
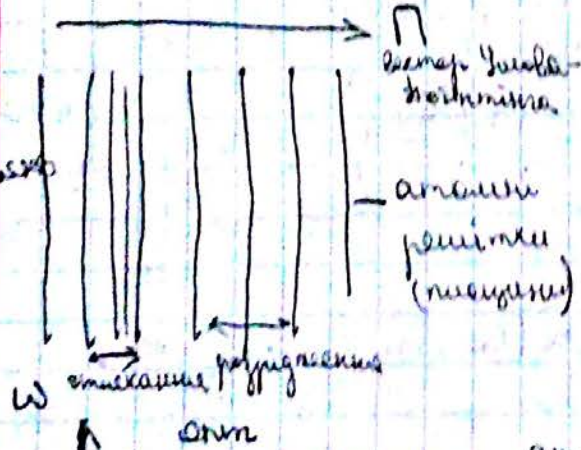
$\omega \sim 1/4 \omega_0 \delta \alpha R$
 $\nu_{\text{эф}} \sim \nu_{\text{эф}0}$



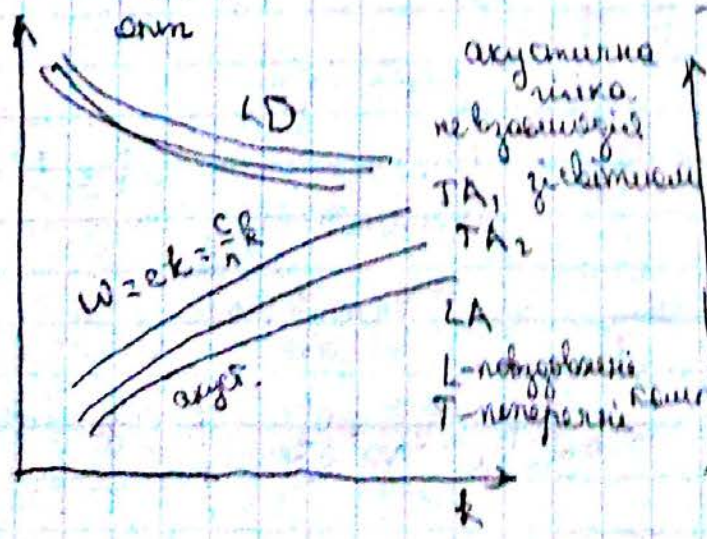
$\omega_{\text{опт}} = \omega_0 \left(1 - \frac{\delta^2 a^2}{32} b^2 \right)$

$\nu_{\text{эф}} = 0 : \nu_{\text{эф}} = \infty$
k-континуума пружинности

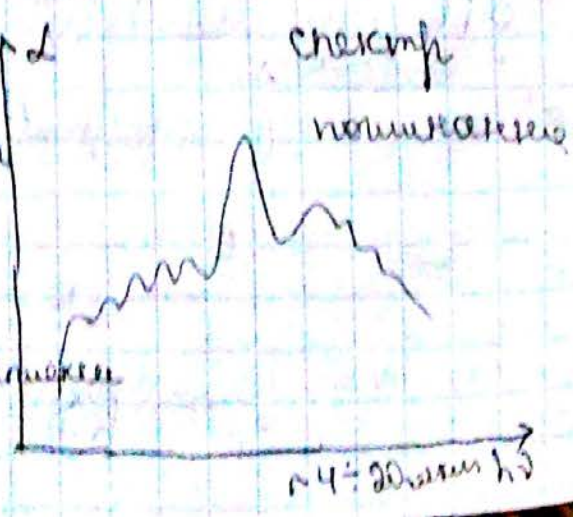
необязательно
(L)



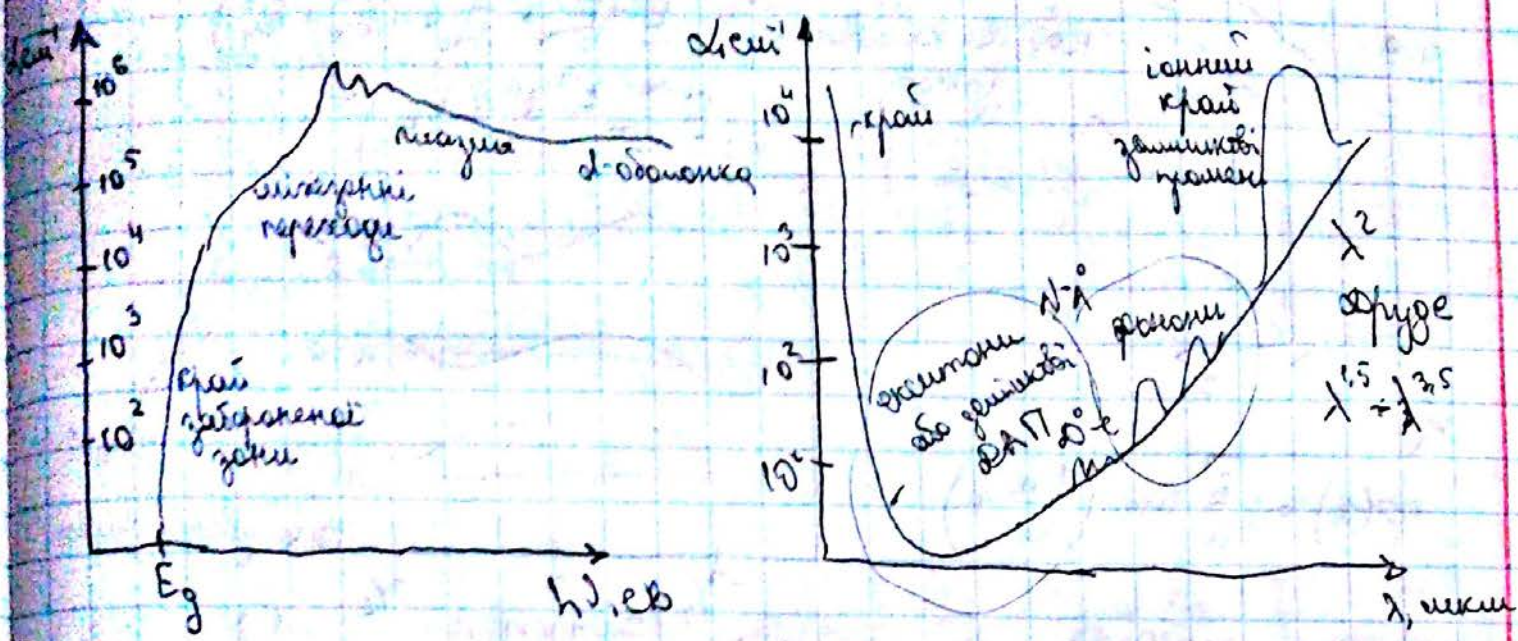
1. граница
2. нормирование
 $\delta/3 \text{ § 19}$
вынужденного
резоанса



акустическая
медленная
волна
TA, TAz
LA
L-необязательно
T-необязательно



§ 18. Заработки спектральные помехоустойчивости



§ 20. Оптические помехоустойчивости


в микрофотонных КФ

$$\left[\frac{\hbar^2}{2m_0} \nabla^2 + U(r) \right] \psi(r) = E \psi(r) - \text{уравнение Шредингера}$$

Ищем граничные условия, зададим:

$$\psi(r) = u(r) e^{i\vec{k}\vec{r}}$$

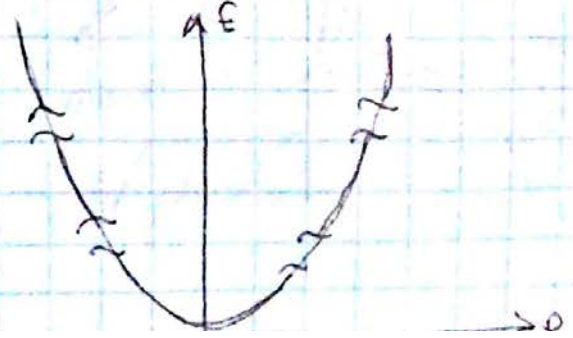
решение уравнения Шредингера

Используем граничные условия, зададим:  $i \cdot a \cdot \lambda$, где λ — длина волны.

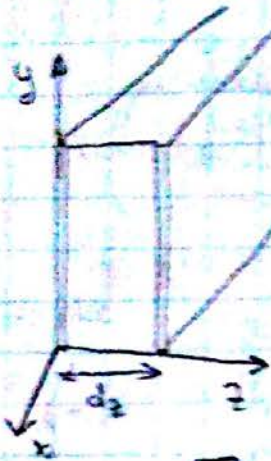
возможностей: $p \cdot x = \frac{1}{2} 2\pi$

При тепловом движении $v = 10^7 \text{ см/с}$, $m^* = 0,2 m_0 \Rightarrow \lambda = 3 \text{ нм}$

1) минимальный размер
энергия будет заметна без учета
размера



1) Квадратна яма

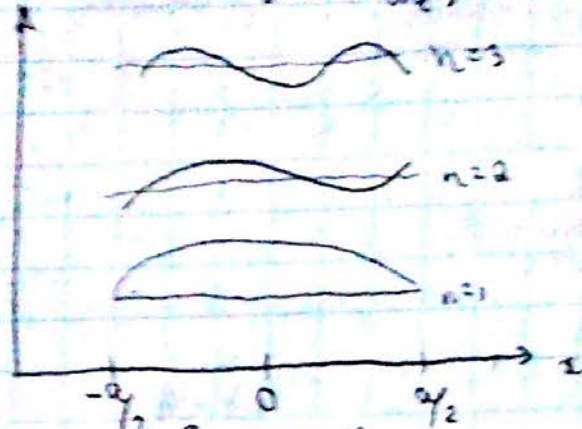


$$\psi(x) = \sqrt{\frac{2}{a}} \sin\left(\frac{k_n}{a} x\right)$$

Квантовані енергії

$$E = E_n + \frac{\hbar^2 k^2}{2m} = \left(k_x^2 + k_y^2\right)$$

$$E_n = \frac{\hbar^2 k_n^2}{2m} = \left(\frac{\hbar^2}{2m}\right) \left(\frac{n\pi}{a}\right)^2$$



Визначимо $a = 10 \text{ нм}$, моги при $n=1$

$$E = 35 \text{ мевБ}$$

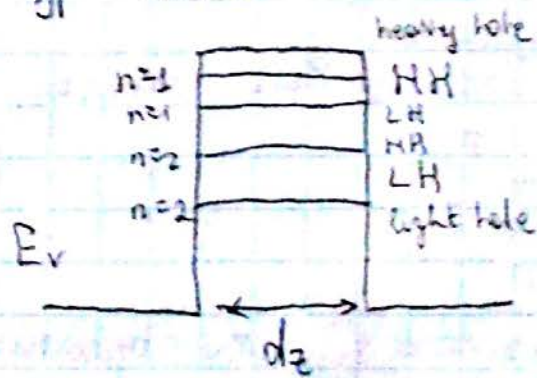
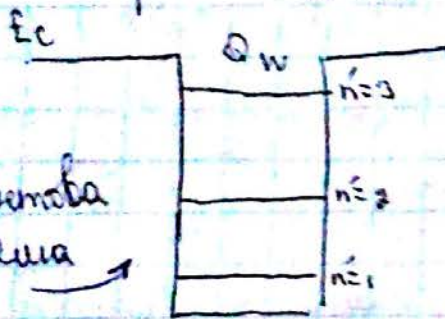
$$n=2 \quad E = 151 \text{ мевБ}$$

$$n=3 \quad E = 339 \text{ мевБ}$$

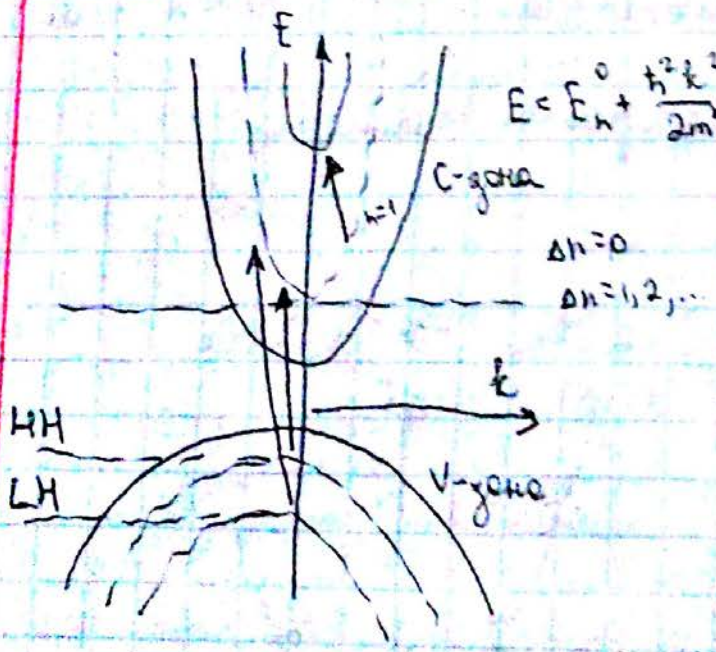
$$m^* = 0,1 m_0$$

kT при кімнатній температурі 25 мевБ

рванта яма



Шейер

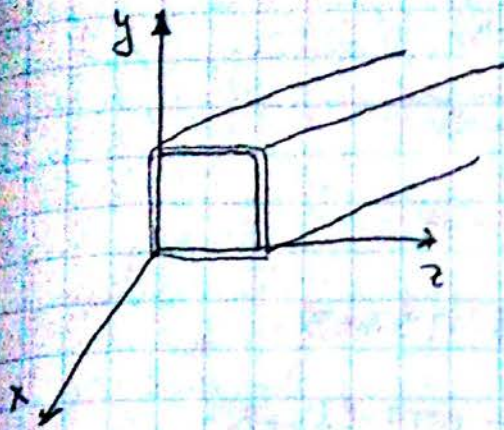


$$E = E_n^0 + \frac{\hbar^2 k^2}{2m}$$

$$\Delta n = 0, \Delta n = 1, 2, \dots$$

можна, якщо беремо менші розміри
 у зразка, то відбудеться роз-
 чинення рівнів і з'являться,
 і більший чим більша d_z .
 Беремо менші розміри

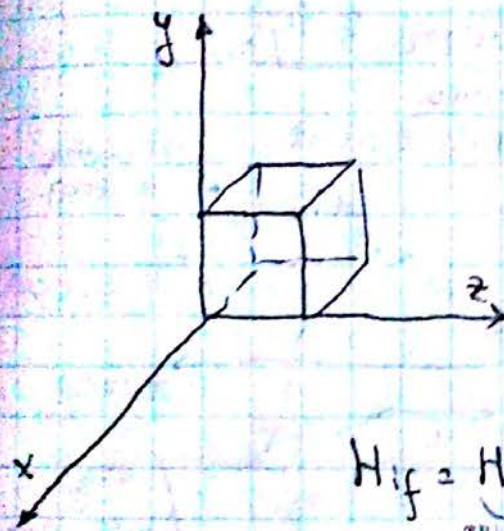
Квантовый грин



$$E = E_{n_z}^{\infty} + E_{n_y}^{\infty} + \frac{\hbar^2 k_x^2}{2m^*} =$$

$$= \left(\frac{\hbar^2 g^2}{2m^*} \right) \left(\frac{n_z^2}{a_z^2} + \frac{n_y^2}{a_y^2} \right)$$

Квантовые точки:



$$E = \frac{\hbar^2 g^2}{2m^*} \left[\frac{n_x^2}{a_x^2} + \frac{n_y^2}{a_y^2} + \frac{n_z^2}{a_z^2} \right]$$

$$W_{if} = \frac{eS}{h} |H_{if}|^2 g(E_f)$$

↑ W_{if} — коэффициент передачи энергии
↑ S — площадь сечения
↑ H_{if} — матричный элемент
↑ $g(E_f)$ — плотность состояний

$$H_{if} \propto \int \Psi_f(\vec{r}) \Psi_i(\vec{r}) d\vec{r}$$

Узнавая
 статистический
 и кинетический
 спектры материала

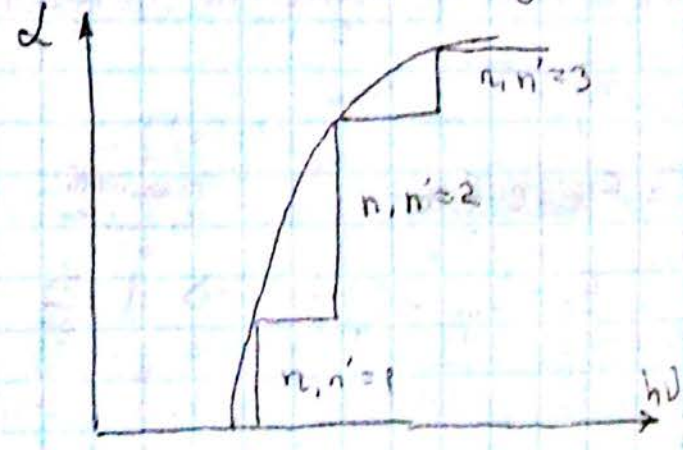
$$H_{if} = H_{ei} + H_{nn'} \quad \text{где } n, n'$$

H_{ei} — матричный элемент взаимодействия электрона с ионами
 $H_{nn'}$ — матричный элемент взаимодействия электронов

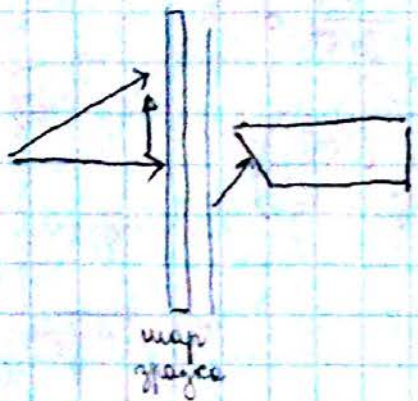
Переходы $C \rightleftharpoons V$ возможны только тогда когда n не равно n'

$$h\nu = E_g + E_{n_x} + E_{n_y}$$

$$h\nu = E_g + \frac{\hbar^2 n_x^2}{2m_x^* a_x^2} + \frac{\hbar^2 n_y^2}{2m_y^* a_y^2}$$



2) міжпідзонні переходи



$$n=1 \quad E = 38 \text{ meV}$$

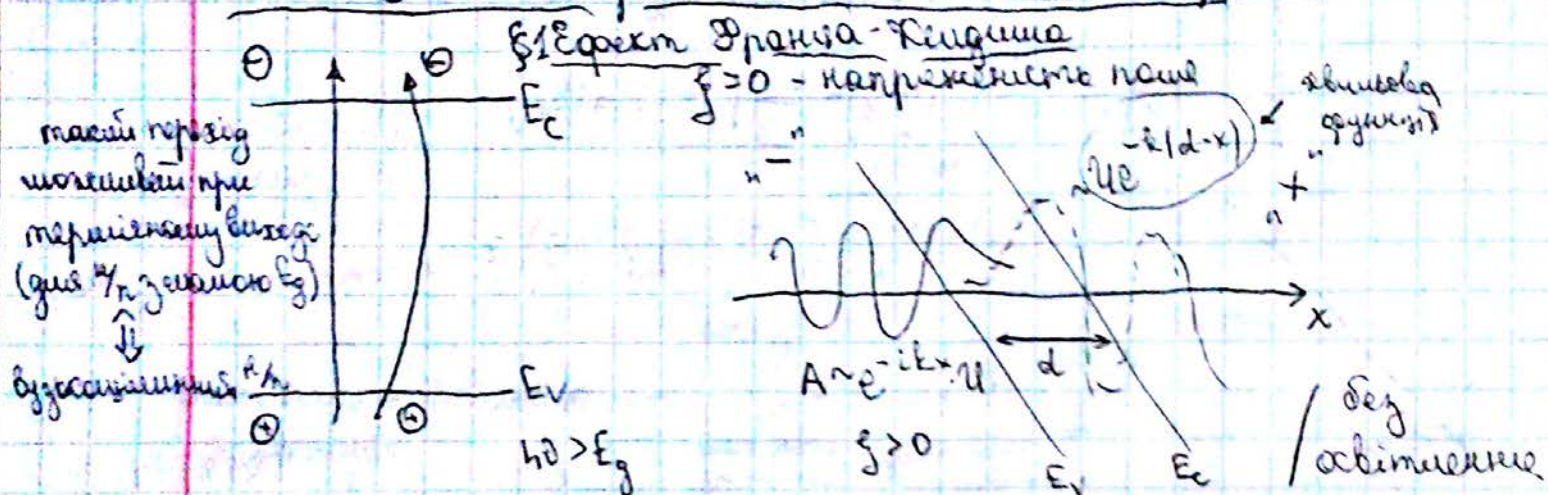
$$n=2 \quad E = 151 \text{ meV}$$

$$n=3 \quad E = 339 \text{ meV}$$

$$1. n_1 - n_2 = 151 - 38 = 113 \text{ meV}$$

$$2. n_2 - n_3 = 339 - 151 = 188 \text{ meV}$$

Дл. 3. Електрооптичні явища в n/n



В деякій час електрон може знаходитись одночасно у валентній зоні і зоні провідності. (це при накладанні напруженості збірки).

$$A = Fx = e f x$$

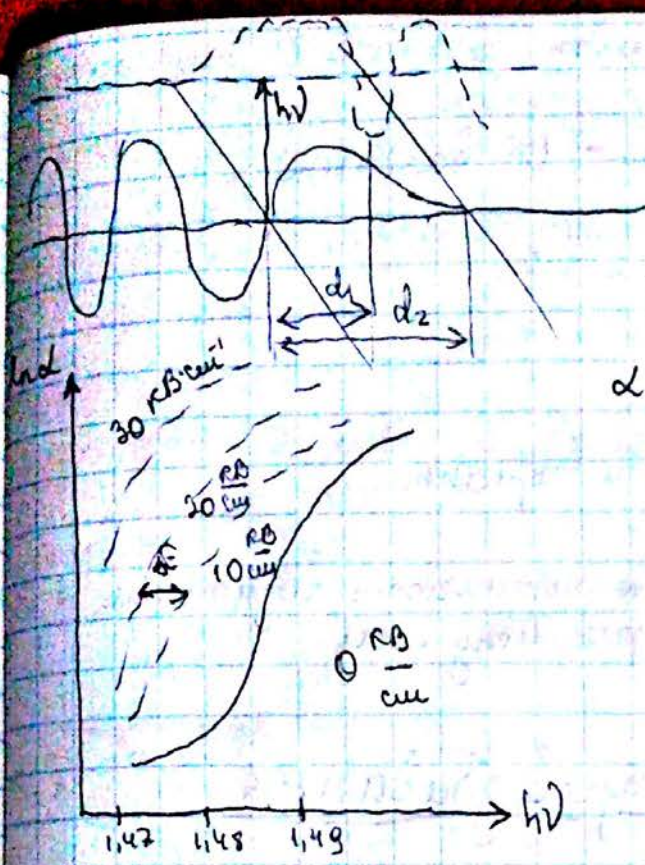
зЗЕ: $E_c = E_g - e f x \Rightarrow d = \frac{E_g}{e f}$

бар'єрний потенціал
 бар'єр, який електрон може пройти

фактично ми маємо потенціальний бар'єр, який електрон може пройти

Е процес рекомбінації при прикладанні поля і світлення.

При $f = 0$ $h\nu < E_g$ - переход не відбудеться

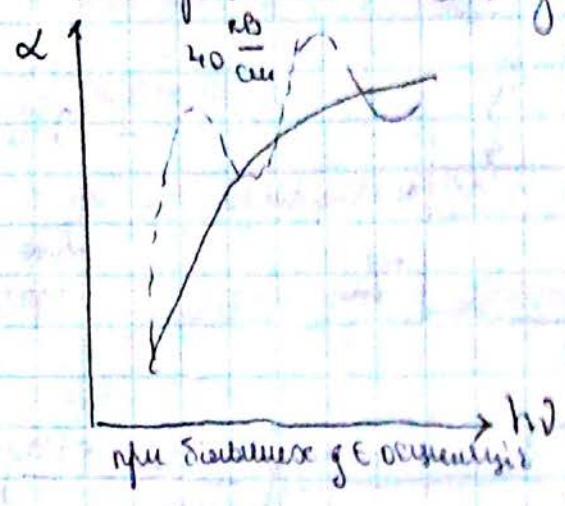


$$h\nu = E_g - e\mathcal{E}d_1$$

$$d_1 = \frac{E_g - h\nu}{e\mathcal{E}}$$

объемная
энергия электрического
поля

Экспериментальные данные



Задача: определить зорб ΔE , если \mathcal{E} увеличивается, а длина волны уменьшается

но зорб $\Delta E = e\mathcal{E} \Delta x = e\mathcal{E} \frac{h}{\Delta p}$. З другого боку, (1)

зростає енергія, яку отримують електрони у зоні провідності

$E = \frac{mv^2}{2} = \frac{p^2}{2m}$ - для вільного електрона $\Rightarrow \Delta E = \frac{(\Delta p)^2}{2m}$ (2)

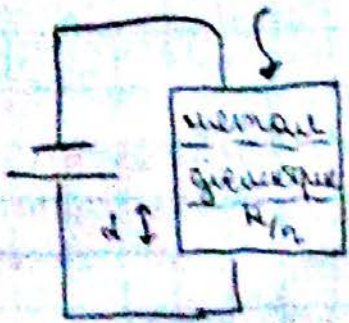
$f = \frac{e\mathcal{E} h \Delta m^2}{(\Delta p)^3}$ - поділимо (1) на (2) $\Rightarrow (\Delta p)^2 = (e\mathcal{E} h \Delta m^2)^{2/3}$

підставляємо в (2), маємо: $\Delta E = \frac{(e^2 \mathcal{E}^2 h^2)^{2/3}}{(2m^2)^{1/3}}$

визначити вираз складімо.

або визначити ΔE , можна: - визначити $\alpha(h\nu) |_{\mathcal{E} = \text{const}}$
- визначити $\alpha(\mathcal{E}) |_{h\nu = \text{const}}$

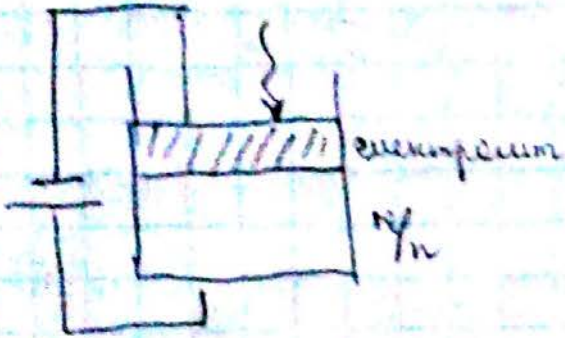
Для вільного електрона така структура:



$$V = V_1 + V_2$$

$$g = \frac{V_2}{d}$$

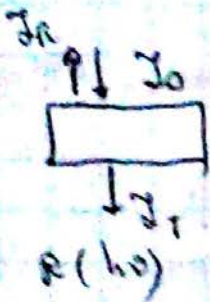
- 1-й вариант



- 2-й вариант

даже толщина диэлектрика
электрической толщины

§2. Элементы электродвижения



$$J_0 = J_T + J_R + J_A$$

ток тока, ток сопротивления, ток индукции

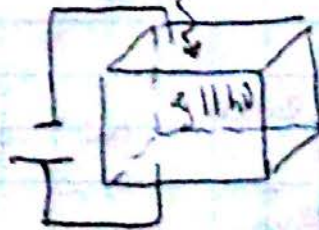
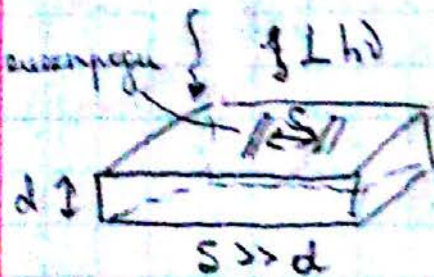
$$R = \frac{(n-1) + k^2}{(n+1)^2 + k^2}, \quad k = \frac{c d}{4\pi \nu}$$

$$R = \left[\frac{(n-1)}{(n+1)} \right]^2 - \text{при } k^2 = 0$$

R - коэффициент
взадействия

Точнее написать $R(g) |_{h_0 = \text{const}}$

$R(h_0) |_{g = \text{const}}$



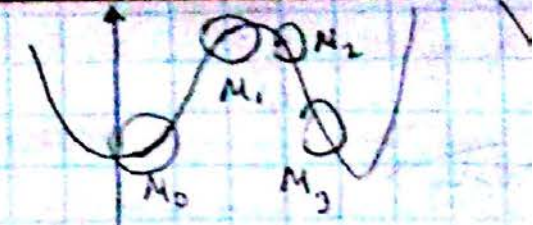
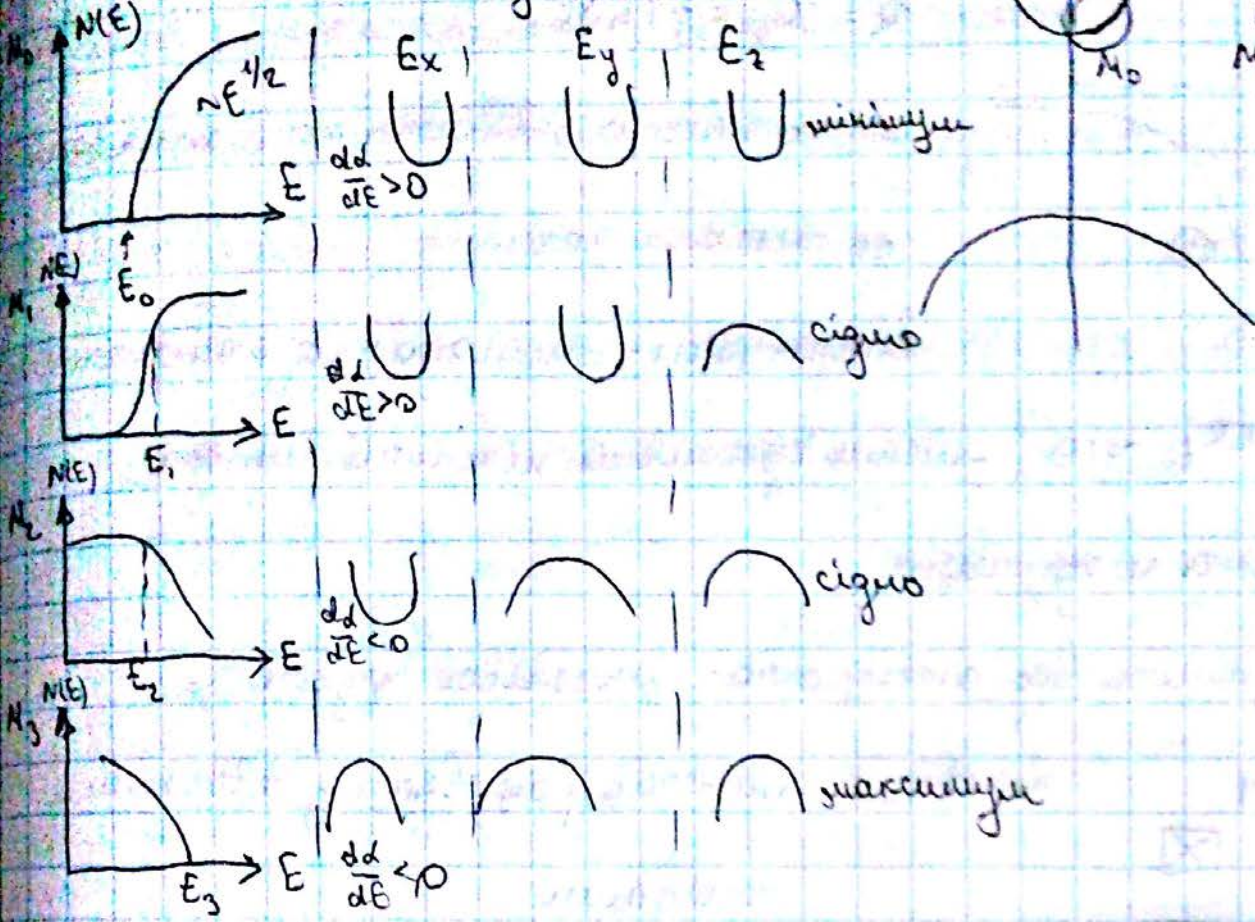
$$\frac{\Delta R}{R} \sim 10^{-6}$$

$$h(E) - 1 \sim \frac{ch}{2d^2} \int_0^\infty \ln \frac{1}{(E')^2 - E^2} \cdot \frac{d\alpha(E)}{dE'} dE' - \text{формула Фрамерса-Фракиера}$$

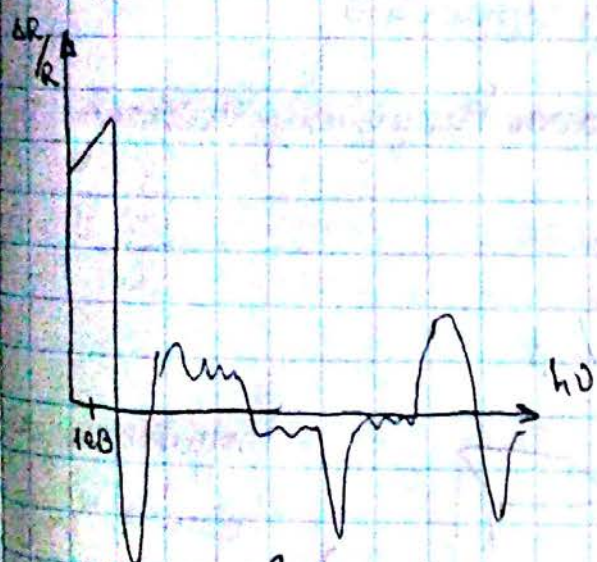
$$h(E) = f\left(\frac{d\alpha}{dE}\right); \quad \frac{d, E(k)}{dE} = \frac{dE(k)}{dE} = 0$$

электрическая проводимость электрическая проводимость

Структура вал-дифракционных зонных систем



Величины $\Delta R/R$:



1. Величины $\Delta R/R(h\nu)$
2. 3 формулы времени отклика без учета инерции $\tau(h\nu)$
3. 3 формулы R-R зависимости d^2/dE
4. 3 типа вал-дифракционных зонных систем

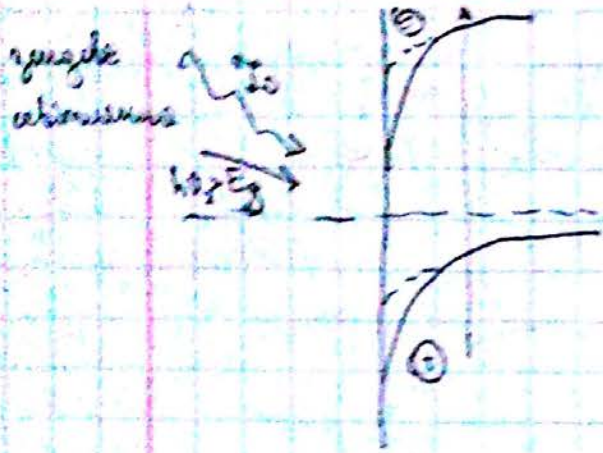
§3. элементы модулированной спектроскопии

$\frac{dI}{dE}$; $\frac{dI}{dP}$; $\frac{dI}{dT}$ - зависимости.

дифференцирование α по различным параметрам, включая все три фактора координат помехам

① Оптическая модуляция

Среднее падение $\frac{1}{n}$, в вакуумном зон.



якщо ми цей n обчислимо і виміряємо

$$R = \frac{1}{n_0} = f(h\nu)$$

якщо швидко обв'язати, то можна перейти до твердих зон.

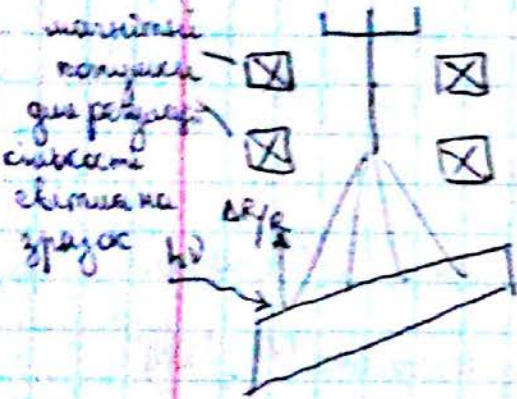
Велич зони - прикладання електричного поля

Чутливість $\Delta R/R \sim 10^{-4}$ - менше чутливість, ніж інші методи

2) Катодна методика

Фотон проходить без електрично-применої трубки.

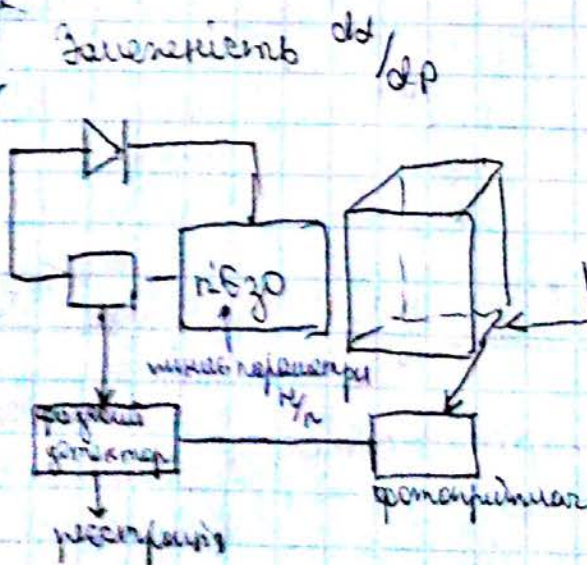
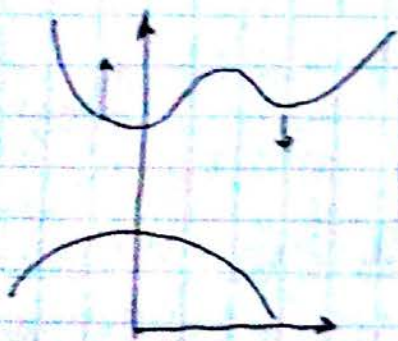
Зеркала - можна працювати з невеликими площами



Чутливість: - не досить чутливість;

- треба брати вакуумну систему

3) Ізомеризація



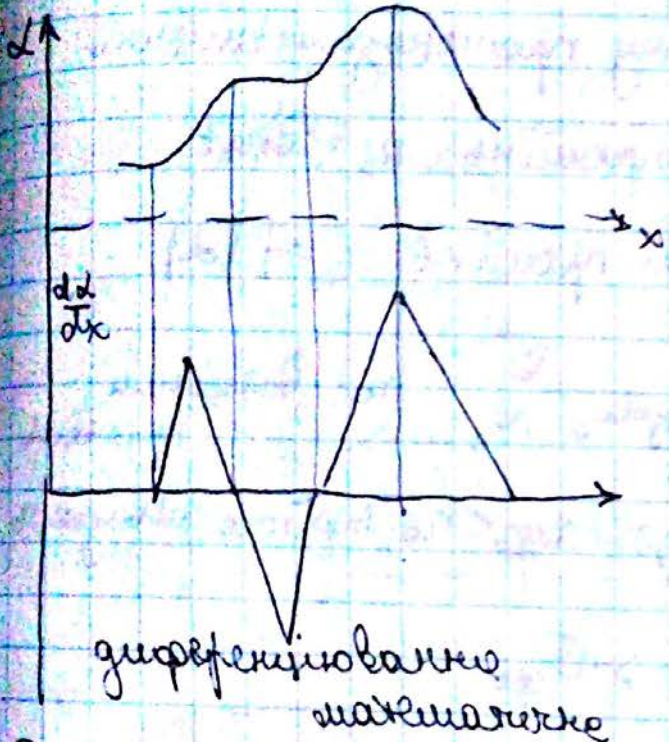
Модульованому злученню робимо n з премоделюючою керуванням і навіаки

Зеркала: більш чутливі ніж інші

① Температурна модуляція $\frac{d\lambda}{dT}$

температурні процеси повільні, перепади $10 \div 100$ Гц частота. Метод дозволяє відслідкувати орієнтацію кристала.

② Модуляція довжини хвилі.

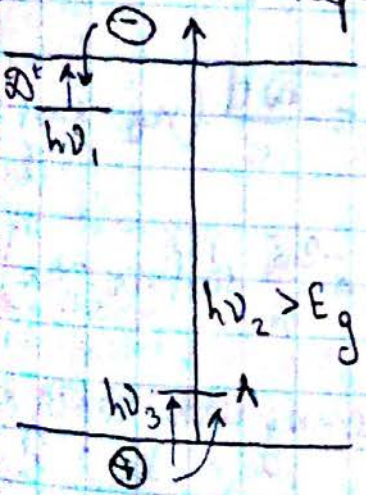


напрявді диференціювати фізично

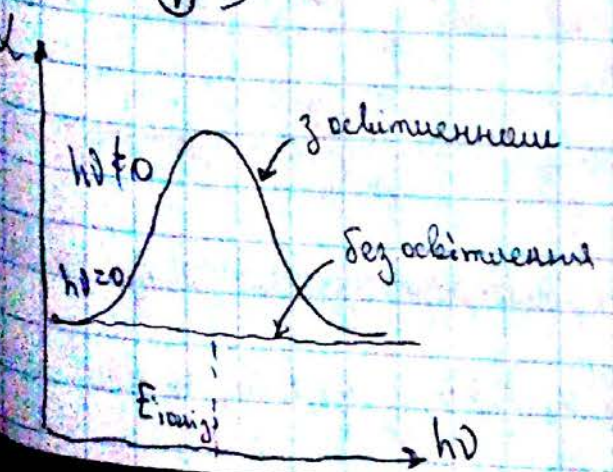
$$\lambda = \lambda_{const} + \Delta\lambda \cos(\omega t)$$

диференціювання математично

③ Оптична перезарядка (випадок, коли є домішкові іони)



допоміжний, через те, що певні домішки, що дозволяє контролювати провідність.



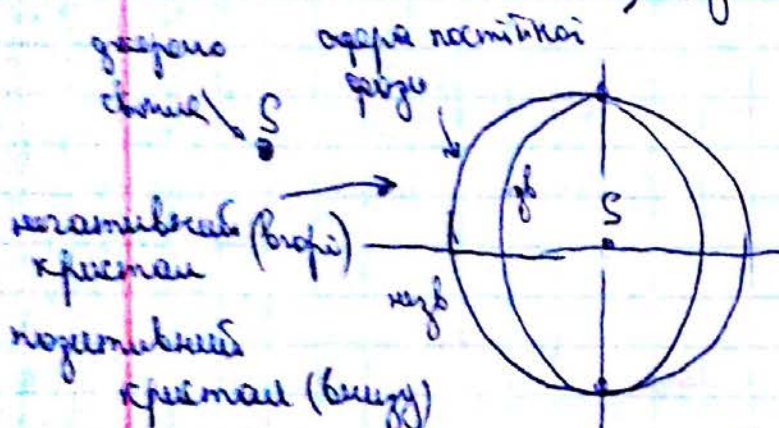
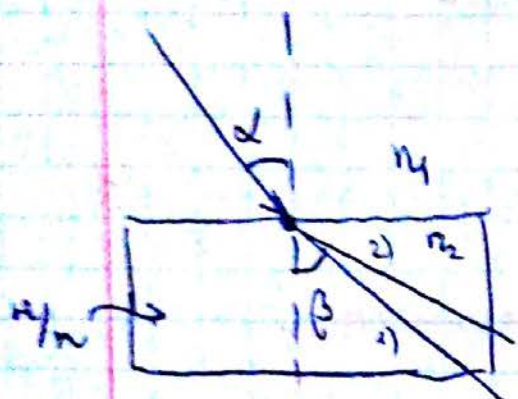
Дифракційні явища

Фіз. Світлове променезагаслення

Закон Снеліуса: $\frac{\sin \alpha}{\sin \beta} = n_{12} = \frac{n_2}{n_1}$

При невідомому променезагасненні:

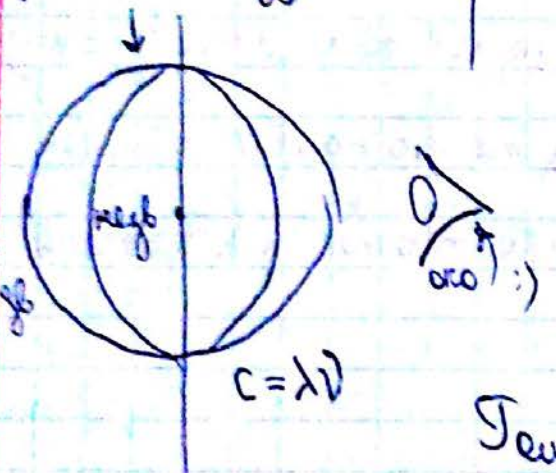
- 1) звичайний промінь: $n_2 = \text{const}$
- 2) незвичайний промінь $n_2 = f(\alpha)$



$v_{\text{звичайна}} = \frac{c}{n_0}$, по звичайний промінь якщо $n_E < n_0$, то його швидкість:

$v_{FE} > v_{FO}$

Розглянемо фазу $\Delta \varphi = \omega \Delta t \approx$
 $= \omega \left(\frac{d}{c/n_0} - \frac{d}{c/n_E} \right) = -\frac{\omega d}{c} (n_E - n_0) =$
 $= \frac{2\pi \nu d}{c} (n_E - n_0) = \frac{2\pi}{\lambda} d (n_E - n_0)$



Точка мінімуму проходить через оп.

точку висві через сам промінь

Для Se $n_0 = 2,178$
 $n_E = 3,58$

$\lambda = 9 \cdot 23$

1) мінімум померзання $\Delta \varphi \sim \lambda/2$

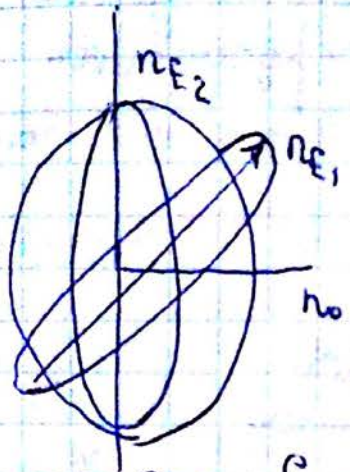
1) $2m \lambda/2$

90°

$(2m+1) \lambda/2$

2) $2m \lambda/4$

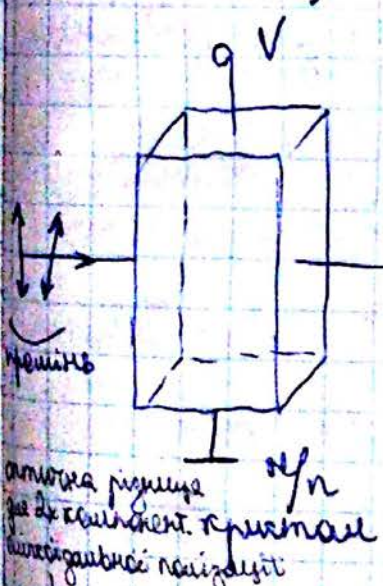
$(2m+1) \lambda/4$



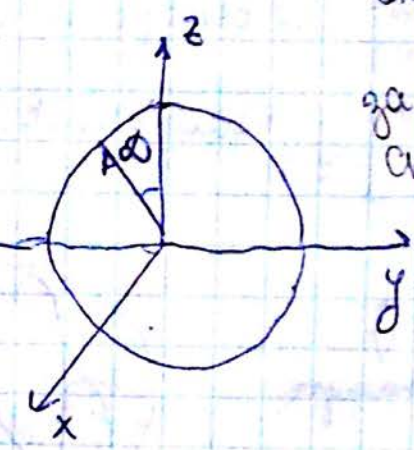
Губчатий кристал:

Двуштанні ейнні і 3 сфера (файний)

§5. Ефект Кефа



Оптично акустичні ефекти: за допомогою їх можна створити еліптич. світло у Si.



оптична різниця між двома ейнні кристалів

$\Delta n = C_n l (g) \lambda$, C_n - стала Кефа. - оптична різниця позу

$$\Delta n = n_o - n_E = \frac{2 \pi e^2 N}{\omega^2 n} \cdot \frac{2 \nu_{gp}^2}{E_g} \left[1 - \frac{m_e^* \nu_{gp}^2}{2 k T_e} - g \frac{k T_e}{E_g} \right] - \text{не писати накр/р і складени!}$$

Щоб було анізотропія, треба виконання певних умов. Наприклад через те що у кристалі є ізометричні пов'язки

такі, маємо e має ефективну масу, що змінюється.

$m_z^* < m_e$ - ефективна маса для поперечного та розповсюдження світла

$[010]$ $[100]$

$[001]$

$\mu = \frac{e}{m} \tau$ - дієвий заряд ефективної маси - функція

При русі в різних напрямках швидкість різна. Змінюється швидкість e .

$\sigma_{gr} = \mu \tau$ // $\Delta n \sim \sigma_{gr}^2$

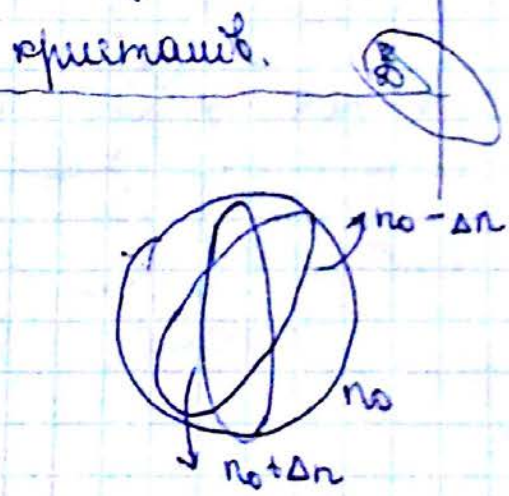
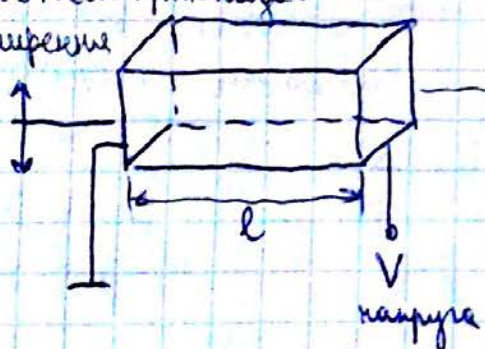
$\Delta n = \frac{e^2 \lambda^2 N}{2 \pi m c^2} \left(\frac{1}{m_z} - \frac{1}{m_e} \right) \cdot \frac{\omega - 1}{\omega + 1}$, $L = \frac{N_{перпен}}{N_{паралель}}$

Фізики дають векторно поле при русі, до того, що в оптиці, крім цього є білин.

§ 6. Ефект Дюкельса

Кількість зарядів в напрямку, що входить утворює анизотрію енергетичається тільки для фотонів

Штучна (індукована) анизотрія - векторно поле при русі в білин в напрямку світла



$\Delta n = \frac{n^3}{2} \tau \mathcal{E}_z$

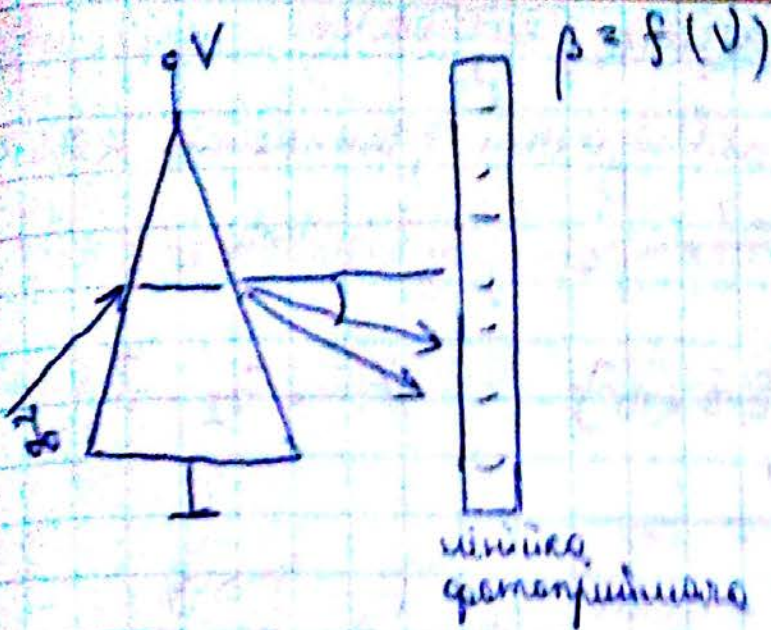
$\Delta p = \frac{2 \mathcal{E}}{\lambda} d(n_E - n_0) = \frac{2 \mathcal{E}}{\lambda} l \Delta n = \frac{2 \mathcal{E}}{\lambda} l \frac{n^3}{2} \tau \mathcal{E}_z = \frac{\mathcal{E}}{\lambda} n^3 \tau V$

(немає) (має) Дюкельса

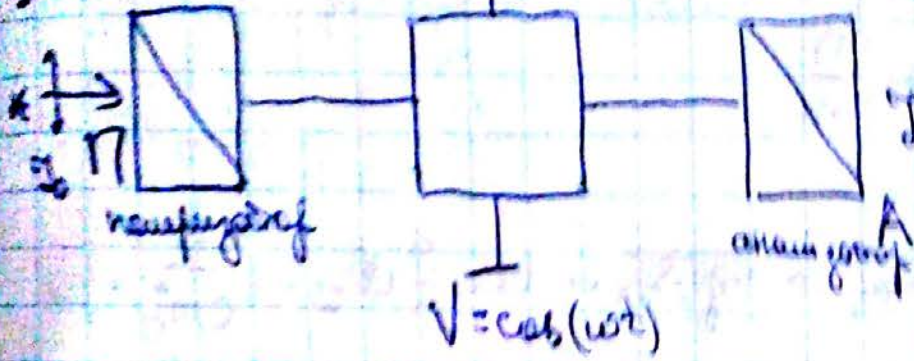
§ 7. Застосування оптичних анизотрічних ч/н та діелектриків

Є два застосування:

- склали апарати (щоб зробити спектр перед розподілом)



2) (уточняется)



робота антени
зависит
і модуляції

Точка 2

Глава 4. Максимумні ефекти

1) шкловий резонанс

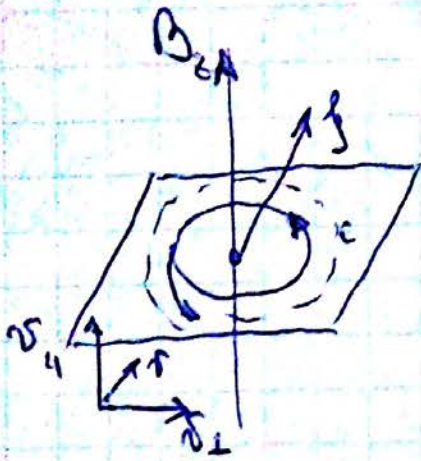
2) шкловий абсорбційний

~ n ~ резонансний

3) паразитний або спінний резонанс

4) шкловий трансфузійний ефект (Резонанс, Поінт)

§1. Циклотронний резонанс



Ефект пов'язаний з великими полями

У полі електрики розганяється

$$F = \frac{e}{c} [\vec{v} \times \vec{B}] \quad // \vec{v} = \vec{v}_\perp + \vec{v}_\parallel$$

сила Лоренца

якщо є тільки \vec{v}_\perp $F_\perp = \frac{e}{c} v_\perp B$

- " \vec{v}_\parallel $F_\parallel = 0$

$$\frac{mv^2}{t} = \frac{e}{c} v B \Rightarrow \frac{v}{t} = \omega = \frac{eB}{cm}$$

(циклотронна частота)

якщо маємо тверде тіло, то треба ікрос $\omega_c = \frac{eB}{cm_e^*}$

Циклотронна частота не залежить від швидкості швидкості

Якщо електрика поєднана з магнітною e/m хвилі. Розглянемо дві проекції \vec{v} на x . Запишемо:

$$m_e \frac{dv_{x,y}}{dt} = e \left[\int + \frac{1}{c} [\vec{v} \times \vec{B}] \right] - \frac{m_e v}{\tau} \quad // \text{електричне поле уздовж осі } x$$

за рахунок розсіювання

τ - час життя між зіткненнями.

Розв'язок шукаємо у вигляді: $v_{x,y} = v_{0x,y} e^{-i\omega t}$. Розпишемо

для 2 компонент:

$$\begin{cases} m_e (-i\omega + 1/\tau) v_x = e \int_x + \frac{e}{c} v_y B \\ m_e (-i\omega + 1/\tau) v_y = -\frac{e}{c} v_x B \end{cases} \quad // \omega_c = \frac{eB}{m_e c}$$

рівняння з знаменником

$$v_y = \frac{e/c \cdot B/m}{\omega_c} \cdot \frac{v_x}{(-i\omega + 1/\epsilon)} = - \frac{\omega_c v_x}{1 - i\omega\epsilon}$$

$$m_e (-i\omega + \frac{1}{\epsilon}) v_x = e f_x + \frac{e}{c} \cdot \frac{B\omega_c v_x \epsilon}{1 - i\omega\epsilon} \quad | : m_e \quad \text{зменшили на знаменник}$$

$$(1 - i\omega\epsilon)^2 v_x = \frac{e f_x \epsilon}{m_e} (1 - i\omega\epsilon) - \omega_c^2 \epsilon^2 v_x \Rightarrow v_x$$

$$v_x = \frac{\frac{e}{m_e} f_x \epsilon (1 - i\omega\epsilon)}{1 - 2i\omega\epsilon - \omega^2 \epsilon^2 + \omega_c^2 \epsilon^2} = \frac{\frac{e}{m_e} f_x \epsilon (1 - i\omega\epsilon)}{1 + (\omega_c^2 - \omega^2) \epsilon^2 - 2i\omega\epsilon}$$

нам цікавить коефіцієнт пошканина або провідність

$$\sigma = e n N, \quad \mu = \frac{v_x}{f_x}, \quad \text{тоді} \quad \sigma = e n \frac{v_x}{f_x} \Rightarrow$$

$$\sigma = \frac{\frac{e}{m_e} \epsilon (1 - i\omega\epsilon) e n}{1 - 2i\omega\epsilon + (\omega_c^2 - \omega^2) \epsilon^2}$$

$$\sigma_0 = e n N = e \frac{e}{m_e} \epsilon n = \frac{e^2 \epsilon n}{m_e}, \quad \text{підставимо} \quad // \text{ без } n$$

$$\sigma = \sigma_0 \frac{(1 - i\omega\epsilon)}{1 + (\omega_c^2 - \omega^2) \epsilon^2 - 2i\omega\epsilon}$$

$\Delta \text{Re}(\sigma)$ - коефіцієнт пошканина

$$\Delta \approx \frac{1 + \omega_c^2 \epsilon^2 - \omega^2 \epsilon^2 + 2\omega^2 \epsilon^2}{(1 + (\omega_c^2 - \omega^2) \epsilon^2)^2 + 4\omega^2 \epsilon^2}$$

1) $\omega_c \epsilon \gg 1$ (електронна обертальна радість багаті обертів ніж зворотна)

а) $\omega \ll \omega_c$: $\Delta \approx \frac{\omega_c^2 \epsilon^2}{\omega_c^4 \epsilon^4} = \frac{1}{\omega_c^2 \epsilon^2} \sim \frac{1}{B^2}$ - провідність кристалу в магнітній полі (кристалічний ефект)

б) $\omega \gg \omega_c$ $\Delta \neq f(B)$

в) $\omega_c \epsilon \ll 1$ - електрон не встигає пройти повне коло і зіткнеться з іонним і розривається. (переходить з р-об'єкта на іонну)

a) $\omega < \omega_c$

$\alpha \sim \beta_0 (1 + \omega_c^2 \tau^2)$

В максимуме при нуле при $\omega < \omega_c$ епис. фазов. эффект (максимум фазовый эффект)

$\beta \sim \frac{1}{\sigma} \rightarrow \frac{\Delta \rho}{\rho} = -\frac{\Delta \beta}{\beta} \sim \omega_c^2 \tau^2 \sim \left(\frac{\mu B}{c}\right)^2$

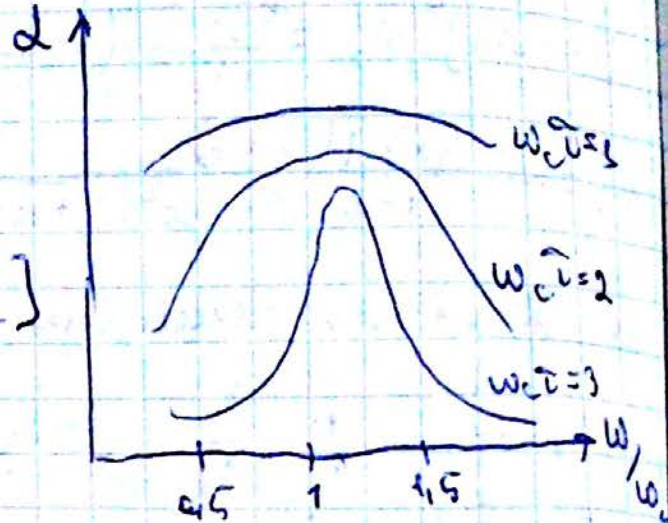
b) $\omega = \omega_c$

Фреда $\omega_c \tau > 1$

$\frac{eB}{m_e c} \cdot \frac{\mu m_e}{e} > 1 \Leftrightarrow \frac{1}{c} \mu B > 1 \left[\frac{cm^2}{B \cdot e} \right]$

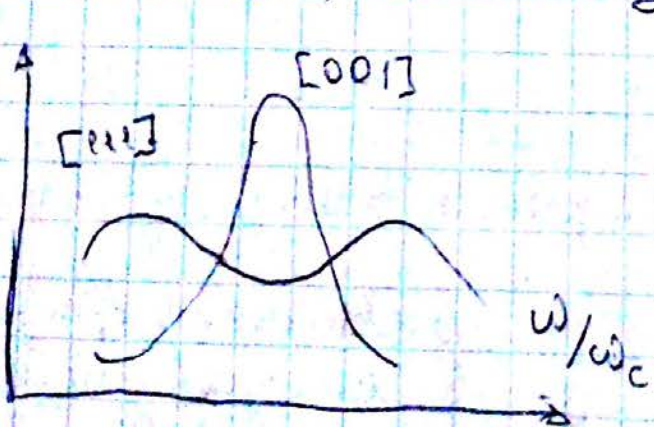
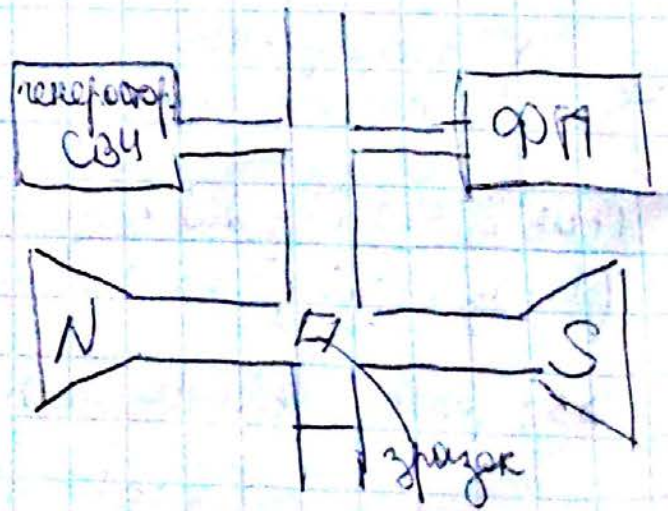
$B \mu > 10^8 \text{ Гс}, B \sim 10^3 = 10^4 \text{ Гс}$

для $\mu_n \mu \sim 10^4 = 10^5$



Установка для измерения.

Be $T = 4,2 \text{ K}, \omega \approx 9 \text{ ГГц}$



§ 2. Різкі ступені

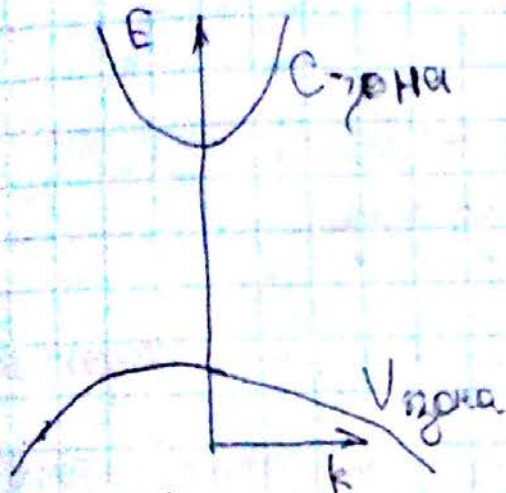
$$E = \frac{m\dot{\theta}^2}{2} = \frac{m^2 \dot{\theta}^2}{2m} = \frac{\hbar^2 k^2}{2me}$$

$$\Sigma_i: m_1 = m_2 = m_+$$

$$E = \frac{\hbar^2}{2} \left[\frac{k_x^2}{m_1} + \frac{k_y^2}{m_2} + \frac{k_z^2}{m_3} \right]$$

$$m_3 = m_e$$

Без магнітного поля:



$$m_e \omega r^2 = \ell \hbar$$

Ступені Баха

+ стаціонарні орбіти

$$2. \Delta E = \hbar \omega = E_1 - E_2$$

$$3. m_e \omega r^2 = \ell \hbar, \quad \ell = 1, 2, \dots$$

↑
кількість
квантових чисел

$$\omega = \omega_c$$

Результат магнітного поля, бо $\omega = \omega_c$

$m_e \omega_c r^2 = \ell \hbar$ → радіус орбіти, по якій буде обертатися електрон

формула: $r = \sqrt{\frac{\ell \hbar}{m_e \omega_c}}$. В магнітному полі за рахунок Шеллі з'являється

енергія електрон квантується: $E = \frac{m_e \dot{\theta}^2}{2} = \frac{m_e \dot{\theta}^2}{2} = \frac{\hbar^2 k^2}{2c} \cdot \omega \Rightarrow$

$$E_c = \frac{\ell \hbar \omega}{2c} = \frac{1}{2} \ell \hbar \omega_c$$

- енергія в магнітному полі квантується

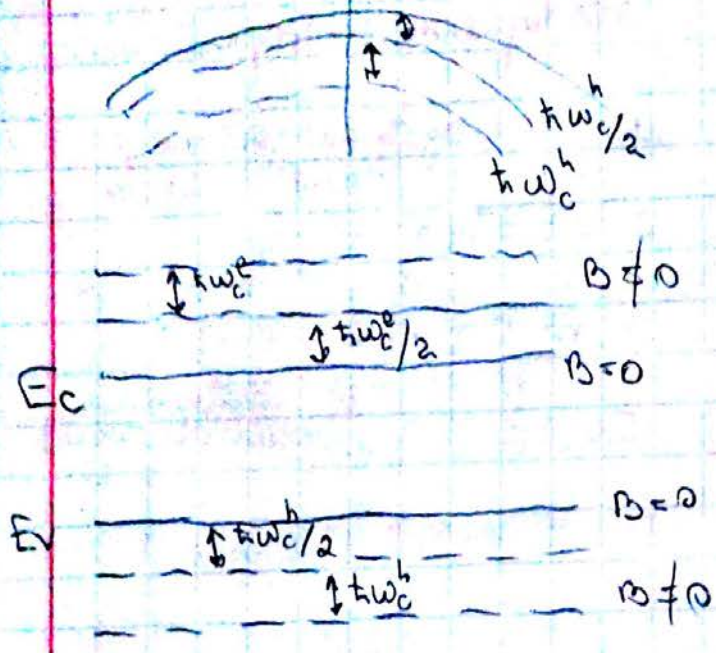
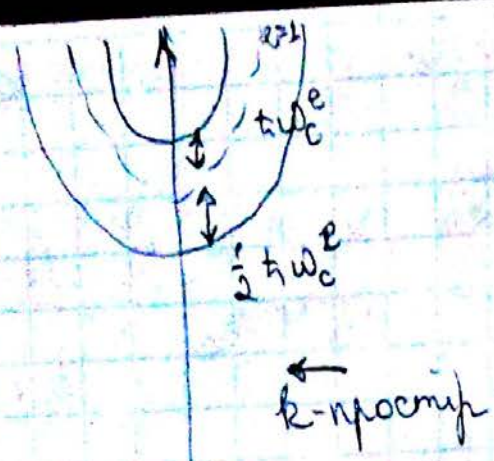
$$E_1 = \frac{1}{2} \hbar \omega_c$$

В квантовій механіці: $E_n = \hbar \omega_c (n + 1/2)$

Зовня енергія електрона в зоні:

$$E = \hbar \omega_c (n + 1/2) + \frac{\hbar^2 k^2}{2me}$$

В магнитном поле энергетические уровни закругляются.



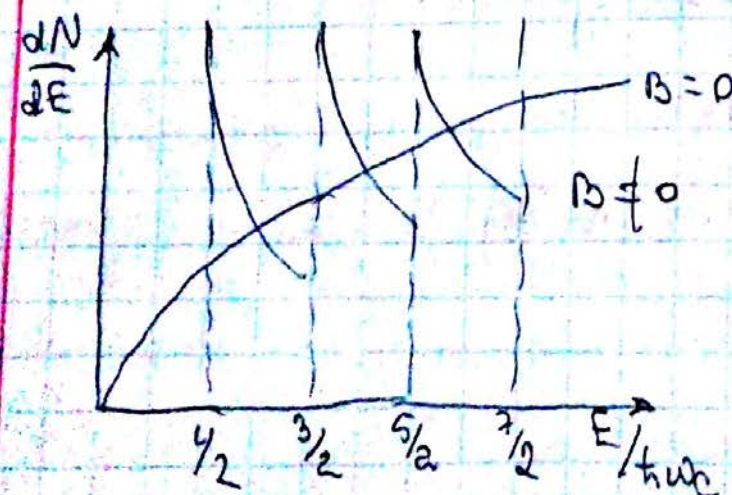
геометрический простор

В магнитном поле эффективная ширина запрещенной зоны увеличивается:

$$\Delta E_g = \frac{1}{2} \left(\frac{1}{m_e} + \frac{1}{m_h} \right) \frac{e\hbar B}{c}$$

$$\Delta E_g = \frac{1}{2} \hbar \omega_c^e + \frac{1}{2} \hbar \omega_c^h = \frac{1}{2} \hbar \left(\frac{eB}{cm_e} + \frac{eB}{cm_h} \right)$$

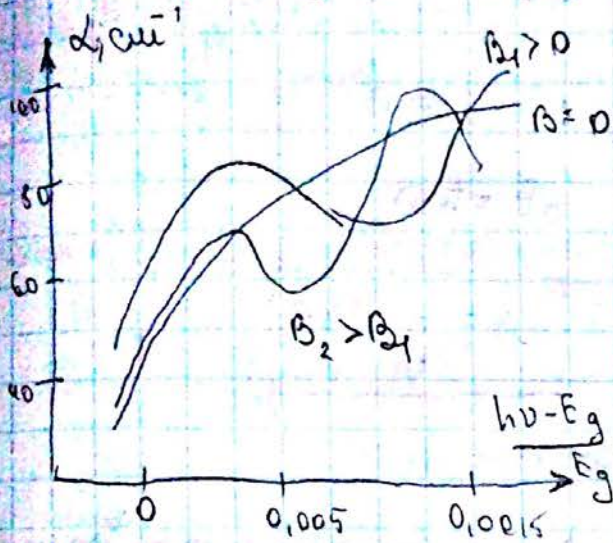
Зона прямая \Rightarrow коэффициент поглощения будет возрастать. В магнитном поле увеличивается ширина запрещенной зоны.



Магнитно-абсорбционный эффект связан с разрывом энергетических уровней в магнитном поле.

переходы дугами миниме где $\partial n = 0$, не где скачком ∂n

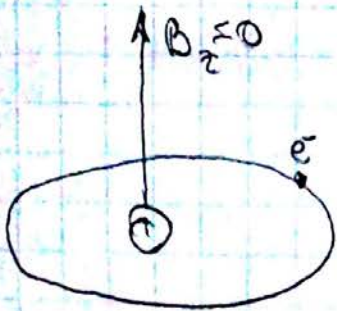
$$h\nu = E_g + \Delta E = E_g + \frac{1}{2} \cdot \frac{e\hbar B}{c} \left(\frac{1}{m_e} + \frac{1}{m_h} \right) = E_g + \frac{1}{2} \hbar \left(\omega_c^e + \omega_c^h \right) = \hbar \omega$$



максимум - осцилляционный эффект

В максимуму не изменяется видоизменяется осцилляционный эффект.

§ 3: Эффект Зеемана



$$B_z \neq 0: F_{\text{Лор}} = \frac{e^2}{c^2} F_{\text{Лор}} = \frac{m v^2}{c} = m \omega^2 r$$

$$\frac{e^2}{c^2} r^2 = m \omega^2 r$$

Спиновое поле $B_z \neq 0$:

возрастает $F_{\perp} = \left| \frac{e}{c} [\vec{v} \times \vec{B}] \right| = \frac{e}{c} v B_z$

$$\frac{e^2}{c^2} r^2 + \frac{e}{c} \omega r B = m \omega^2 r \Rightarrow \omega^2 - \frac{eB}{cm} \omega - \omega_0^2 = 0 \quad / m - \text{масса электрона}$$

$$\omega = \frac{\omega_c}{2} \pm \sqrt{\frac{\omega_c^2 + 4\omega_0^2}{4}} = \frac{\omega_0}{2} \pm \sqrt{\left(\frac{\omega_c}{2}\right)^2 + \omega_0^2}$$

$\Omega = \omega_c/2$ - частота Лармора

$$\Omega = \frac{eB}{2mc} = \frac{\omega_c}{2}, \text{ если } \omega_0 \gg \omega_c/2 \Rightarrow$$

$$\omega = \omega_0 + \Omega$$

$$\omega = -\omega_0 + \Omega$$

Частота вращения ω в продольном направлении

$$\Delta \nu = \pm \frac{\omega_c}{2 \cdot 2\pi}$$

$$N = 2j + 1;$$

$$j = \frac{1}{2}, \frac{3}{2}, \dots;$$

$$N_{\min} = 2$$

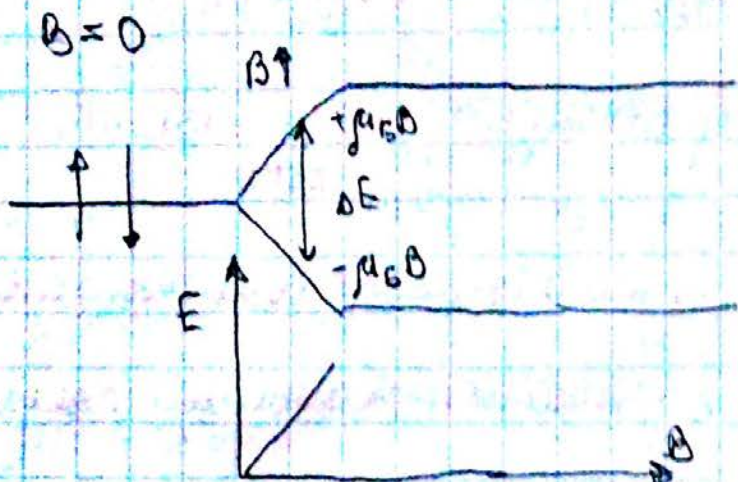
$$B > 0$$

$$\Delta E = \left(\frac{eh}{mc} \right)^2 B - \text{поправок Ландау}$$

$$\Delta E = 2\mu_B B$$

$$\Delta E = \hbar \omega$$

$$\omega = g \frac{2\mu_B B}{\hbar}$$



g - вычисляется при помощи (g -фактор)

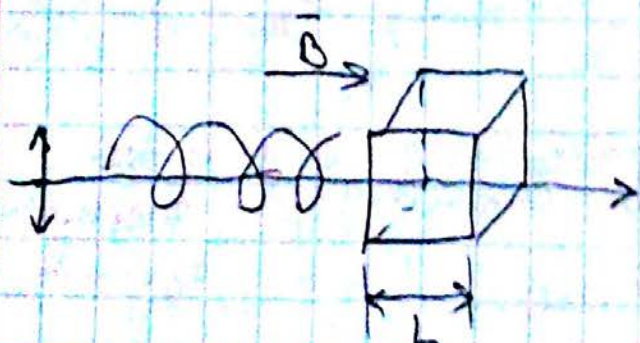
ЭПР (электронный парамагнитный резонанс) - эффект Зеемана

для парамагнитных спинов

Электрический Детекторный ЭПР

Оптический Детекторный ЭПР

§ 4. Эффект Рафаэля



$$\Omega = \pm \frac{e^2 B}{c m e} \quad / \text{аналог Лоренца}$$

$$n = f(\omega)$$

$$\Theta = C_V H e - \text{повороты плоскости поляризации}$$

↓
коэффициент Верде

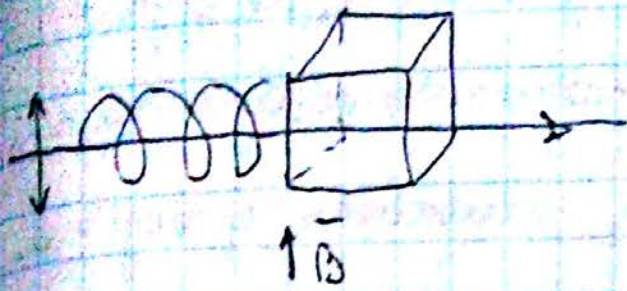
$$\Theta = \frac{e^3 N \lambda^2 H}{2 \hbar c^2 n m^2} \sim \lambda^2$$

N - концентрация заряженных частиц
 n - концентрация носителей заряда

Не путать с эффектом Керра $\propto I^2$

§ 5. Ефект Файтца

(канал
Керра)



$$\Delta n = \Delta \varphi = \frac{2\sqrt{2}}{\lambda} d (n_1 + n_2)$$

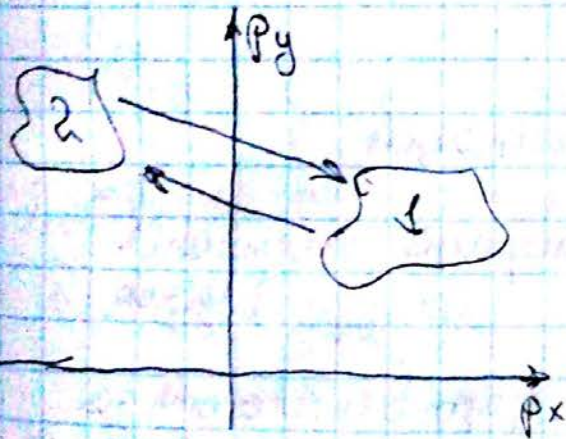
$$\Delta \varphi = \frac{e^4 N \lambda^3 \ell}{4\pi^2 \epsilon^2 c^2 n m^3} H^2 \sim H^2 - \text{квер-}$$

танне площини поляризації на φ .

Глава 5 Рівноважені нерівноважені носії заряду

Найважливіше нерівноважені носії заряду - це те, що відрізняє n від металів.

§ 1. Рівноважені та нерівноважені носії заряду

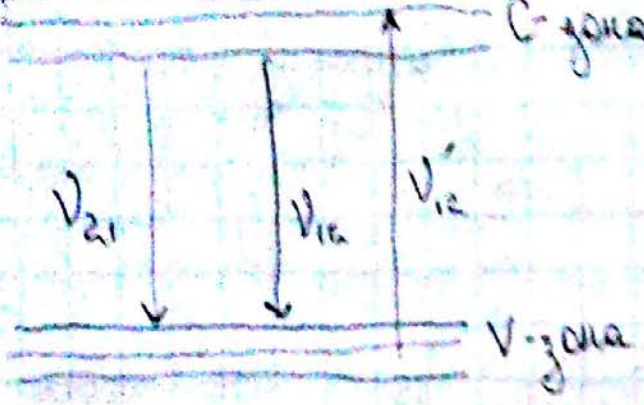


носії заряду

1. -скупність станів, які можуть мати певну певну енергію, якою можуть обмінюватися.

Рівноважені процеси - це ті процеси, коли кількість переходів $1 \rightarrow 2 =$ кількості переходів $2 \rightarrow 1$. Це принцип детальної рівноваги. ($\nu_{12} = \nu_{21}$)

Власна концентрація електронів: n_0, p_0 (на ці параметри впливає тільки T).



C-зона для широкіх зон при машині \hbar
 переходів V_{12}, V_{21} не буде
 V'_{12} - генерація додаткових носіїв
 V_{12}, V_{21} - кількістю переходів за

одиницю часу в одиничному об'ємі.

Умові порушується принцип детальної рівноваги

Рівноважні носії - виникають за допомогою периферичних процесів.

Нерівноважні - виникають іншими периферичними процесами

$$n_{po} = n_i^2 e^{-E_g/kT}$$

§2. Час життя неосновних носіїв заряду

Завжди буде зворотний процес - рекомбінація

$$\frac{d(\delta n)}{dt} = g_n - R_n \quad g_{n,p} - \text{темпа генерації: електронів і дірок}$$

$$\frac{d(\delta p)}{dt} = g_p - R_p \quad - \text{кількість носіїв що виникають за одиницю часу в одиничному об'ємі } \nu_0$$

Рекомбінація - через дефекти чи напружені, тобто з вільними дірками, або які можуть знаходитися на певних станах.

$$R_n = n_p - g_{nr} - \text{темпа захоплення носіїв із відповідної зони}$$

а) нулевой шаг

$R_p = \rho_p - g_p T$, $g_p T$ - нулевой шаг

$$R_n = \frac{p - p_0}{\epsilon_n} = \left(\frac{p}{\epsilon_n} \right) - \left(\frac{p_0}{\epsilon_n} \right)$$

n-шаг расчета
по известным параметрам

ϵ_n - шаг при расчете нулевого шага

$$R_p = \left(\frac{p}{\epsilon_p} \right) - \left(\frac{p_0}{\epsilon_p} \right)$$

$$\epsilon \approx \frac{1}{2}$$

$$\left(\frac{d(R_n)}{dt} \right) = g_n - \frac{\delta_n}{\epsilon_n}$$

$$\left(\frac{d(R_p)}{dt} \right) = g_p - \frac{\delta_p}{\epsilon_p}$$

$$\delta_n = g_n \epsilon_n - C \exp(-t/\epsilon_n)$$

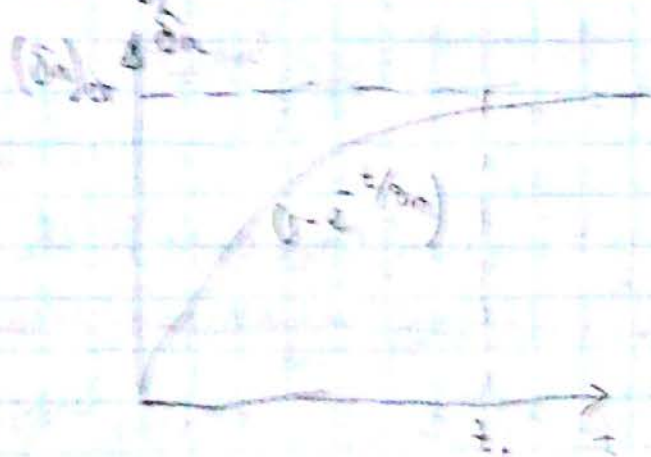
б) Вводим ограничение на шаг $t \rightarrow \infty$ - бесконечно малый шаг
или предел (применяем $\delta \rightarrow R$ при $t \rightarrow \infty$)

$$(R_n)_{\infty} = g_n \epsilon_n$$

в) $t=0$, $g_n=0$ - нулевой шаг

$$\delta_n = 0 = (R_n)_{\infty} - C$$

$$\delta_n = (R_n)_{\infty} (1 - e^{-t/\epsilon_n})$$



г) Вводим ограничение на шаг $t \rightarrow \infty$ - бесконечно малый шаг

$\delta_n = \delta_n$ - нулевой шаг

$$\delta n = -G \exp(-t/\tau)$$

$$\delta n = (\delta n_0) \exp\left(-\frac{t-t_1}{\tau_n}\right)$$

коли дійшло до стаціонарного
зміцнення $(\delta n) = (\delta n)_{ст.} e^{-t/\tau_n}$

Експоненціальний закон високуються тільки тоді, коли $\tau_n \neq f(I)$.

(τ - інтенсивність освітлення).

$$\tau_n = f(n)$$

$$\tau_n = f(t)$$

тоді вводять шматковий час

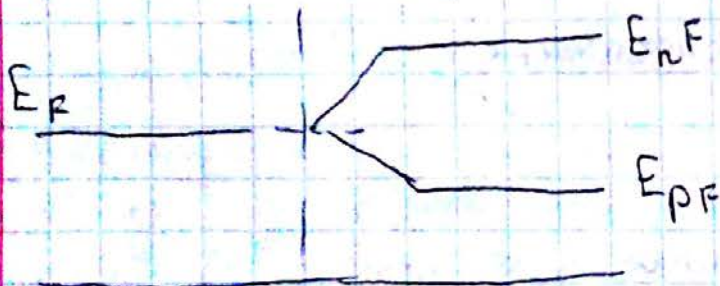
§3. Квазірівні Фермі

$$n_0 = N_c \exp\left(-\frac{E_c - E_F}{kT}\right)$$

$$f_n = \frac{1}{e^{\frac{E - E_F}{kT}} + 1}$$

$$p_0 = N_v \exp\left(-\frac{E_F - E_v}{kT}\right)$$

$\tau = 0$ | $\tau > 0$



При освітленні статистика

Фермі вже не працює. В керів-
стві рівняння зумовляють окремо роз-
глядати розподіл для e^-

$$n = n_0 + \delta n = N_c e^{\frac{E_{NF} - E_c}{kT}}$$

$$p = p_0 + \delta p = N_v e^{\frac{E_v - E_{PF}}{kT}}$$

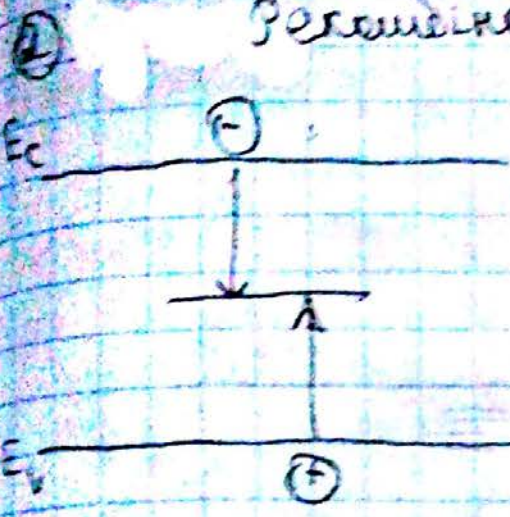
$$np = (n_0 + \delta n)(p_0 + \delta p) = N_c N_v \exp\left(\frac{E_v - E_c}{kT}\right) e^{\frac{E_{NF} - E_{PF}}{kT}}$$

$$np = n_i^2 e^{\frac{E_{NF} - E_{PF}}{kT}} = n_0 p_0 \exp\left(\frac{E_{NF} - E_{PF}}{kT}\right)$$

Квазірівні Фермі вводять, коли час життя створених керів-
стві рівняння кабіт кадалата більший часу релаксації.

§ 4. Механізм рекомбінації

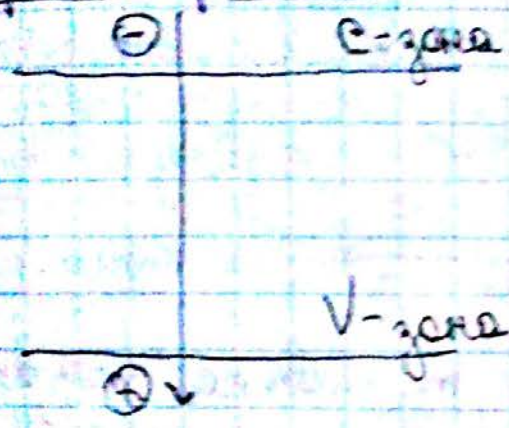
Рекомбінація через дримми.



Може бути з випромінюванням і без випромінювання.

Чим ближче рівень до середини зони тим більша ймовірність без випромінювання.

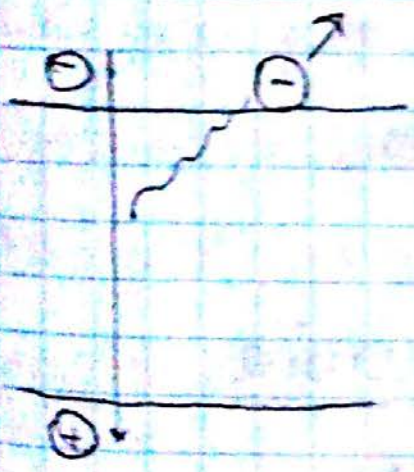
Фронт рекомбінації



При рекомбінації виділяється енергія

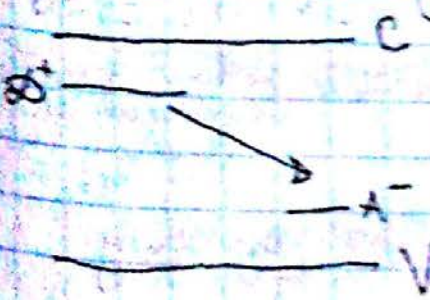
- а) з випромінюванням
- б) без випромінювання

3. Оже (ударна) рекомбінація - без випромінювання.

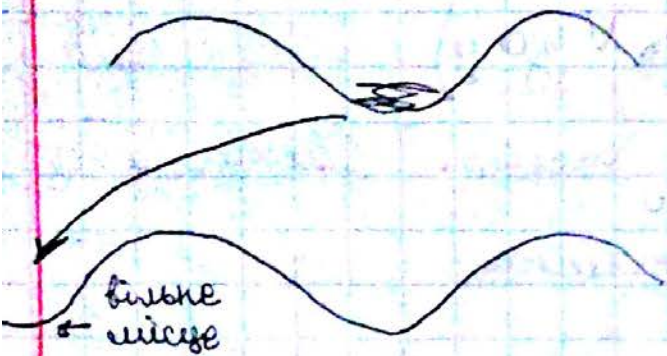


Енергія передається 3-й частинці, яка може зустріти іншу і т.д. → ударна рекомбінація

4. Рекомбінація донорно-акцепторної пари (D.A.P)



5) Фізична рекомбінація



6) Екситонна рекомбінація



$$\begin{cases} E(k') = E(k) + \Delta E & \text{33E} \\ \hbar k' = \hbar k + \Delta p & \text{33G} \end{cases}$$

Якщо $\Delta E = E_g$ чи $\Delta E = E_{\infty}$, $\Delta E = E_{ex}$, то можна сказати через який канал відбувається рекомбінація

$\Delta k = 0$ - пряма рекомбінація

$\Delta k = \Delta k_e$ - опосередкована Окре-рекомбінація

$$\Delta k = \Delta k_{phon}$$

§ 5. Мікроскопічна рекомбінація

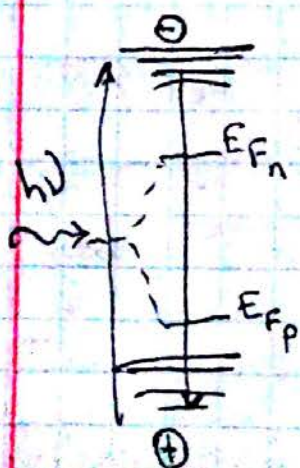
Згадаємо записати рівняння станів:

$$N_c(E') f_n(E') dE' \cdot N_v(E) f_p(E) dE \times W(E', E) = dr$$

кількість станів в E зоні кількість станів в E' зоні ймовірність рекомбінації між E та E' зонами

Задавши цією дорівнює функцією розподілу

$$f_n(E') = \exp\left(\frac{E_{Fn} - E'}{kT}\right); f_p(E) = \exp\left(\frac{E - E_{Fp}}{kT}\right)$$



$$np = n_0 p_0 \exp \frac{E_{np} - E_{pf}}{kT}$$

$$// n_0 p_0 = N_c N_v e^{-E_g/kT}$$

для укажем густоты $f_n(E')$ і $f_p(E)$:

$$f_n(E') f_p(E) = \exp \frac{E_{np} - E'}{kT} \exp \frac{E - E_{pf}}{kT} = \exp \frac{E_{np} - E_{pf}}{kT} \exp \frac{E - E'}{kT} = [2 np = \dots] =$$

$$= \frac{np}{n_0 p_0} e^{\frac{E - E'}{kT}} = \frac{np}{N_c N_v} \exp \left(\frac{-E + E_c}{kT} \right) \exp \left(\frac{E - E'}{kT} \right)$$

$E_g = E_c - E_v = -(E_v - E_c)$ і підставимо $n_0 p_0$.

підставимо в формулу для dr :

$$dr = W(E', E) \cdot \frac{np}{N_v N_c} e^{\frac{E - E_v}{kT}} e^{\frac{E_c - E'}{kT}} dE dE' N_c(E') N_v(E) \Rightarrow$$

$$r = B \cdot np, \text{ де } B = \int_{-\infty}^{\infty} \int_{E_c}^{\infty} \frac{1}{N_v N_c} W(E, E') N_c(E') N_v(E) dE dE' - \text{коэффициент рециркуляції}$$

Не може бути рециркуляції, якщо буде лише 1 тип носіїв.

Новий тип рециркуляції $R = r - g_{нт} = B \cdot np - g_{нт}$

У рівноважних умовах $R = 0$, $n = n_0$, $p = p_0 \Leftrightarrow g_{нт} = n_0 p_0$, тоді

$$R = B (np - n_0 p_0) = B (np - n_i^2) - \text{тип рециркуляції для мізерної рекомбінації}$$

$$R \left[\frac{\text{см}^{-3}}{\text{с}} \right]$$

2 основні висновки для мізерної рекомбінації:

1) сильне збудження: $n \gg n_0$; $p \gg p_0$ (легко реалізувати якщо взяти великий n/p або малакий при сильному збудженні)

$$R \approx B np - B n_0 p_0 \approx B np - B n_0 p_0$$

нехтуємо окремим доданком

$$\approx B (n_0 + \delta n) (p_0 + \delta p) \approx B (n_0 p_0 + n_0 \delta p + p_0 \delta n + \delta n \delta p)$$

В умовках сферичного зрощення зона-зона $\delta n = \delta p$

① $B (\delta n)^2 = B (\delta p)^2$ - квадратична рекомбінація

2) слабке зрощення $p_0 \gg \delta p, n_0 \gg \delta n$

$R = B [(n_0 + \delta n)(p_0 + \delta p) - n_0 p_0] = \left[\begin{matrix} \text{розширено} \\ \text{зрощення} \end{matrix} \right] = B [n_0 + p_0 + \delta n]$

бо $\delta n \approx \delta p$, тобто

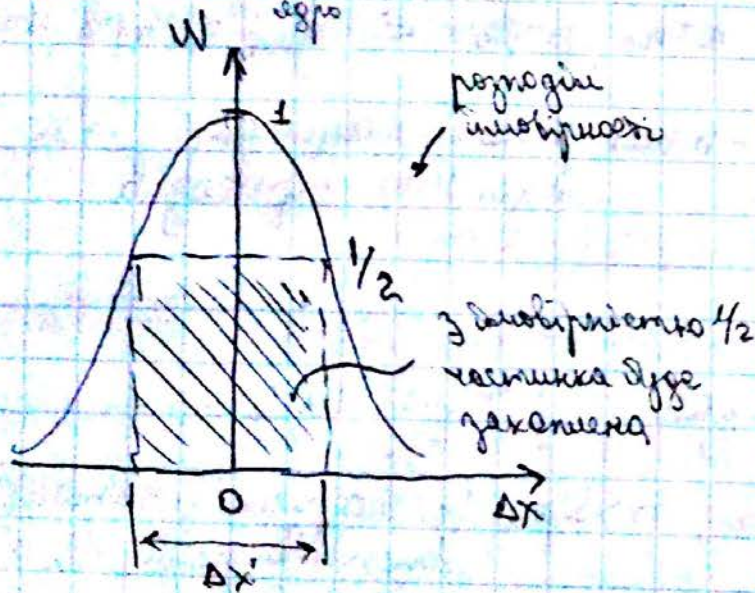
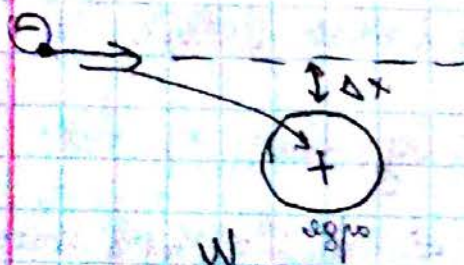
$R \approx B (n_0 + p_0) \delta n$ - лінійна рекомбінація

§ 6 Сферичне зрощення

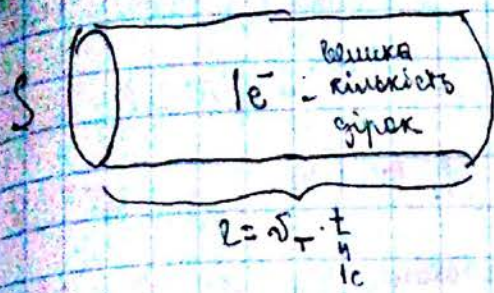
Звідси що в позитивно заряджені частинки на яку летить негативно заряджена. Коли вона може впасти на позитивно заряджену?

Є 2 варіанти: - проскокати (якщо $v > v_{е}$)
- застрягти

Критична швидкість $v_e = 10^7$ см/сек



Візьмемо (умовно) пружину з періодом T :



$\epsilon = S v_T p n$ - кількість електронів
 рекомбінації

$\epsilon = \beta n p$

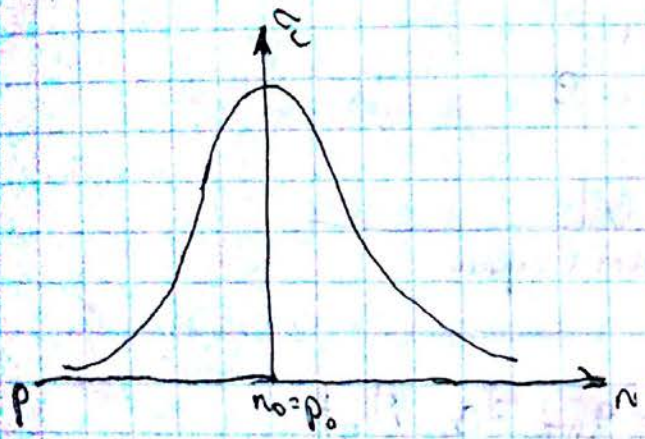
$\beta = \int v_T$

$\left[\frac{\text{см}^2}{\text{сек}} \right]$

оскільки константи беруться поверхні, а не всередині, можна це:

$R = \beta (n_0 + p_0 + \delta n) \delta n$

$\delta = \frac{\delta n}{R} = \frac{1}{\beta (n_0 + p_0 + \delta n)}$ - це життя залежить від кількості носіїв і умов освітлення



$\tau_{\max} = \frac{1}{2\beta n_0} = \frac{1}{2\beta p_0}$

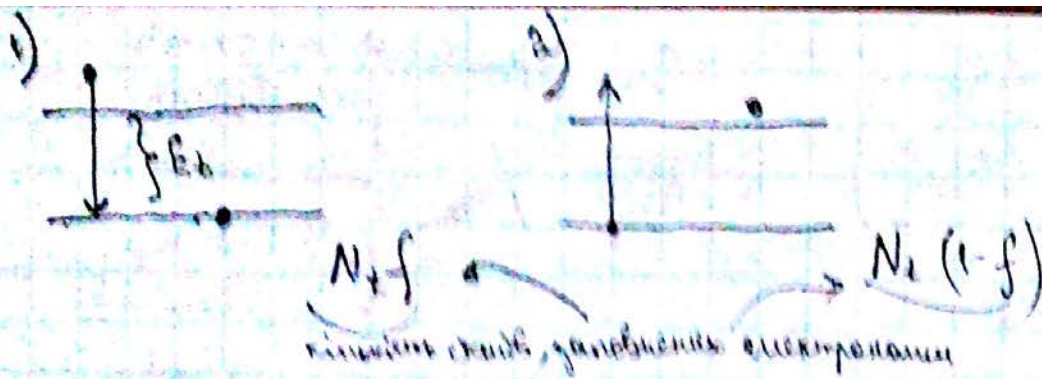
$\tau = f(\delta n, n_0, p_0)$ - тому не можна характеризувати τ_n лише життям, а треба використовувати період досягнення

§ 7. Рекомбінація через дефекти та границі

Якщо беремо β в н-типу, $\tau \sim 10^{-8}$ с; при концентрації 10^{15} см⁻³, то $\tau \sim 10^{-8}$ с.

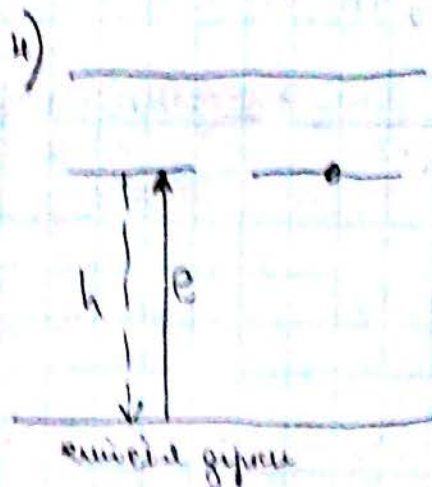
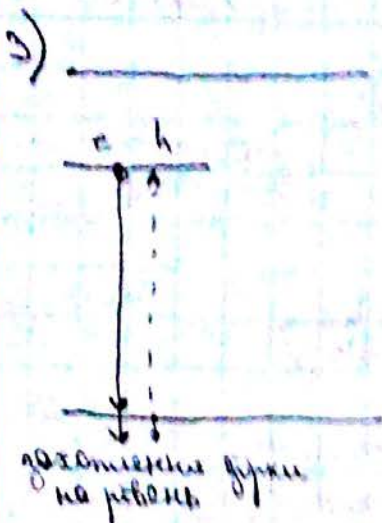
Нагадаємо про коефіцієнт дифузії $L_d = \sqrt{D\tau}$

При малій кількості дефектів можна ігнорувати L_d варіанти.



поглощение электронов в С-зоне на границе

высвечение электронов из С-зоны (высвечение электронов)



1) $\tau_n = \beta_n N_e (1-f) n$
коэффициент эмиссии

2) $g_{int} = \beta_n N_e f$
интенсивность поглощения фотона

В условиях равновесия $f = f_0$, $n = n_0$, p_0
равновесная концентрация носителей

$R = \tau - g_{int} = 0 = \beta_n N_e (1-f_0) n_0 = \beta_n N_e f_0$ \rightarrow

Баланс фотона вводит поправку: $f_0 = \frac{1}{1 + e^{\frac{E_c - E_f}{kT}}} = \frac{n_0}{n_0 + n_1}$ где $n_1 = N_c e^{\frac{-E_c - E_f}{kT}}$ - статистический фактор С-зоны
 равновесие.

$\rightarrow \beta_n = \frac{1-f_0}{f_0} n_0 \beta_n = \frac{1-f_0}{f_0} n_0 \beta_n = \left(\frac{n_0 + n_1}{n_0} - 1 \right) n_0 \beta_n = n_1 \beta_n$

Баланс фотона
 V. M., § 9
 формула 24

Вероятность возврата в кванту $\rho_n = n_1 B_n$; g_{n1} :

$$g_{n1} = \beta_n N_t f(E) = n_1 B_n N_t f, \text{ тогда суммарный ток за единицу времени}$$

$$R_n = \gamma_n - g_{n1} = B_n N_t (1-f)n - B_n n_1 N_t f = B_n N_t [(1-f)n - n_1 f]$$

$$3) g_p = B_p N_t f p$$

$$4) g_{p1} = B_p N_t (1-f)$$

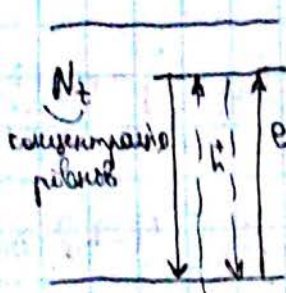
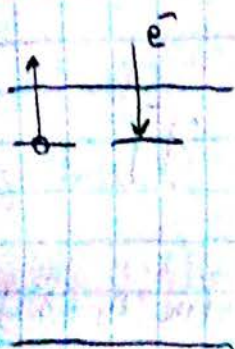
В условиях равновесия рассмотрим; вводим $f_0 = \frac{p_1}{p_0 + p_1}$, где

$$p_1 = N_v e^{-\frac{E_t - E_v}{kT}} \Rightarrow \beta_p = B_p p_1. \text{ Тогда имеем:}$$

$$R_p = B_p N_t [p f - p_1 (1-f)]$$

§ 8. Модель Шокли-Рида

для неэквивалентного злучення



Запишем главные уравнения

$$\begin{cases} \frac{dn}{dt} = g_n - R_n = g_n - B_n N_t [n(1-f) - n_1 f] & (1) \\ \frac{dp}{dt} = g_p - R_p = g_p - B_p N_t [p f - p_1 (1-f)] & (2) \end{cases}$$

и уравнения описывают систему (здесь)

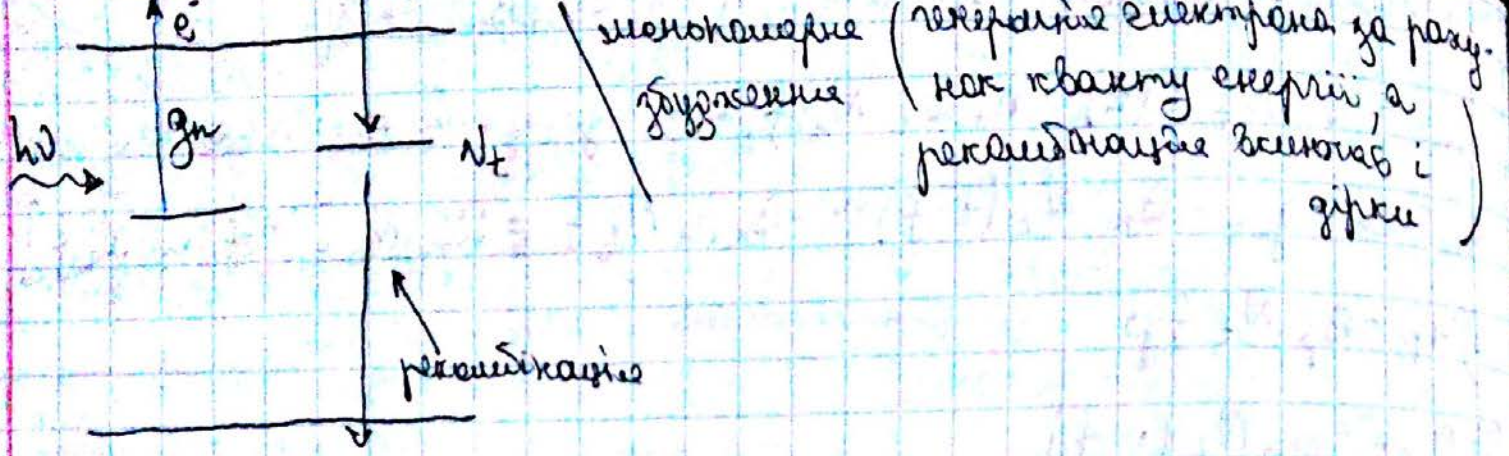
Поскольку неизвестно, чему равна f , выразим f из 2. уравнения:

$$N_t \frac{df}{dt} = R_n - R_p + (g_p - g_n) \quad (3)$$

узнаем, что при установившемся равновесии

$$p - p_0 = n - n_0 - \text{суммарный заряд повинен оставаться стащим (если не было год равновесия)}$$

$$p - p_0 = n - n_0 + N_t (f - f_0) - \text{упомощью выразим} \quad (4)$$



если величинам n и f мн. кс. в:

$$n = n_0 + \delta n; \quad f = f_0 + \delta f; \quad \times$$

В условиях стационарного равновесия з (1): (нема обтмивания)

$$\frac{dn}{dt} = 0; \quad g_n = 0$$

$$B_n N_t [n_0(1-f_0) - n_0 f_0] \Leftrightarrow n_0(1-f_0) = n_0 f_0$$

Если нема равновесия:

$$\frac{d(n_0 + \delta n)}{dt} = g_n - B_n N_t [\underbrace{(n_0 + \delta n)(1 - f_0 - \delta f)}_{\text{экспоненциально}} - n_0(f_0 + \delta f)]$$

Оскільки $\frac{dn_0}{dt} = 0$, то: $\frac{d(\delta n)}{dt} = g_n - B_n N_t [(1-f_0) \delta n - (n_0 + n_1 + \delta n) \delta f]$

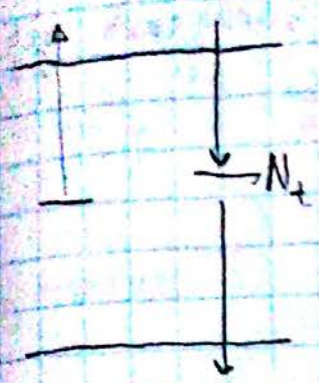
з (4), при вращивании $p, p_0 = 0$, маємо:

$$0 = n_0 + \delta n - n_0 + N_t (f_0 + \delta f - f_0) \Leftrightarrow \delta f = -\frac{\delta n}{N_t}, \text{ підставивши}$$

$$\frac{d(\delta n)}{dt} = g_n - B_n [\underbrace{(1-f_0) N_t}_{\text{збалансує } n_0} \delta n - \underbrace{(n_0 + n_1 + \delta n)}_{\text{рівновага концентрацій носіїв}} \delta n]$$

$$\frac{d(\delta n)}{dt} = g_n - \underbrace{B_n [N_t^0 + n_0 + n_1 + \delta n]}_{R_n \text{ релаксация}} \delta n \Rightarrow \delta n = g_n \tau_n - C_0 e^{-t/\tau_n}$$

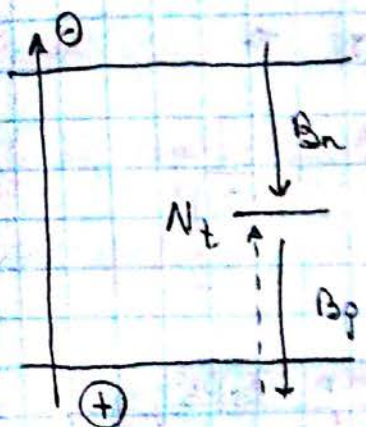
$$\sigma_n = \frac{\delta n}{R_n}, \text{ тогда } \Sigma_n = \frac{1}{B_n [N_n^0 + n_0 + n_n + \delta n]}$$



все выполняется только электроны, все электроны
 почти замораживаются из рекомбинации

§2. Модель Уолли-Рига

при симметричной рекомбинации



а) в условиях сильного возбуждения $\delta n \gg n_0$
 $\delta p \gg p_0$
 $\delta n \approx \delta p$

$$R_n = \gamma_n - g_{nr} = B_n N_t [1-f] n - B_n N_t f n$$

$$R_p = \gamma_p - g_{pr} = B_p N_t p f - B_p N_t (1-f) p$$

нужно $n \gg p, p \gg p_0$

В условиях симметричной рекомбинации $R_n = R_p \Rightarrow$

$$B_n N_t (1-f) n = B_p N_t p f \Rightarrow B_n (1-f) n = B_p p f \Rightarrow f = \frac{B_n}{B_n + B_p}$$

Видно, $1-f = \frac{B_p}{B_n + B_p}$ / коэффициент зависит на 90% от B_p

$B_n \gg B_p$ - замораживание

$B_p \gg B_n$ - опустошение

$$R_n = B_n N_t \frac{B_p}{B_n + B_p} n = N_t n \frac{B_n B_p}{B_n + B_p}$$

ϵ_∞ - так почти в любых условиях сильного возбуждения

$$\epsilon_\infty = \frac{n}{R} = \frac{B_n + B_p}{N_t B_n B_p} = \frac{1}{B_n N_t} \epsilon_{n0} + \frac{1}{B_p N_t} \epsilon_{p0} = \epsilon_{n0} + \epsilon_{p0}$$

При обітвленні зразка з біполярною генерацією, час життя носіїв
накається сумою відновлення носіїв життя електронів і дірок

у випадок рівноважного збудження

$$\delta n \approx \delta p$$

$$R_n = \gamma_n - g_{nr} = B_n N_t [(1-f)n - B_n N_t f n] \quad (1)$$

$$R_p = \gamma_p - g_{pr} = B_p N_t p f - B_p N_t (1-f) p \quad (2)$$

В умовах біполярної генерації $R_n = R_p$

$$B_n n - B_n f n - B_n f n_1 = B_p p f - B_p p_1 + B_p f p_1 \Rightarrow$$

$$f = \frac{B_n n + B_p p_1}{B_n (n + n_1) + B_p (p + p_1)} ; \quad 1-f = \frac{B_n n_1 + B_p p}{B_n (n + n_1) + B_p (p + p_1)}$$

Підставимо у (1) рівняння:

$$R_n = B_n N_t n \frac{B_n n_1 + B_p p}{B_n (n + n_1) + B_p (p + p_1)} - B_n N_t n_1 \frac{B_n n + B_p p_1}{B_n (n + n_1) + B_p (p + p_1)} =$$

$$= \frac{B_n N_t [B_n n n_1 + B_p n p - B_n n_1 n_1 - B_p n_1 p_1]}{B_n (n + n_1) + B_p (p + p_1)} = \frac{B_n B_p N_t [n p - n_1 p_1]}{B_n (n + n_1) + B_p (p + p_1)}$$

Поділимо чисельник/знаменник на $B_n B_p N_t$, маємо:

$$R_n = \frac{n p - n_1 p_1}{\frac{1}{B_p N_t} (n + n_1) + \frac{1}{B_n N_t} (p + p_1)}$$

$$E_t \approx E_f, \quad n_1 \rightarrow n_0, \quad p_1 \rightarrow p_0, \quad \text{маємо}$$

$$R_n = R_p = \frac{n p - n_0 p_0}{\frac{1}{\tau_p} (n + n_0) + \frac{1}{\tau_n} (p + p_0)} = \frac{(n_0 + \delta n)(p_0 + \delta p) - n_0 p_0}{\tau_p (n_0 + \delta n + n_0) + \tau_n (p_0 + \delta p + p_0)}$$

Оскільки $\tau \approx \frac{\delta n}{R}$, а $\delta n \approx \delta p$, то:

$$R_n = R_p = \frac{n_0 + p_0 + \delta n}{\epsilon_{po}(n_0 + \delta n + n_i) + \epsilon_{no}(p_0 + \delta p + p_i)}$$

$$\epsilon = \delta n = \delta p = \frac{\delta n}{R_n} = \frac{\delta p}{R_p} = \frac{\epsilon_{po}(n_0 + \delta n + n_i) + \epsilon_{no}(p_0 + \delta p + p_i)}{n_0 + p_0 + \delta n} \approx \epsilon$$

- формула Шокли-Рида для собственного збудження

Збільшено δn - саме збудження, то:

$$\epsilon = \frac{\epsilon_{po}(n_0 + n_i) + \epsilon_{no}(p_0 + p_i)}{n_0 + p_0}$$

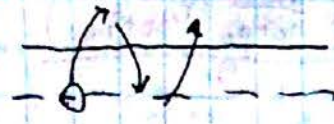
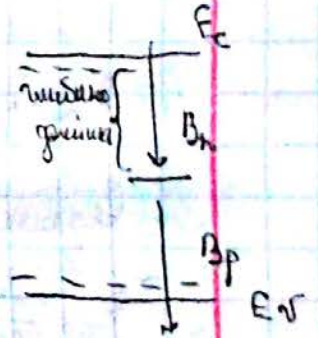
- спрощена формула Шокли-Рида

§ 10. Вплив температури на домішок

Температура домішок визначається n_i та p_i . Знаємо іо:

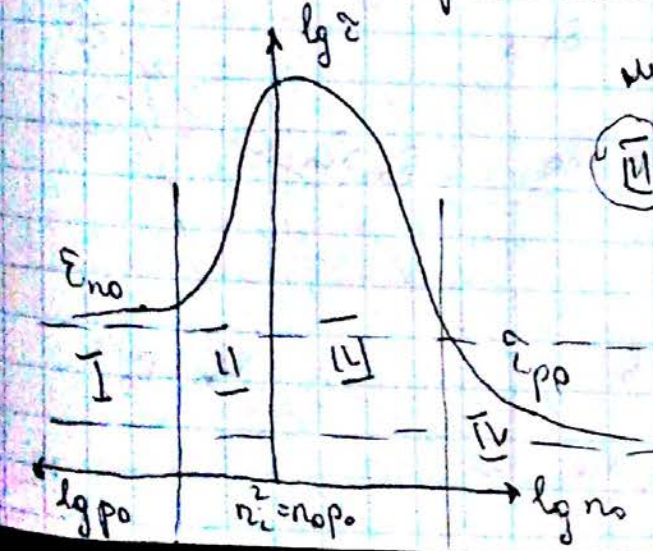
$$n_i = N_c \exp\left(-\frac{E_c - E_t}{kT}\right); \quad p_i = N_v \exp\left(-\frac{E_t - E_v}{kT}\right)$$

Якщо температура зменшується $E_c - E_t \downarrow \Rightarrow n_i \uparrow \Rightarrow \epsilon \uparrow$
 $E_t - E_v \downarrow$



якщо температура становить рівень збудження 10^6 , то ми бачимо концентрацію домішок $N_d = 10^{16}$ шматок рівень - рівень на якому електрон проводить менше часу. Такі рівні контролюють температуру провідності

§ 11. Вплив рівня збудження



максимальний час життя у власному n/p

III. Взяли висхідну n/p , тривали збудження екстремально домішкою.

$$n_0 > p_0, \quad n_0 > p_i, \quad n_0 < n_i \Leftrightarrow$$

$$\epsilon < \epsilon_{po} \left(1 + \frac{n_i}{n_0}\right)$$

при збудженні час життя більше падає.

(IV) $n_0 \gg n_1, n_0 \gg n_2, n_1 < n_0 \Rightarrow \Sigma = \Sigma_{p_0}$ - *свод.*

при больших n_1 и n_2 перефракции или не совсем n_1 и n_2 Σ $\approx \Sigma_{p_0}$

(II) $n_0 > n_1, n_0 > n_2, n_1 > n_0$

$\Sigma = \Sigma_{n_0} (1 + \frac{n_1}{n_0})$

(I) $n_0 \gg n_1, n_0 \gg n_2, n_0 > n_1 \Rightarrow \Sigma_{n_0} = \Sigma$

§12. Статистическая оптика - Риги.

Влияние освещения

$\Sigma = \Sigma_n = \Sigma_p = \Sigma_{p_0} (n_0 + n_1 + \delta n) + \Sigma_{n_0} (p_0 + p_1 + \delta p) \cdot \frac{1}{n_0 + p_0 + \delta n}$ *здесь Σ_{p_0} и Σ_{n_0}*

где $\Sigma_{p_0} = \Sigma_{n_0} + \Sigma_{p_0}$; $\Sigma_{n_0} = \frac{1}{n_0 N_t}$; $\Sigma_{p_0} = \frac{1}{p_0 N_t}$

$\Sigma = \frac{\Sigma_{p_0} \frac{n_0 + n_1}{n_0 + p_0} + \Sigma_{n_0} \frac{p_0 + p_1}{n_0 + p_0} + \Sigma_{p_0} \frac{\delta n}{n_0 + p_0} + \Sigma_{n_0} \frac{\delta p}{n_0 + p_0}}{1 + \frac{\delta n}{n_0 + p_0}} = \frac{\Sigma_0 + \frac{\delta n}{n_0 + p_0} (\Sigma_{p_0} + \Sigma_{n_0})}{1 + \frac{\delta n}{n_0 + p_0}} = \Sigma_0 \frac{1 + \frac{\Sigma_0}{\Sigma_0} \frac{\delta n}{n_0 + p_0}}{1 + \frac{\delta n}{n_0 + p_0}} = \Sigma_0$

$R = \frac{\delta n}{\Sigma_n}$; $\frac{d(\delta n)}{dt} = g_n - R_n = \alpha L - \frac{\delta n}{\tau}$, где L - интенсивность облучения

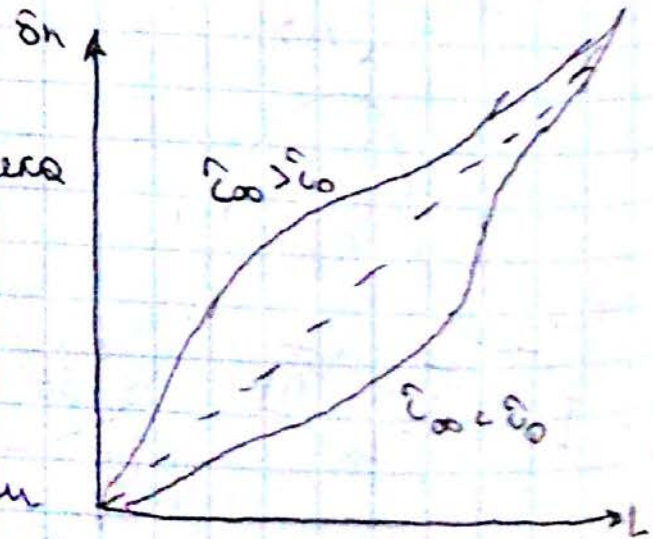
$\delta n = \alpha L \tau$

ЛХХ - масс.-спектральная характеристика

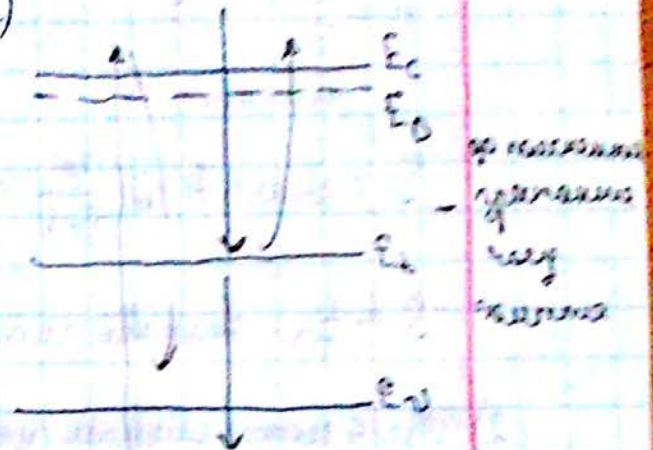
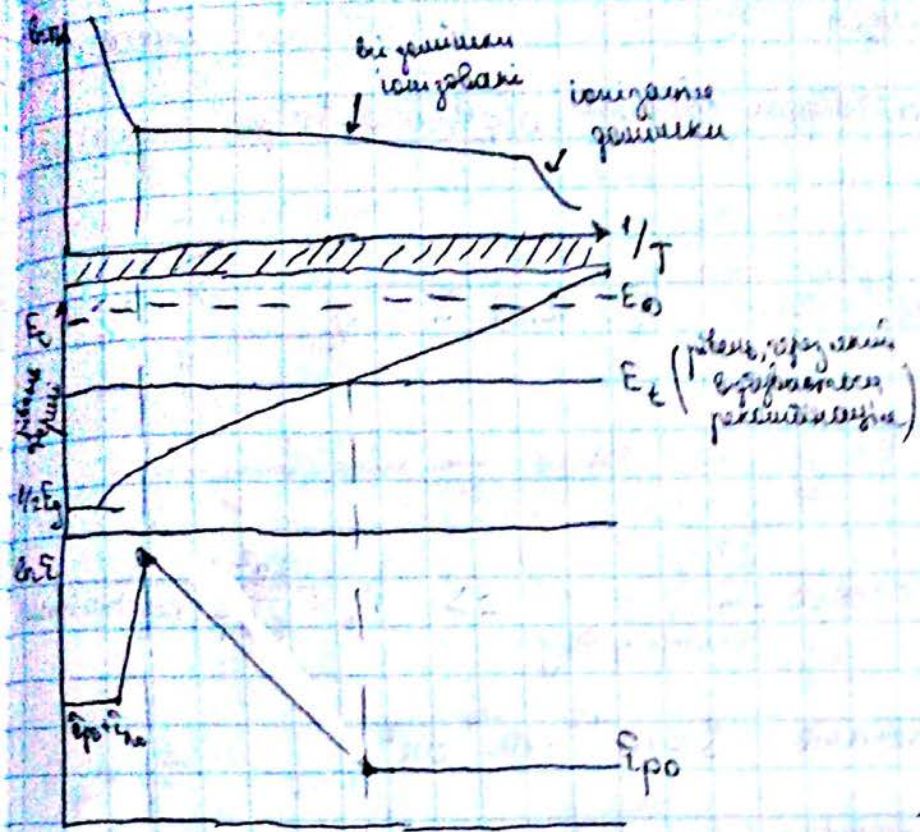
Σ_0 - не замечает вид освещения

Возмущение газу жетте нескелних ривий

- 1. рівень перефракції
- 2. рівень освітлення
- 3. шибка замешання
- 4. вплив температури

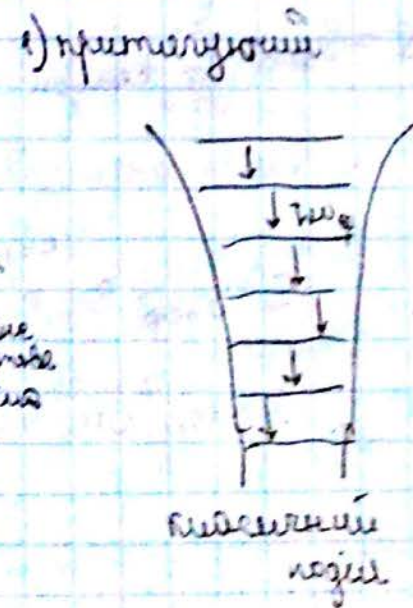
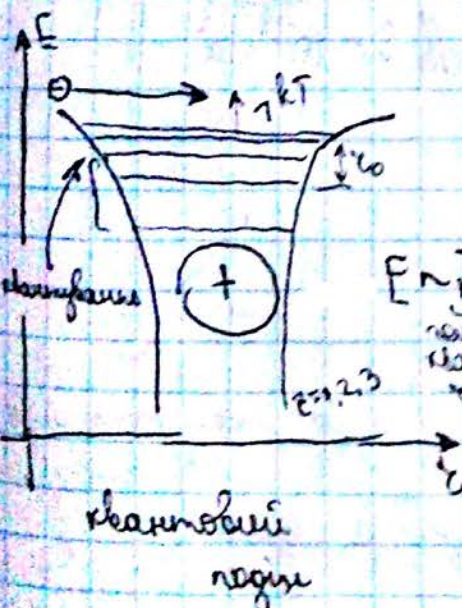


§13. Вивив температурного



§14. Сучасні рівні заповнення. Базальна модель слеса

Властивість, що є владою частинки і поточним часом.



якщо $E_{max} \sim kT$ і від
позначає в сумі вказує на те,
то $kT \approx \frac{30^2}{E^2}$
але зазначають, що енергія
відносно енергії порівнянна.
через фанони.

Умови захоплення електрона:

1. пунівська взаємодія

2. можливість віддачі енергії каскада порівнянне $\tau_{\text{вп}} \rho$

3. $\lambda_{\text{випром}} > \tau_0$

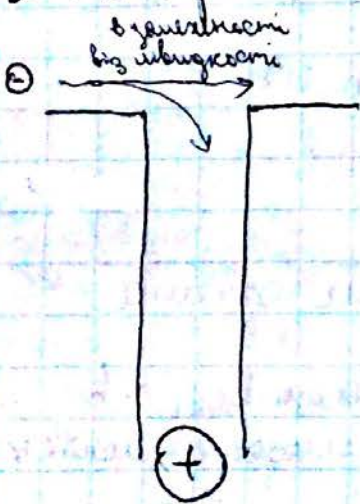
Запишемо поріг захоплення: $S = \text{const} \cdot Z \cdot e^2 \cdot \eta$

$$\eta = \frac{t_{\text{приваби}}}{\tau_{\text{релаксації}}}$$

$$S = \text{const} \cdot Z \cdot \tau_0^2 \cdot \frac{\tau_0}{\sigma_T \tau} = \text{const} \cdot \frac{\tau_0^3}{\tau_{\text{випром}} \tau} \Rightarrow \tau_0 = \frac{Z e^2}{E \tau}, \text{ підставимо}$$

$$S \sim \frac{1}{T^3} \cdot \text{типичні значення} \quad S = 10^{-12} \div 10^{-14} \text{ см}^2$$

2) Це є кінтфайний центри:

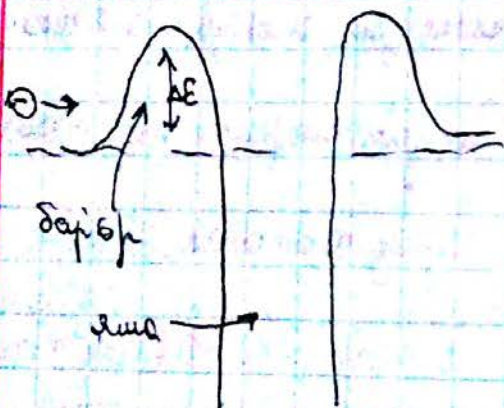


для даного центру $S = S_{\text{центр}} \cdot \eta$

$$\eta = \frac{t_{\text{приваби}}}{t_{\text{випромінювання}}}$$

$$S = S_{\text{центр}} \cdot \frac{\tau}{\sigma_T \tau_{\text{випром}}} \quad // \quad S \sim 10^{-15} \text{ см}^2$$

3) відбиття електронів



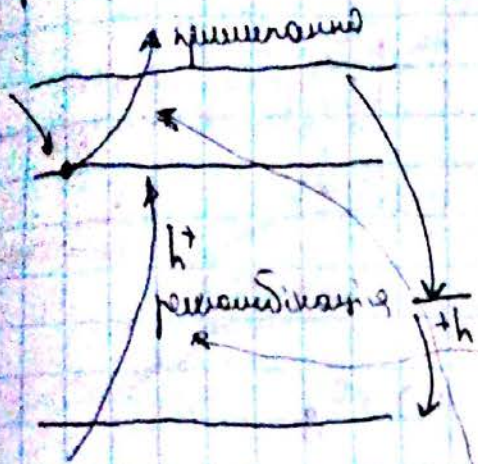
$$S = S_{\text{центр}} \cdot e^{-\Delta E / kT}$$

$$S \sim 10^{-20} \text{ см}^2$$

1) закон приемки

2) закон рекомбинации

критерий κ и κ_n для / дефект поверхности:



$$\kappa = \frac{\text{рекомбинация}}{\text{зворотний вихід}}$$

$\kappa > 1$ - центр рекомбинації

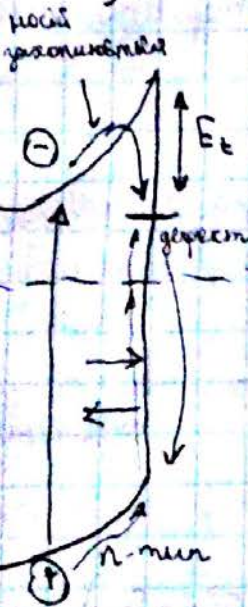
$\kappa < 1$ - центр приймання
заповнений дірок

$$\kappa_n = \frac{B_p p}{B_n N_c e^{-\Delta E_b / kT}} - \text{закон Шотткі}$$

маленький вихід

$$\kappa_p = \frac{B_n n}{B_p N_v e^{-\Delta E_v / kT}} - \text{закон Зігера}$$

§ 15. Поверхнева рекомбінація



$\frac{1}{4} \sigma_0 p_0$ - кількість дірок
поверхня концентрація

Сумарна кількість дірок: $\frac{1}{4} \sigma_0 p_0 = \frac{1}{4} \tau \sigma_0 p_0 + q_{s0}$

$$q_{s0} = \frac{1}{4} (1 - \tau) \sigma_0 p_0$$

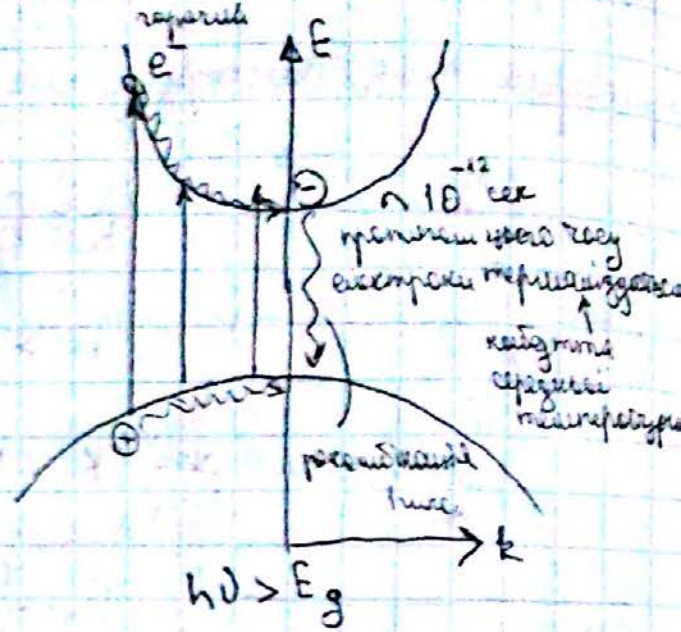
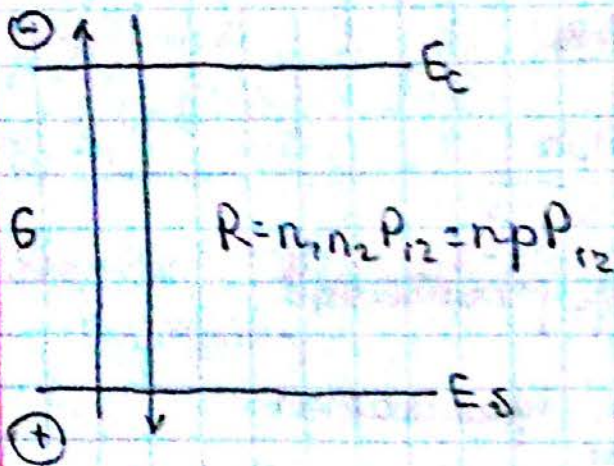
При освітленні $p_0 \rightarrow p$. Знаємо $\Delta q_s = q_s - q_{s0} = \frac{1}{4} (1 - \tau) \sigma_0 p - \frac{1}{4} (1 - \tau) \sigma_0 p_0 =$

$$= \frac{1}{4} (1 - \tau) \sigma_0 \Delta p = S \Delta p$$

Значення поверхневої рекомбінації: $\Delta q_s = S \Delta p$ // $S = \frac{1}{4} (1 - \tau) \sigma_0$ - коефіцієнт поверхневої рекомбінації

Глава 6. Директивні перекоди

§ 1. Вступ

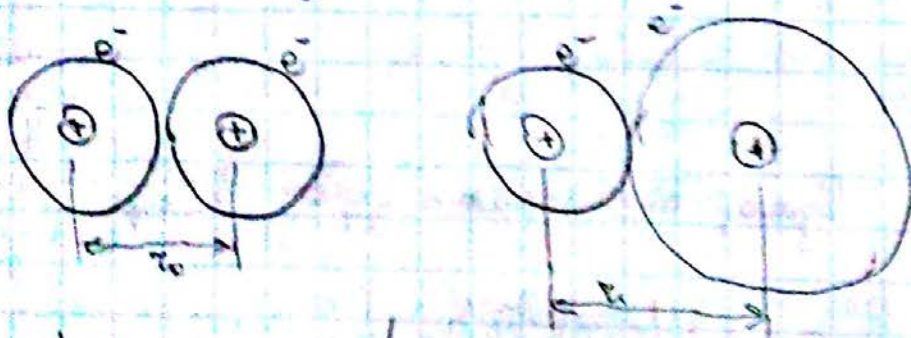


Флуоресценція - це випромінювання в час збудження сигналу

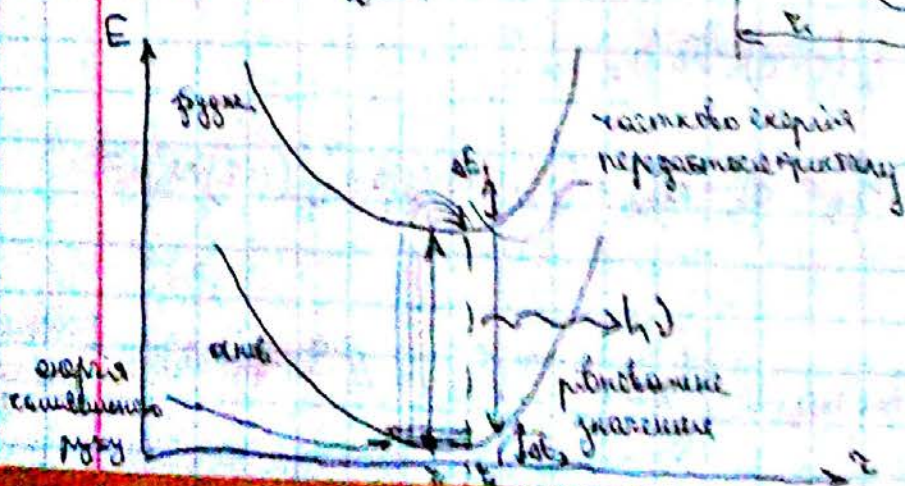
Фосфоресценція - це світіння фосфору

Рентгенівське випромінювання, електронне випромінювання, катодне випромінювання, тубо випромінювання (туба), рентгенівське випромінювання, термолюмінесценція.

§ 2. Стоксовський зсув



збільшені молекули
де і після освітлення



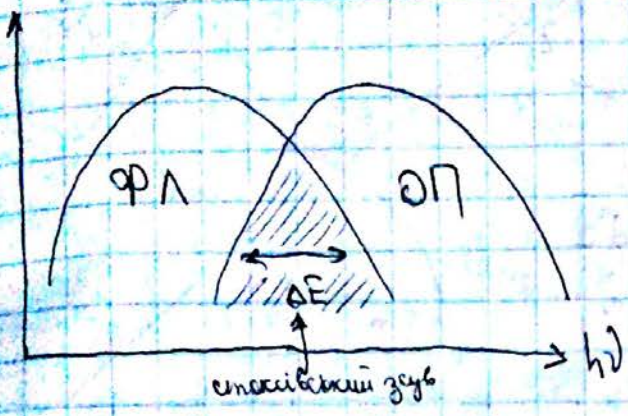
$h\nu = E_1 - E_2 - (\Delta E_1 + \Delta E_2)$ - це σ_{ν}
Катафтор скринь поширення
і швидкості зсуву зсу-
вуть.

Спектр пошканкна машынаўраўняў та ОП.

ФЛ - фоталічкі з'яўляюцца

ОП - оптичны пошканкна

ФЛ злучаны вядома ОП в
сторону з'яўляюцца аднастай.



§ 3. Ваўк-Рудэр - Шлокі

У рэалізацыі чынак $R(\nu)d\nu = P(\nu) \rho(\nu) d\nu$
пачынае вядома спектр
рэалізацыі пошканкна паказанне функцыя кванта

аблічваюцца з'яўляюцца;
 вядома, што маюцца
 выцясняюцца
 аблічваюцца герона міра

$$\rho(\nu)d\nu = \frac{8\pi \nu^2 n^3 d\nu}{c^3 [\exp(\frac{h\nu}{kT}) - 1]}$$

$P(\nu) = \frac{1}{\tau(\nu)}$, дзе $\tau(\nu)$ - час пачынае фотона вядома прыстаў

$$\tau = \frac{1/\alpha(\nu)}{\nu} = \frac{1/\alpha(\nu)}{c/n} = \frac{n}{c\alpha(\nu)} \Rightarrow P(\nu) = \frac{\alpha(\nu)c}{n}$$

Замешаю вядома з'яўляюцца:

$$\alpha(\nu) = \frac{4\pi \nu k(\nu)}{c}$$

$\alpha(\nu)$ - каэфіцыент пошканкна,
 $k(\nu)$ - каэфіцыент эксіцыцы

$$R(\nu)d\nu = \frac{4\pi \nu k(\nu)}{c} \cdot \frac{c}{n} \cdot \frac{8\pi \nu^2 n^3}{c^3} \cdot \frac{1}{e^{\frac{h\nu}{kT}} - 1} d\nu$$

Замешаю $\frac{h\nu}{kT} = u$, оскільки вядома не залежыць вядома рэалізацыі \rightarrow
 а залежыць вядома аблічваюцца

$$\nu = \frac{kT}{h} u; \quad d\nu = \frac{kT}{h} du \quad \text{З'яўляюцца:}$$

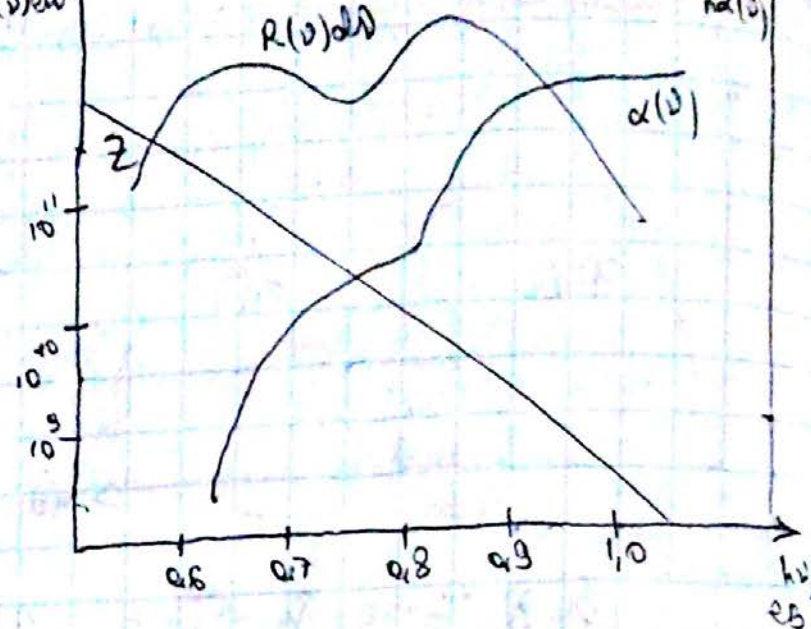
$$\alpha(\nu) = \frac{4\pi}{c} \cdot \frac{h\nu}{kT} \cdot \frac{kT}{h} k(\nu) = \frac{4\pi}{c} \cdot u \cdot \frac{kT}{h} k(\nu) \Leftrightarrow k(\nu) = \frac{\alpha(\nu)ch}{4\pi u \cdot kT}$$

$$R(\nu)d\nu = \frac{4\pi \nu \alpha(\nu)ch}{4\pi u kT} \cdot \frac{8\pi \nu^2 n^3}{c^3} \cdot \frac{1}{e^u - 1} du =$$

$$= \frac{8\pi (kT)^3}{h^3 c^2} \cdot \frac{u^2}{e^u - 1} \cdot \underbrace{n^2 \alpha(u)}_{\substack{\text{характеристика} \\ \text{решетки}}} du$$

конст зависимость от энергии характеристика решетки

Например, Ge при 300K:



§4. Час життя та вірогідність

випромінюваної рекомбінації

$$1) R_c = \frac{n_p}{n_i} R$$

рекомбінація з випромінюванням загальна рекомбінація

$$R \sim \frac{\delta n}{\tau}, \quad \text{н.р. - нерівноважні носії}$$

максимальна рекомбінація при $n_p = n_0 p_0$, і $R_c = R$

$$R_c = R + \delta R = \frac{(n_0 + \delta n)(p_0 + \delta p)}{n_0 p_0} R = \frac{n_0 p_0 + n_0 \delta p + p_0 \delta n + \delta n \delta p}{n_0 p_0} R =$$

мала величина, не турбуємо

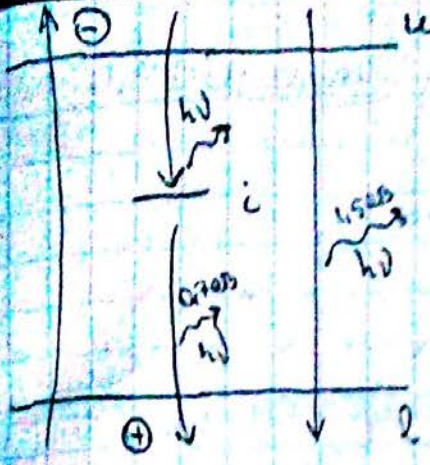
$$= \left(1 + \frac{\delta n}{p_0} + \frac{\delta p}{n_0}\right) R = R + \delta R \quad // \text{ вважати що } \delta n \approx \delta p \text{ при швидкоплинних перетвореннях і } \delta n, \delta p \ll n_0, p_0$$

$$\delta R = \frac{\delta n (n_0 + p_0)}{n_0 p_0} \Rightarrow \tau = \frac{\delta n}{R} = \frac{n_0 p_0}{n_0 + p_0} \cdot \frac{1}{R}$$

при $n_0 = p_0$, $\tau = \frac{n_i}{2R}$; приблизно $\tau = 0,1 - 10$ нс

§5. Квадратний висхід

Покажуть, що рекомбінація має канальний характер випромінювання і кожен рухлий без випромінювання. Введемо середній час життя нерівноважних носіїв:



$$\frac{1}{\epsilon_{exp}} = \frac{1}{\epsilon_0} + \frac{1}{\epsilon_{SB}}, \text{ тобто } \rho \sim \frac{1}{\epsilon}$$

$$R_{SB} \sim R_{bulk} \sim \frac{1}{\epsilon_0}; R_{зв'язан} \sim \frac{1}{\epsilon_{SB}} \sim R_{SB}$$

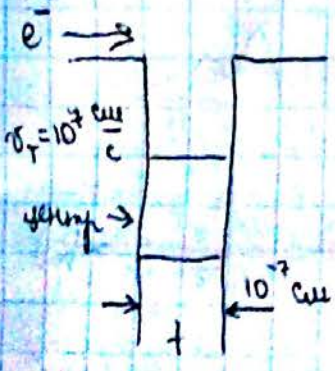
$$\epsilon_{exp} = \frac{\epsilon_0 \epsilon_{SB}}{\epsilon_0 + \epsilon_{SB}}; R_{зв'яз} \sim \frac{1}{\epsilon_{exp}}$$

$$\eta = \frac{R_{зв'яз}}{R_{зв'яз} + R_{генер} + R_{зв'яз}} = \frac{R_{зв'яз}}{R_{зв'яз}} = \frac{1/\epsilon_0}{1/\epsilon_{exp}} = \frac{\epsilon_{exp}}{\epsilon_0} = \frac{\epsilon_{SB}}{\epsilon_0 + \epsilon_{SB}} \text{ - стандартний вихід}$$

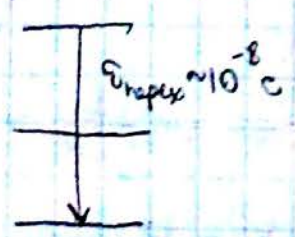
Квантовий вихід: відношення кількості переходів з валентної зони до генерування.

$$\eta = \frac{1}{1 + \epsilon_0/\epsilon_{SB}} \text{ - квантовий вихід внутрішньої}$$

при $\eta \uparrow$ при $\epsilon_0 \downarrow$



$$\tau_{прямому} = \frac{\tau}{\sigma_T} = \frac{10^{-7}}{10^{23}} = 10^{-14} \text{ с}$$



Ймовірність того, що електрон впаде на цю пастку.

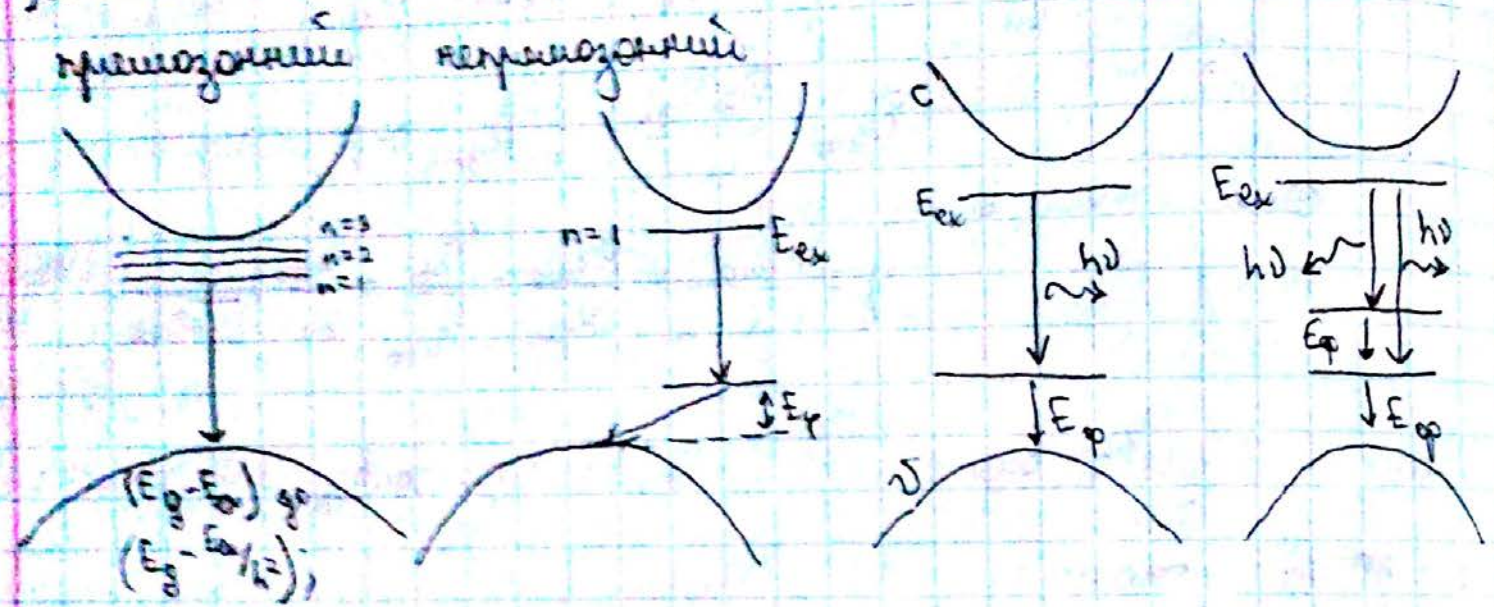
$$\frac{\tau_{прям.}}{\tau_{перех}} = \frac{10^{-14}}{10^{-8}} = 10^{-6}, \text{ тобто електрону треба 1000000 разів пролетіти}$$

над пасткою, щоб він 100% застряв

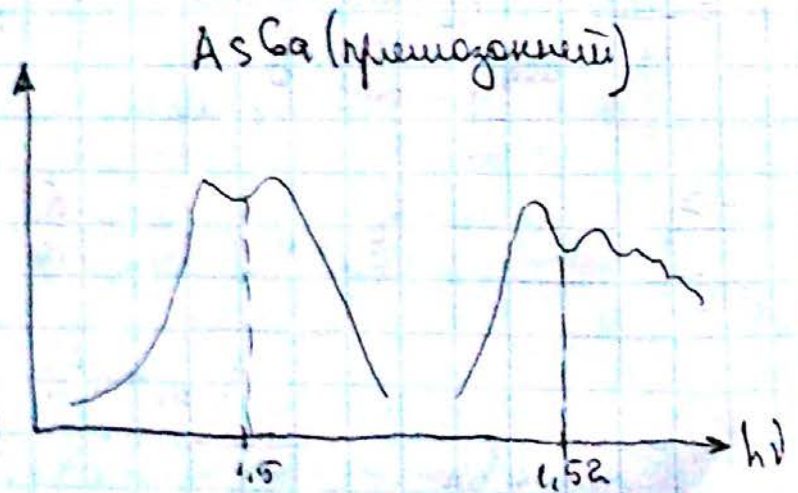
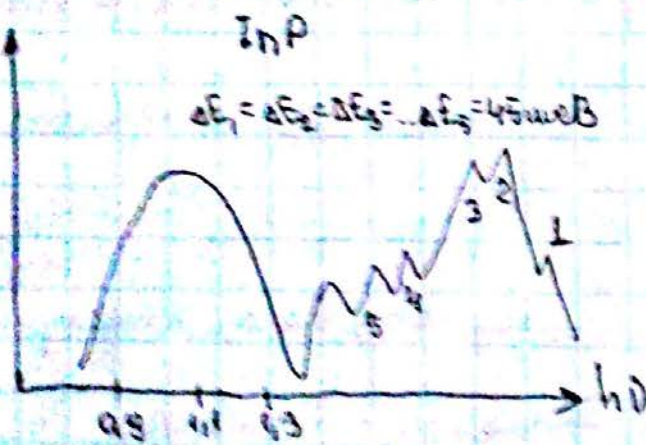
$$\text{Відеріз джерела } S \sim 10^{-15} \text{ см}^2$$

§6. Фундаментальні переходи з випромінюванням

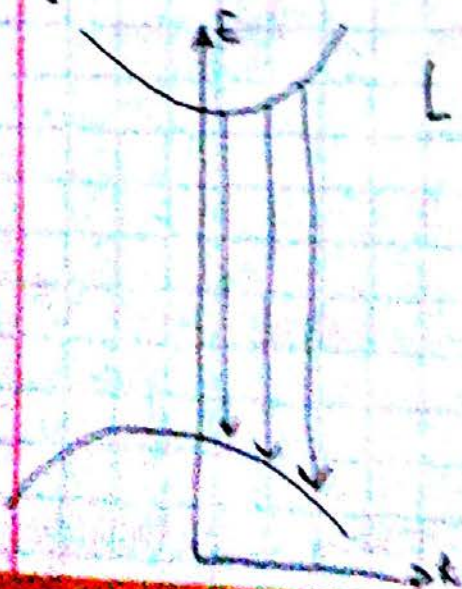
§6.1. Освітлені переходи



Екситонні мінімуми:



§6.2. Фотолюмінесценція (ФЛ) c-v зони

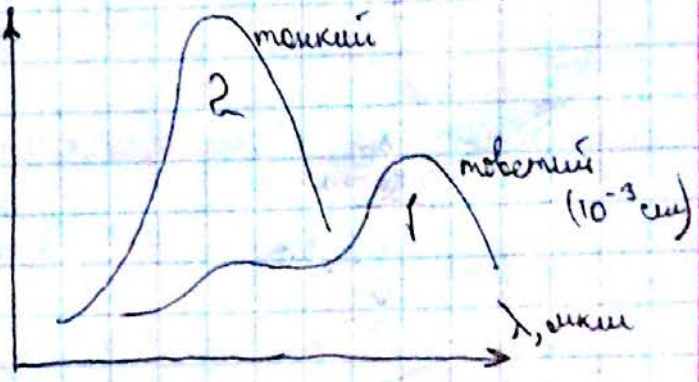
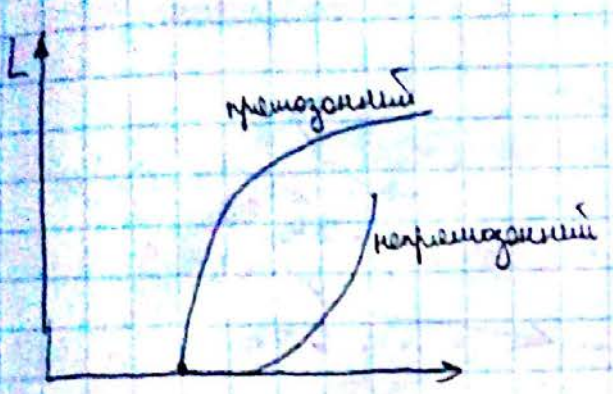
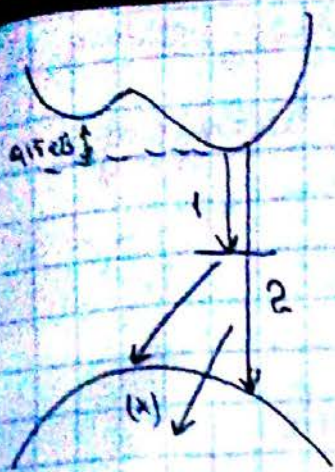


$L \sim B_1 (h\nu - E_g)^{1/2}$; $B_1 \sim A$ - при освітленні прямиозонного Mn

непрямозонний n/p ; $L \sim B_2 (h\nu - E_g + E_{\text{ф}})^2$

(*) при зменшенні температури ця швидкість зменшується, бо потрібне поглинання на фотонах;

перехід 1 замінить від рівня шугавки.

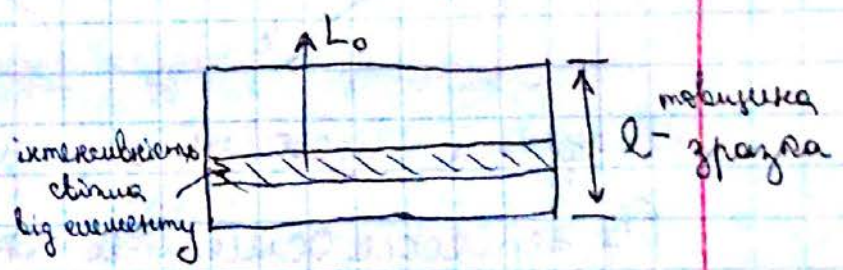


$L_0(h\nu)$ - деяке початкове значення

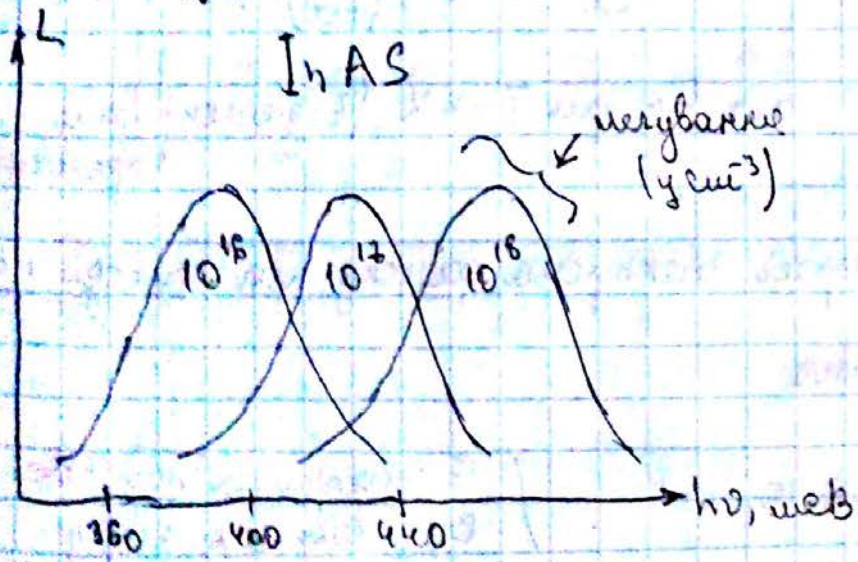
$$L(h\nu) = (1-R) L_0(h\nu) e^{-\alpha(h\nu)l}$$

$$L(h\nu) = (1-R) \cdot \frac{L_0(h\nu)}{e} \int_0^l e^{-\alpha x} dx =$$

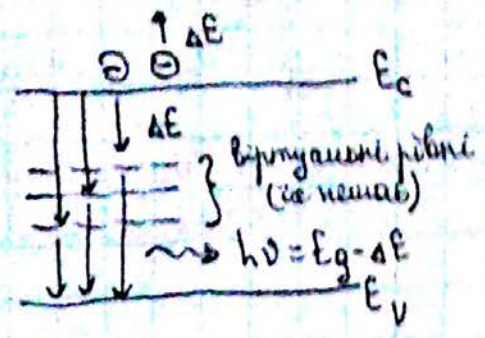
$$= (1-R) \frac{L_0(h\nu)}{e} \cdot \frac{1 - e^{-\alpha l}}{\alpha}, \text{ тоді при } l \rightarrow 0 \quad L \uparrow$$



Ефект Гаушмана-Ілса

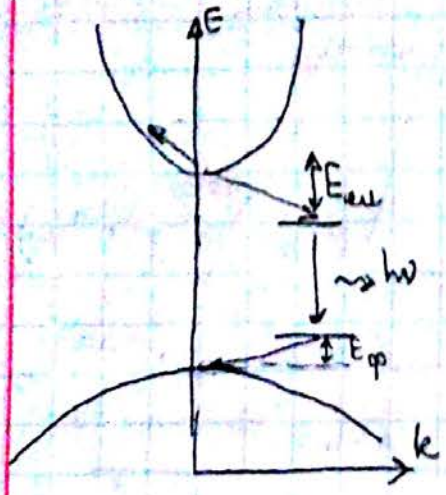


§ 6.3. Випромінювання c-зона v-зона при взаємодії з носієм

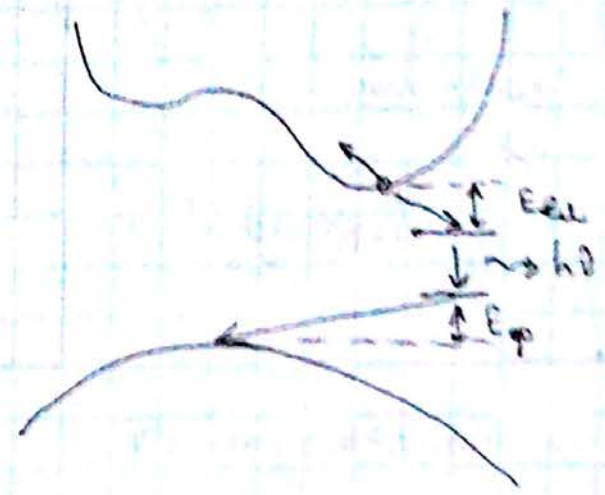


ΔE каже про імовірю електрону.

прямозонний



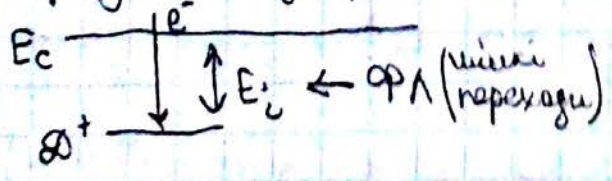
непрямозонний



Ці ефекти призводять до розширеності спектра

§ 7. Зеркало дрифт-зона або зона-дримка

Заряджений фронт і акцентор



Зеркало для такого процесу:

$$S_{\text{змп}} \sim e^{1/2} \left(\frac{m_0}{m^*} \right)^2 \frac{E_i}{T} \sim 4 \cdot 10^{19} \text{ см}^{-2}$$



де β_e при $T = 4\text{K}$ (E-дифузійна довжина)

Можливі передачі енергії електрона фону при переході на др-зон або випромінювання:

$$S_{\text{фони}} \sim \frac{2.56 \Delta E^2 + 5 C_s^3}{\rho Q_0^6 E_i^5 kT} \sim 6 \cdot 10^{-15} \text{ см}^2$$

E_i - деформаційний потенціал
C_s - швидкість звуку

Нейтральні донори і акцептори



$D \rightarrow V \text{ зона}$

$$\frac{1}{\epsilon_{po}} \sim |P_{vc}|^2 N_D \sim 0,8 \cdot 10^{-9} N_D$$

C-зона \rightarrow A

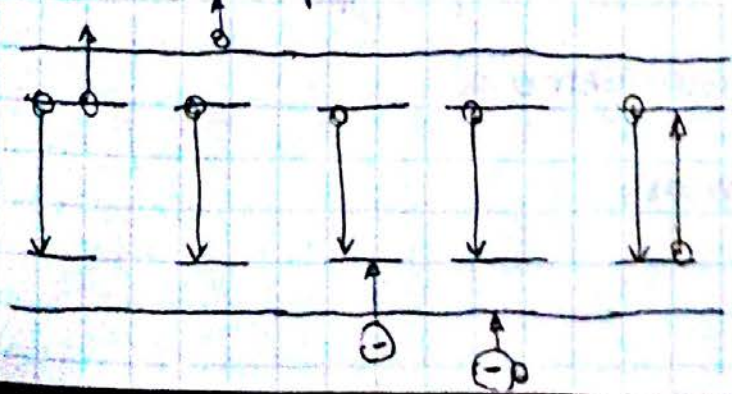
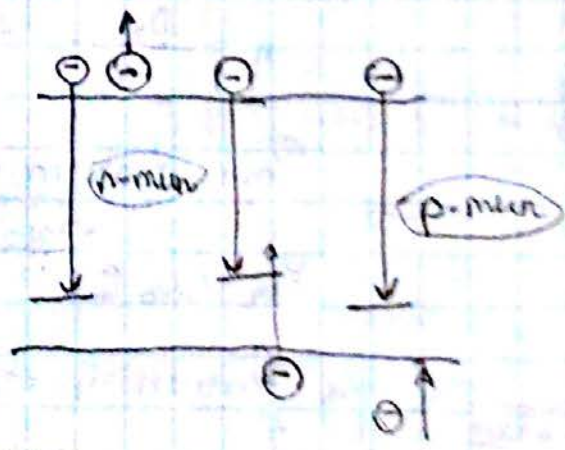
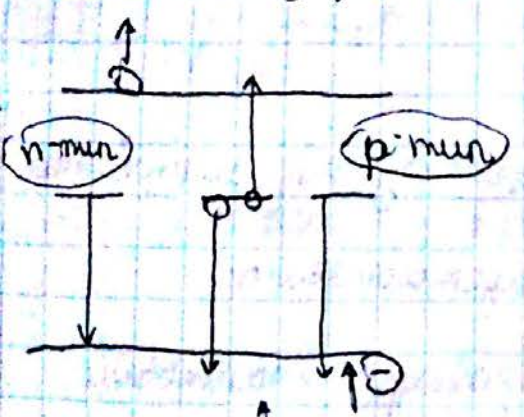
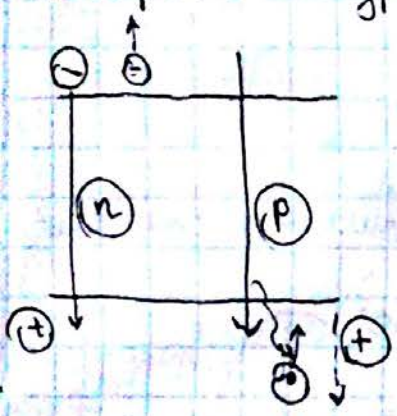
$$\frac{1}{\epsilon_{no}} \sim |P_{vc}|^2 N_A \sim 0,4 \cdot 10^{-9} N_A$$

$N_D \sim 10^{18} \text{ см}^{-3}$; τ вимірюється у наносекундах, ϵ_{min} зокр. домі несе.

§ 9. Оже-рекомбінація (ударна)

Цей процес характеризує з перепадами зона-зона.

енергія переходу видається з 4 частинки (електрону або дірки).



Або треба щоб оше-прелез був?

$$R_n = \gamma_n n^2 p \quad \text{або} \quad R_p = \gamma_n n p^2$$

$$\Sigma_A \sim \left(\frac{E}{kT}\right)^2 \exp\left(\frac{1+2M}{1+M} \frac{E_g}{kT}\right)$$

визначення m_e
та m_p

$$E = \frac{m v^2}{2} = \frac{\hbar^2 k^2}{2m^*}; \quad p = \hbar k = \sqrt{2m^* E}$$

$$E \sim E_g$$

$$R_{\text{оше}} \sim e^{-\frac{E_{\text{оше}}}{kT}}; \quad E_{\text{оше}} \sim E_g$$

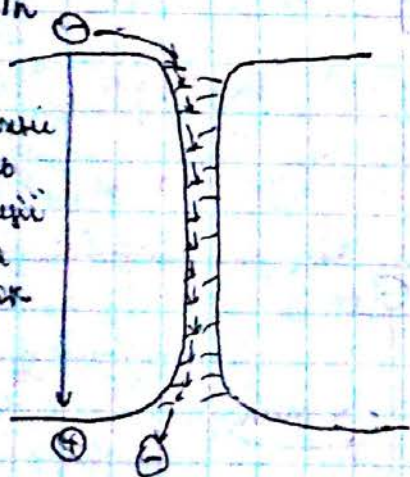
для n-типу $\mu_n \quad \frac{1}{\sigma} = A n p + B n^2$

p-типу $\mu_p \quad \frac{1}{\sigma} = A n p + B p^2$

§10. Зоберженна рекомбінація

потік μ_n

Зона поверхні швидко рекомбінує носіїв на поверхні



Зобержені носії розширюються як потенціальна яма. Задаємо:

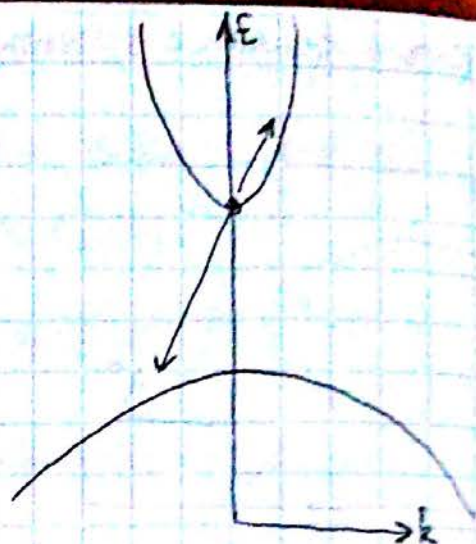
$$\eta = \frac{R_z}{R_z + R_{nr}}$$

Розширюємо процес без випромінювання.

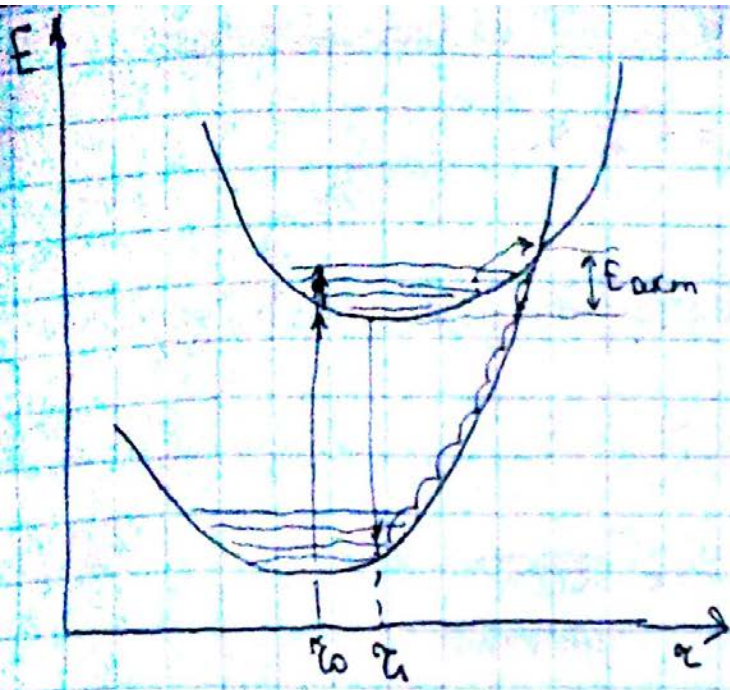
$$R_{nr} = R_{nr0} e^{-\frac{E_{\text{оше}}}{kT}}, \quad \text{підставимо:}$$

$$\eta = \frac{1}{1 + \frac{R_{nr0}}{R_z} e^{-\frac{E_{\text{оше}}}{kT}}} \quad \text{при збільшенні температури евантовий член зменшується.}$$

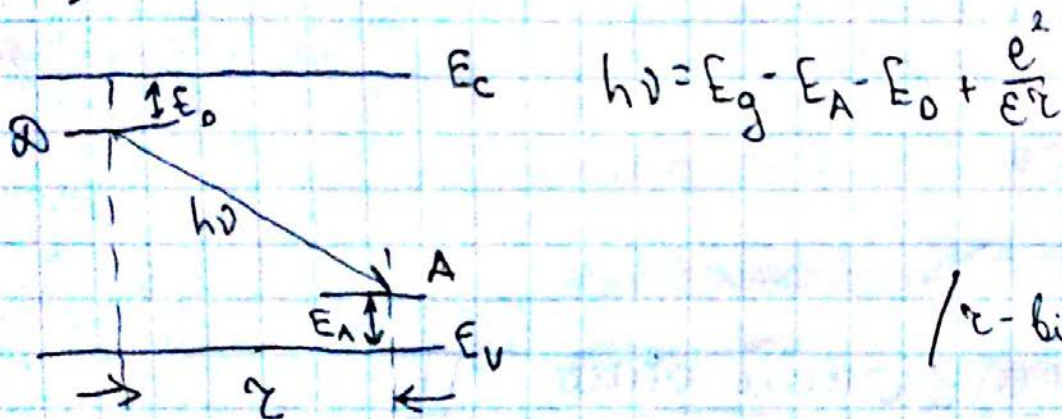
Зоберженна рекомбінація збільшується.



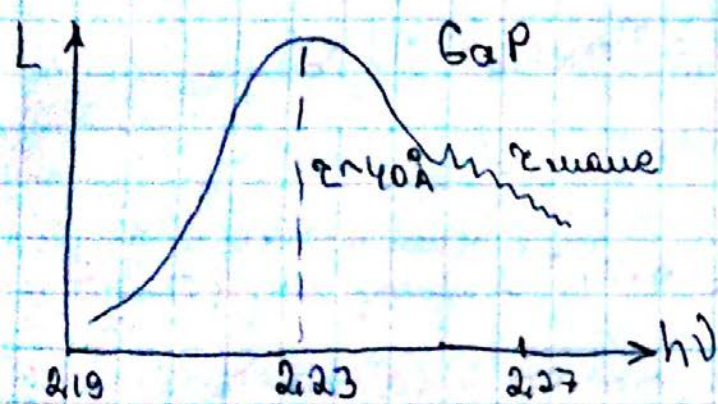
чим менше $E_g \Rightarrow$
більше швидкість оше-прелезу



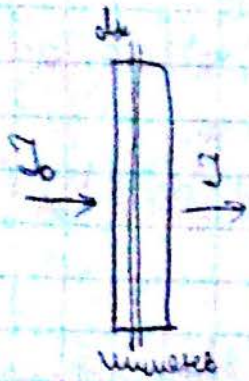
§ 8. ФЛ на донорно-акцепторних парах (ДАП)



/r - відстані між парами



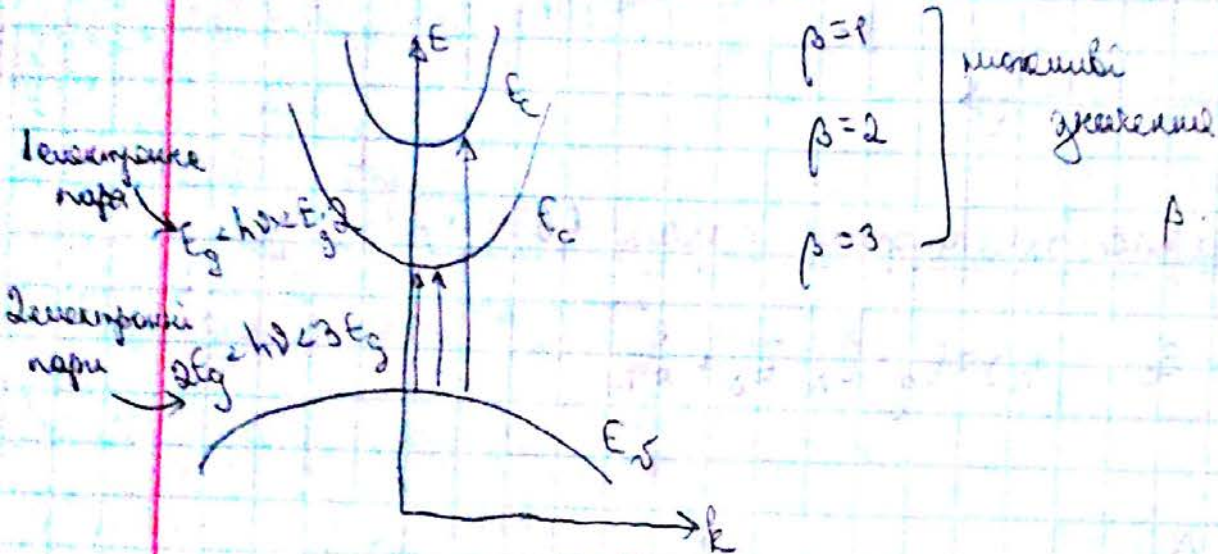
Глава 7. Потенциальность



$$dJ = -\alpha J_0 dx \Rightarrow \frac{dJ}{J} = -\alpha dx$$

коэф. поглощения

направли прѣда вправоувати, ишо: прѣда дѣдѣти.
квантовий вихид ρ



$\beta = 1$ } максимал
 $\beta = 2$ } максимал
 $\beta = 3$ } максимал

§ 1. Феноменологичкий опис ФП.

Лекко зразок не активується $\epsilon_0 = \epsilon_{\mu n} n_0 + \epsilon_{\mu p} p_0$
лише активувати, як вивисити у отпоривності:

$$\epsilon_0 = \frac{r}{R}, \quad \epsilon_0 + \Delta \epsilon = e(\mu_n + \Delta \mu_n)(n_0 + \Delta n) = \left[\begin{array}{l} \text{взаємні} \\ \text{взаємні} \end{array} \right] =$$

$$= \underbrace{e \mu_n n_0}_{\epsilon_0} + e \underbrace{(n_0 + \Delta n)}_n \Delta \mu_n + e \mu_n \Delta n, \text{ тобто у загальному вигляді:}$$

$\Delta \epsilon = e n \Delta \mu_n + e \mu_n \Delta n$

зоданас зумовлений світленням

$\Delta n = \frac{\epsilon_0}{e \mu_n} - \text{нерівноважна концентрація вільних носіїв}$

$$\Delta n = \beta \alpha J_0^2$$

уточнее измерения ϵ с осей, μ - с осей, но $\Delta \epsilon \sim 3$



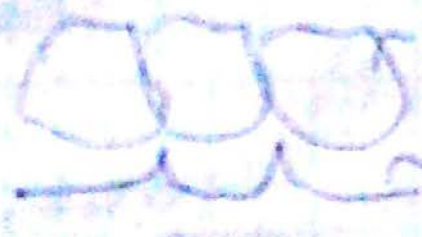
2) $\epsilon = f(\Delta \epsilon)$, измерений у выходы $\epsilon \sim 60^\circ$ для 8×10^6 6×10^6

8×10^6 6×10^6

3) $\Delta \epsilon = \epsilon_{\text{мат}} + \epsilon_{\text{пр}}$

Измеряют удачи при - удачи измерения результатов
- температурные $\epsilon_{\text{пр}}$

температурный материал в удачи измерения

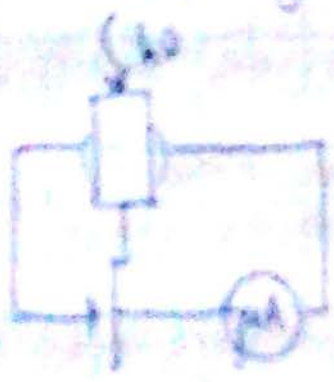


резисторы / измерение $\epsilon_{\text{пр}}$ с осей измерения

- измерительный прибор



$\epsilon_{\text{пр}} \sim 10^6$



у $\Delta \epsilon$ измерений $\epsilon_{\text{пр}}$
а также измерения $\epsilon_{\text{мат}}$
с осей $\epsilon_{\text{пр}}$
по ним измерения результатов

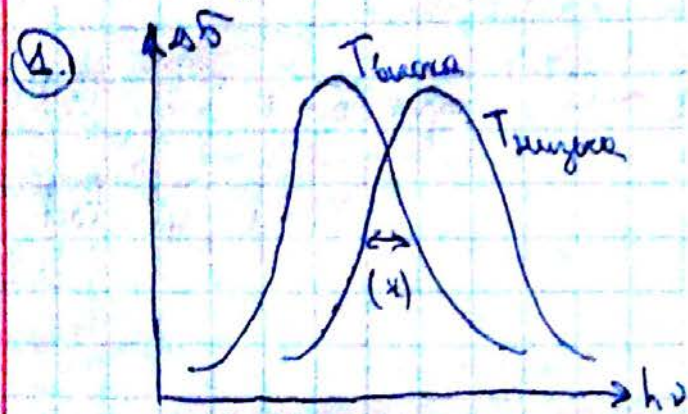
Измеряют выходы измерения $\Delta \epsilon = \epsilon_{\text{мат}} + \epsilon_{\text{пр}}$ без $\epsilon_{\text{пр}}$
измеряют выходы с удачи измерения

§ 2. Фотодиоды ФП

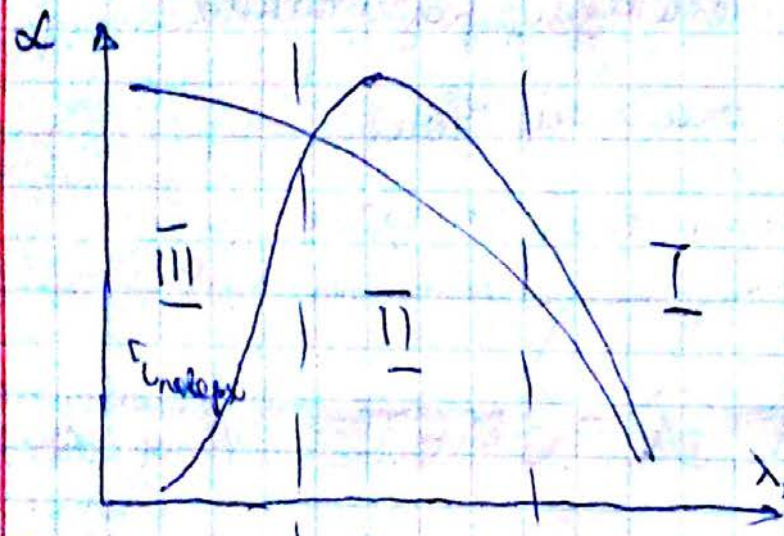
① Спектральный диапазон.

② Увеличение.

③ Фотогенерация.



(x) повышение ΔB при $E_g \downarrow T \uparrow$



Зона поглощения μ_n (невысокая
прямозонный / непрямозонный)

I область $h\nu \geq E_g$

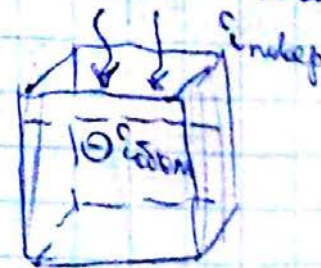
$\alpha \uparrow h\nu \uparrow$

λ , при λ увеличивается, то $\Delta B = e \mu_n \alpha \Delta E$

III область - область поверхностной рекомбинации: $\tau_{пов} \ll \tau_{объём}$

II область - переходная область.

$d \sim \frac{1}{\alpha}$, d - эффективная
глубина проникновения



β, α - характеристики структуры: длина + μ_n .

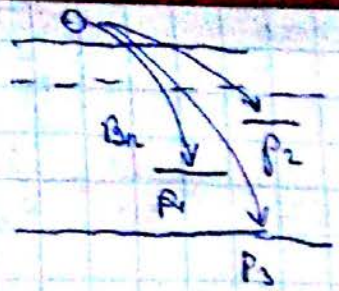
μ, τ - характеристики материала.

$\frac{\Delta B}{\beta \cdot e} = \mu \tau$ // чем больше $\mu \tau$, тем больше фотогенерация

исходные параметры, то

$$\tau \sim \frac{l}{S_n v_T p} = \frac{l}{S_n v_T p}$$

первый законский



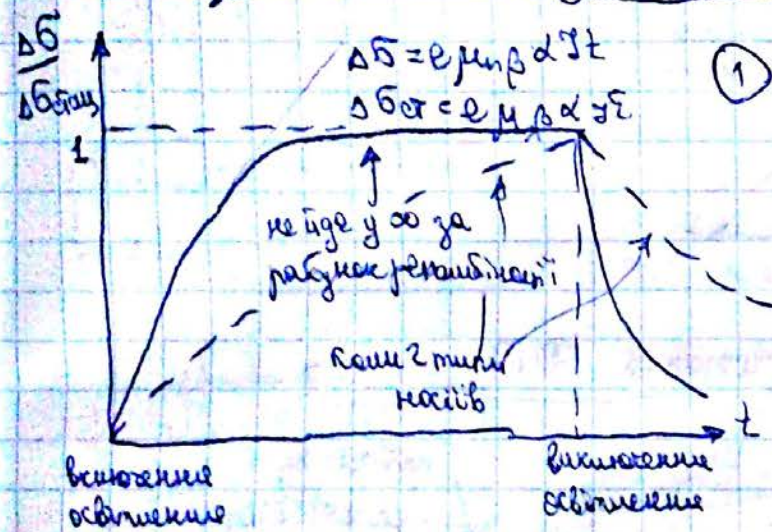
$$\epsilon_{nk} = \frac{1}{S_{nk} v_T p_k} \text{ — где } k \text{ — это уровень.}$$

$$\frac{1}{\epsilon_{nk}} \text{ — инверсия } ; \frac{1}{\epsilon} = \sum_k \frac{1}{\epsilon_k}$$

$$S_{nk} v_T p_k = \frac{1}{\epsilon_{nk}} \quad | \cdot \Delta n \Rightarrow \Delta n S_{nk} v_T p_k = \frac{\Delta n}{\epsilon_{nk}}$$

механизм рекомбинации

§3. Рекомбинация в П

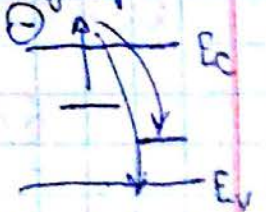


нарастающий (график)

$$\frac{d(\Delta n)}{dt} = \beta \alpha J - \frac{\Delta n}{\tau}$$

- 1) 1 мкс герц
- 2) p-большее
- 3) $p \neq f(j)$

принужденные
длина равновесия



$$\Delta n = \beta \alpha J \tau (1 - e^{-t/\tau})$$

часть: $\frac{d(\Delta n)}{dt} = -\frac{\Delta n}{\tau} \Rightarrow \Delta n = \underbrace{\beta \alpha J \tau e^{-t/\tau}}_{\Delta n_{стат}} \quad / \quad \Delta n_{стат} = \beta \alpha J \tau$

2) $n, p \ll n_0, p_0 \ll \Delta n, \Delta p$

а) $\Delta n \approx \Delta p$, тогда рекомбинация $R \sim B \Delta n \Delta p = B (\Delta n)^2$

$$\frac{d(\Delta n)}{dt} = \beta \alpha J - B (\Delta n)^2 \Rightarrow$$

нарастающее: $\Delta n = \sqrt{\frac{\beta \alpha J}{B}} \operatorname{th}(t \sqrt{\beta \alpha J B})$

$$\frac{e n a q}{\sigma} \Delta n = \sqrt{\frac{\beta \gamma \alpha}{B}} \cdot \frac{1}{t \sqrt{\beta \beta \gamma \alpha + 1}}$$

$$\xi_{\text{min}} = \frac{1}{B \alpha \rho} = \frac{1}{B \alpha n}$$

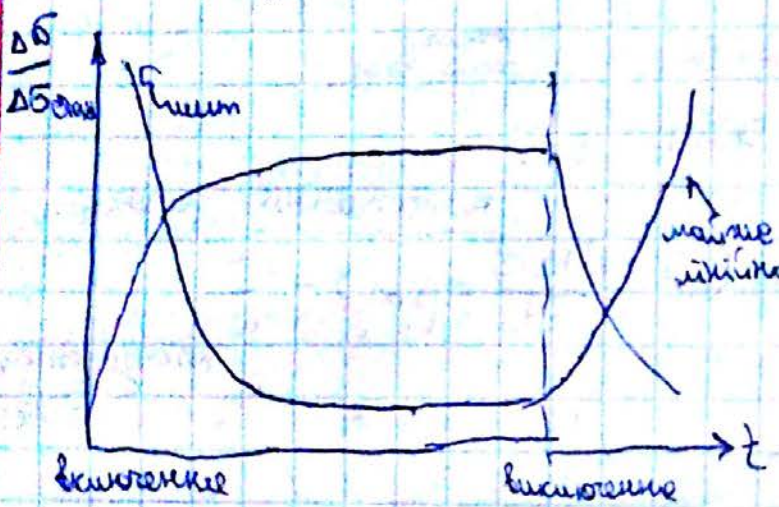
средний ток
жесткие носители

$$= \frac{1}{B} \sqrt{\frac{B}{\beta \gamma \alpha}} \operatorname{cth} (t \sqrt{\beta \beta \gamma \alpha})$$

где
нарастающие

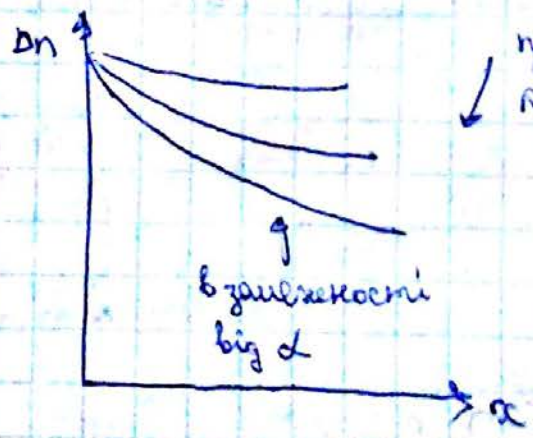
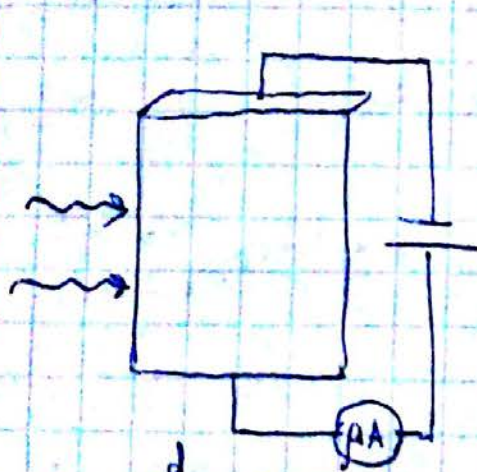
$$\xi_{\text{max}} = \sqrt{\frac{1}{B \beta \gamma \alpha}} [t \sqrt{\beta \beta \gamma \alpha} + 1]$$

где
спаду



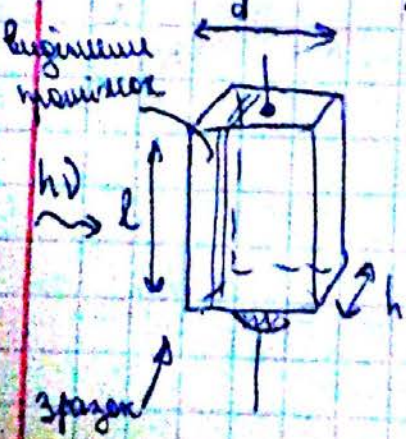
как функции времени
big обитывание.

§ 4. Утечка дрейфовые PN



прямая
рекомбинация

возможности
big α



$$\Delta n_{\text{стан}} = \Delta n e^{-\alpha x} = \beta \alpha \gamma \xi e^{-\alpha x}$$

$$\Delta \sigma = \frac{h}{l} e \mu \beta \alpha \gamma \xi \int_0^d e^{-\alpha x} dx = \frac{h}{l} e \mu \beta \alpha \gamma \xi (1 - e^{-\alpha d})$$

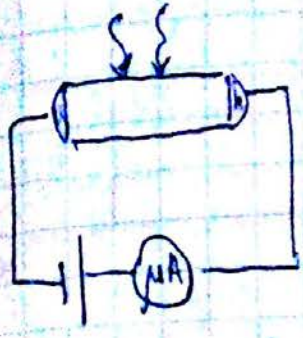
меньше чем при
максимали эпоху
исход Δσ/f(α)
↓
total
меньше
to d'

схема вимірюв.

I схема

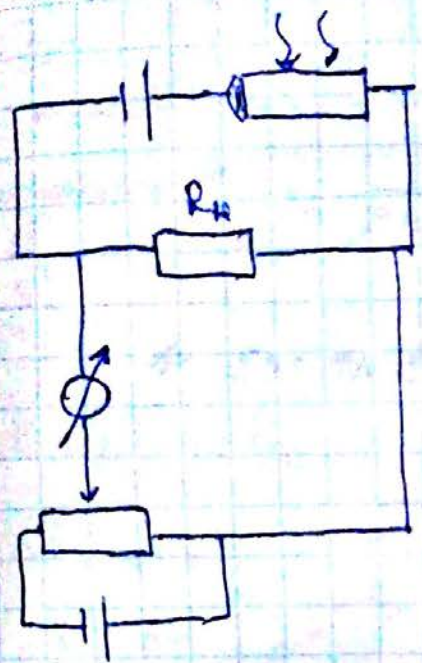
проста схема

$$\sigma = \sigma_0 + \Delta\sigma$$

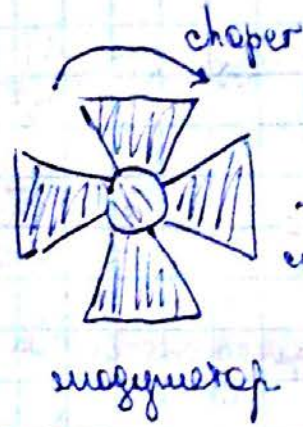
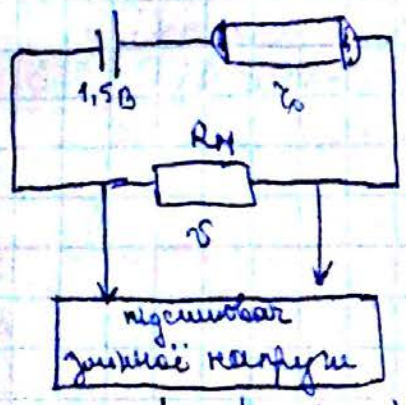


II схема (потенціальна)

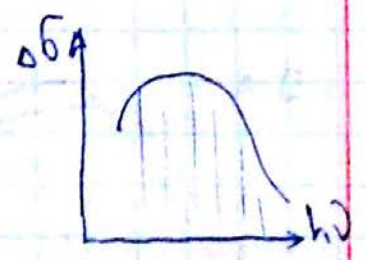
недиск: неможливо автоматизувати



III схема (модульована)



імпульси світла на виході з модулятора



припустимо $\Delta\sigma \sim \sigma$ - необхідна умова. Коли це буде виконуватися?

- 1) постійного поля
- 2) постійного струму
- 3) максимальної чутливості

Рассмотрим резонанс полупроводника

$$\delta = (i_0 - i_T) R_R$$

$$i_0 = \frac{V - \text{напряжение прилагается по узлам}}{R + r_0 - \Delta r} ; i_T = \frac{V}{R + r_0}$$

при освещении вычисляем разность потенциалов

и заменяем i_0 и i_T в δ , получим

$$\delta = \frac{V(R + r_0 - R - r_0 + \Delta r)}{(R + r_0 - \Delta r)(R + r_0)} R ; \Delta r = \frac{(R + r_0)^2 \delta}{VR + (R + r_0)^2}$$

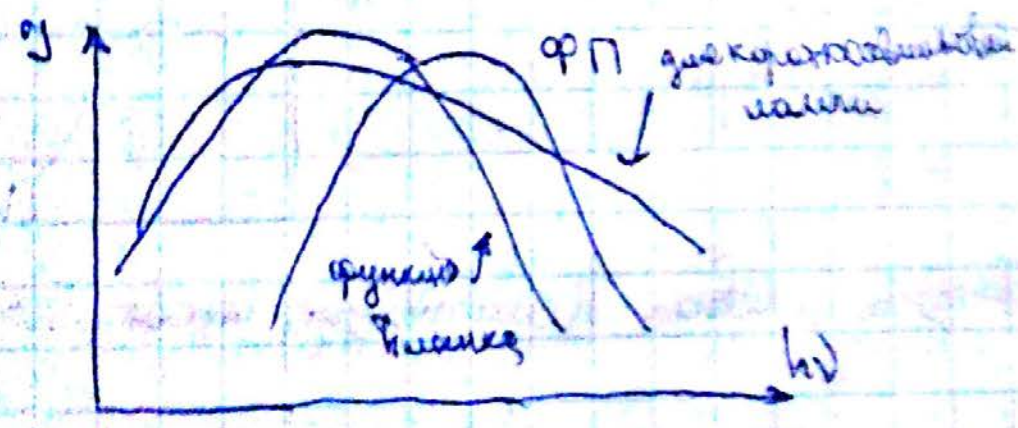
$$\Delta \delta = \frac{1}{r_0 - \Delta r} - \frac{1}{r_0} = \frac{\Delta r}{(r_0 - \Delta r)r_0} \Rightarrow \Delta \delta r_0^2 - \Delta \delta r_0 \Delta r = \Delta r \Rightarrow \Delta r = \frac{\Delta \delta r_0^2}{1 - \Delta \delta r_0}$$

новое значение *старое значение*

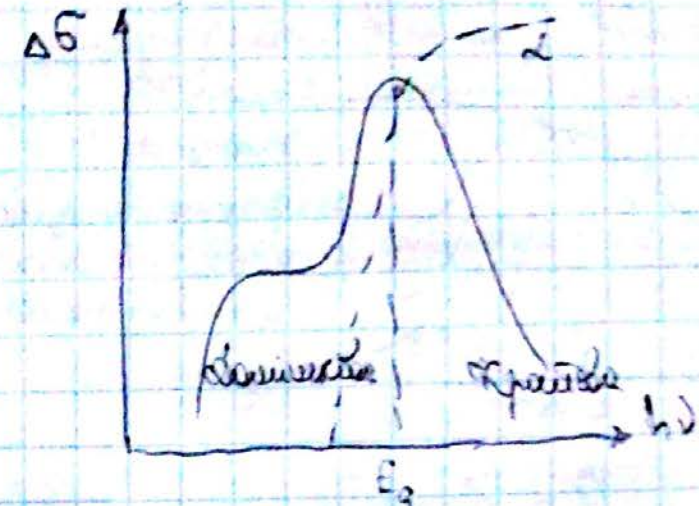
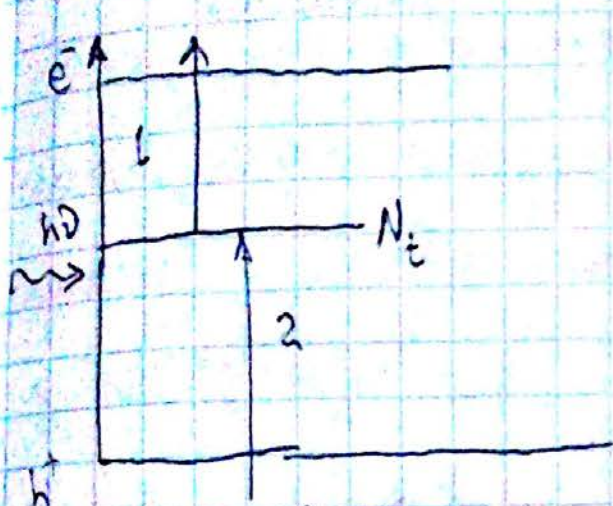
Сформулируем $\Delta r = f(V)$ и $\Delta r = f(\delta) \Rightarrow$

$$\frac{(R + r_0)^2 \delta}{VR + (R + r_0)^2 \delta} = \frac{\Delta \delta \cdot r_0^2}{1 - \Delta \delta \cdot r_0} \Rightarrow \Delta \delta = \frac{\delta (R + r_0)^2}{r_0^2 VR - \delta r_0 R (R + r_0)}$$

выражение, но $R \ll r_0$: $\Delta \delta = \frac{\delta \cdot r_0^2}{r_0^2 VR} = \frac{\delta}{VR}$



§ 5. Домішкові ФП



концентрація домішки
 $N_t \ll N_c, N_v$
 $10^{16} \div 10^{20}$

$$\Delta B = e \mu \alpha B \eta \beta$$

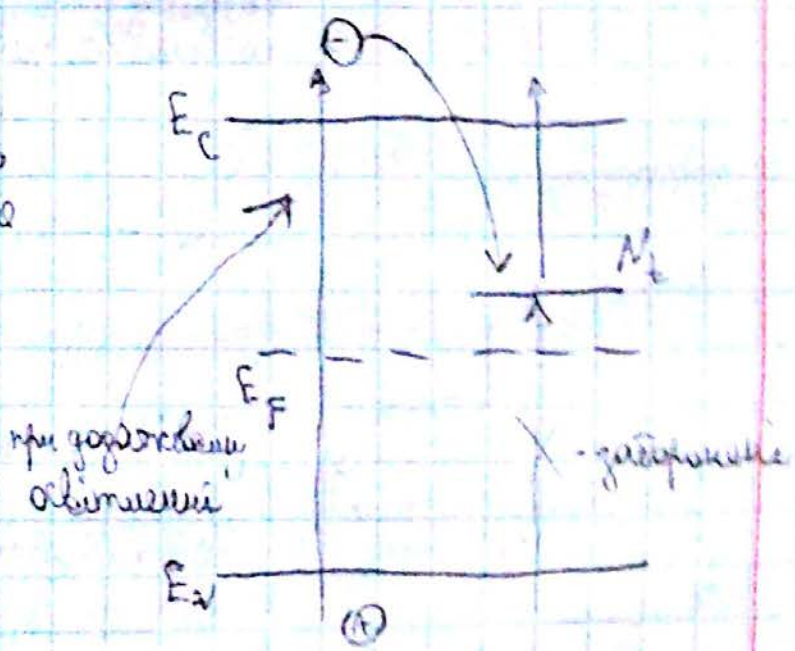
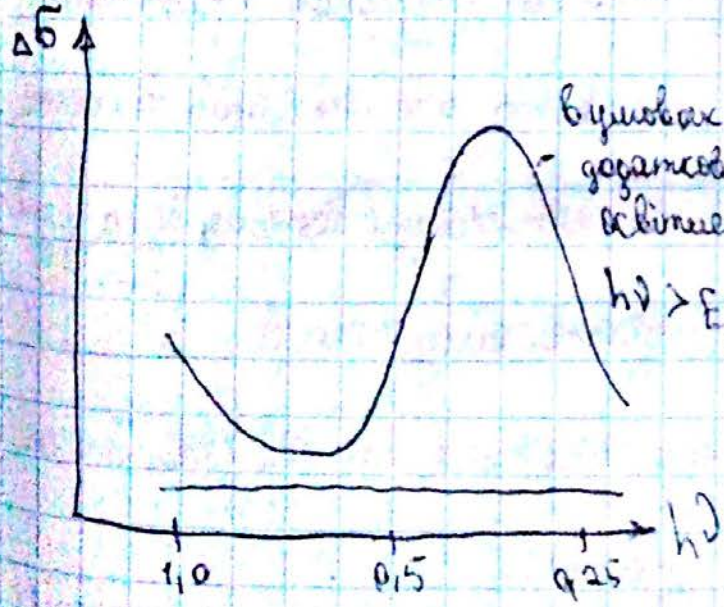
$$\Delta B = \Delta B_e + \Delta B_h \text{ - зона-зона}$$

$$\left. \begin{aligned} \Delta B &= \Delta B_e \\ \Delta B &= \Delta B_h \end{aligned} \right\} \text{ - зона-домішка}$$

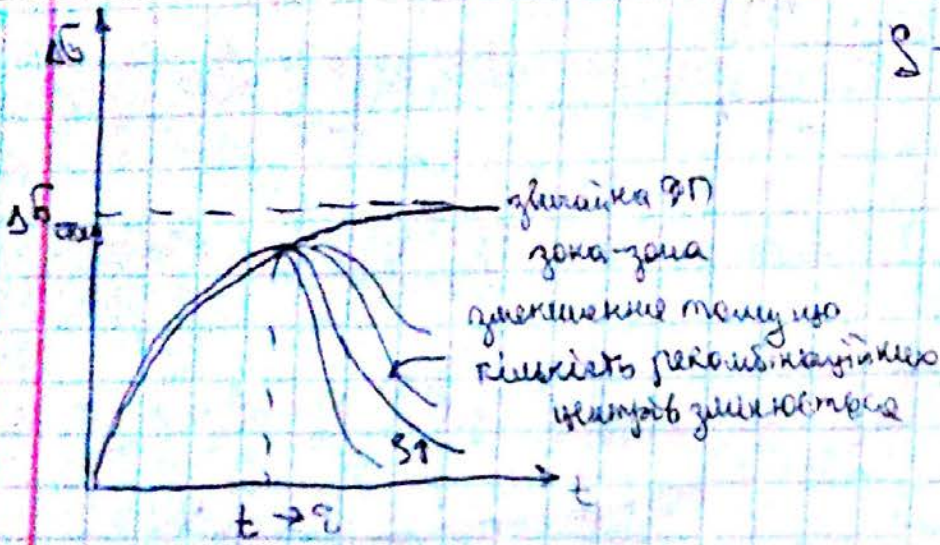
Іноді може бути кавчак.

$$\Delta B = e \mu_e \alpha E_e \eta \beta + e \mu_h \alpha E_h \eta \beta$$

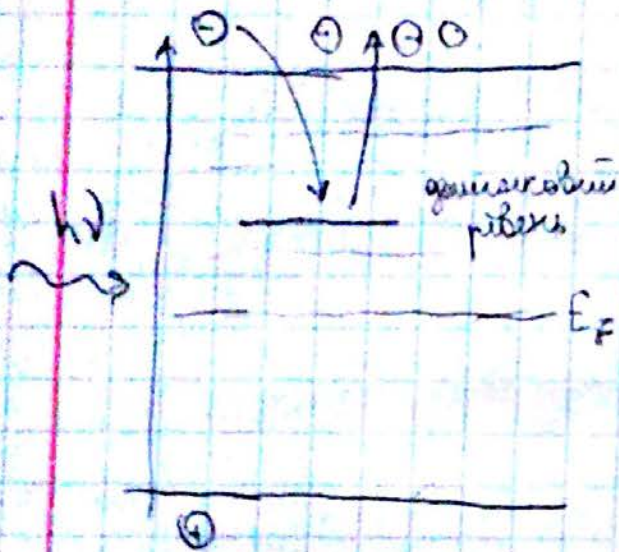
Індукована домішкова ФП: взамимо кристал CdSe



Σ - швидкість поверхневий рекомбінації.



§6 Інтерстиціальна ФП

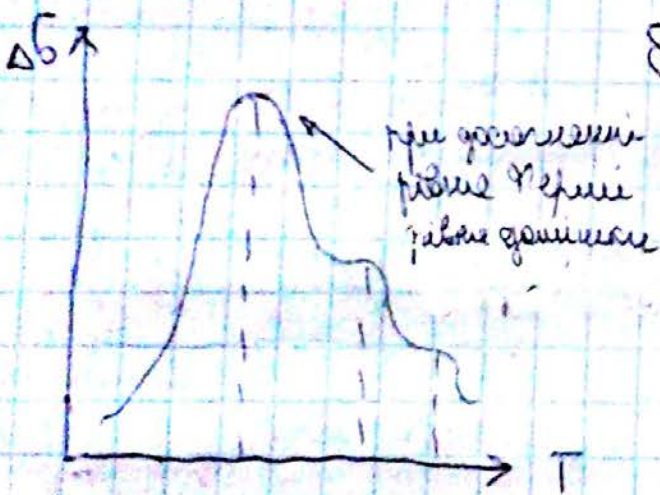


$$\Delta B = e \mu n$$

при високій T рівень Фермі наближається до середини забороненої зони

$$n = N_c e^{-E_F/kT}$$

$$E_t = E_F = kT_M \ln \frac{N_c}{n_{max}}$$



Емпірична формула: $E_t \sim \Delta kT$ стає

Напружені зразки пурди або шпатель або металеві в конуса микротехнології системи ідея у рівноважному стані.

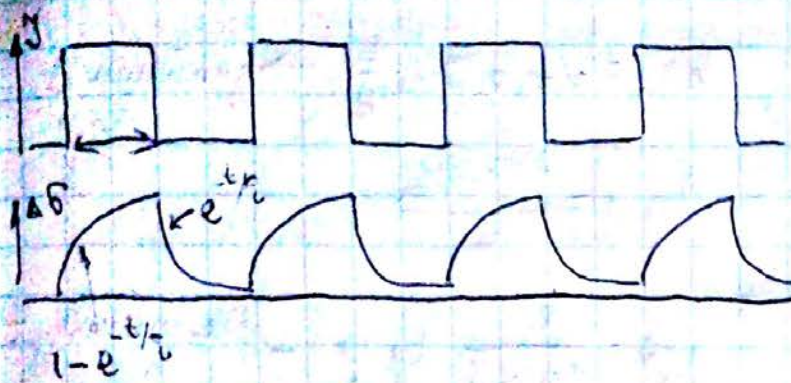


СВЧ добре поглинається на коїлах. Там он розміщує, зразок.

Земілов (кошпаків)

§7. Частотна залежність ФП

$\Delta B = e^{-t/\tau}$ - це можна розглядати як зворотну величину у правій частині формули Особливо використовується для визначення τ і ρ . При вимірюванні заводи присутні шуми ΔB з іх "ff-шуми".



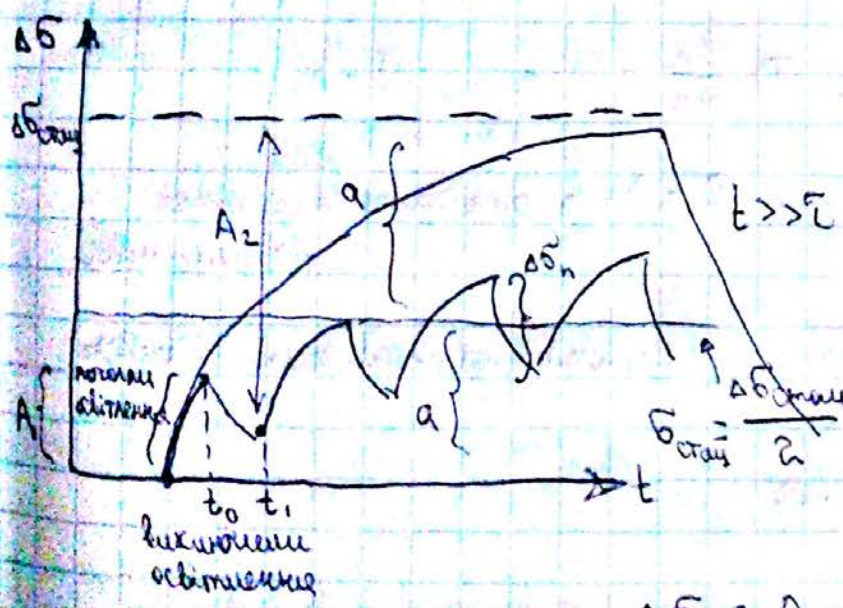
τ - інтенсивність освітлення

але практично з випарками, коли $t \gg \tau$. Тоді напру-

вді, ми не знаємо, яке спів-

відношення між величинами t і τ . Виходило, що результати вимірювань, отримані виміреною залежністю буде правдивою.

Час імпульсу - довільний.



показали $\Delta B_{стат} = A_0$

$\Delta B = A_0 (1 - e^{-t/\tau})$ - початок освітлення

$\Delta B = A_1 e^{-t/\tau}$ - шквотили освітлення

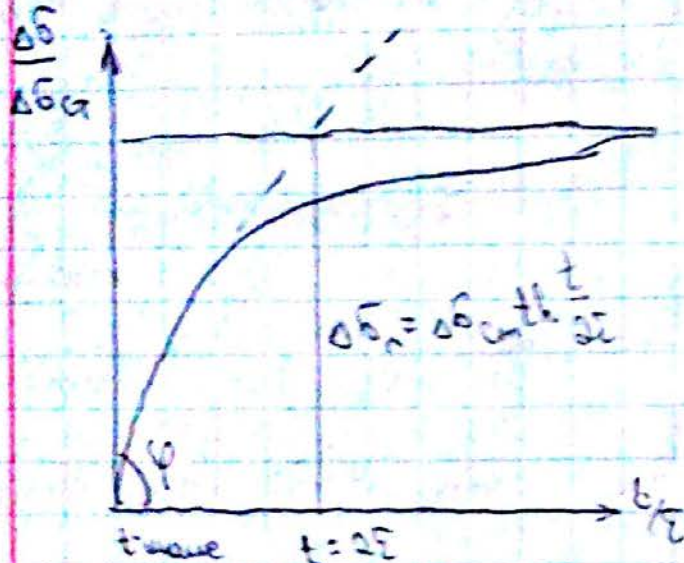
$\Delta B = A_2 (1 - e^{-t/\tau})$ - знову вимірювання

$\Delta B_n = A_0 - a$

Можемо записати, що $a = (A_0 - a) e^{-t/\tau} \Leftrightarrow a = A_0 e^{-t/\tau} - a e^{-t/\tau} \Rightarrow$

$$a = A_0 \frac{e^{-t/\tau}}{1 + e^{-t/\tau}}, \text{ приближенно } \approx \Delta \sigma_n \rightarrow$$

$$\Delta \sigma_n = A_0 - 2A_0 \frac{e^{-t/\tau}}{1 + e^{-t/\tau}} = \frac{1 + e^{t/\tau} - 2e^{-t/\tau}}{1 + e^{-t/\tau}} A_0 = A_0 \frac{e^{t/2\tau} - e^{-t/2\tau}}{e^{t/2\tau} + e^{-t/2\tau}}$$



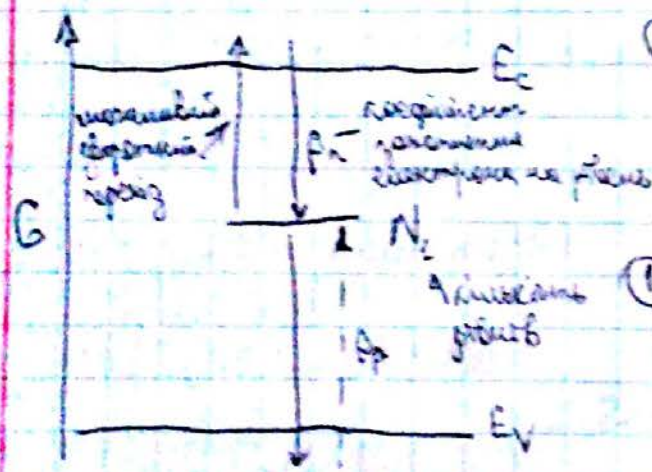
$$\Delta \sigma_n = A_0 \frac{1}{2} = \alpha \beta e^{\gamma \mu} \frac{1}{2} = \text{эксперимент}$$

$$\Delta \sigma_n = \alpha \beta e^{\gamma \mu} \frac{1}{2} \rightarrow \text{знаем } \beta$$

$$\text{tg } \varphi = \frac{\Delta \sigma_n / \Delta \sigma_0}{t/\tau}$$

$$\beta = \frac{2}{e^{\mu} \alpha \gamma} \text{tg } \varphi \text{ — при малых } t$$

§8 Огнозетрора модел



$$G = \alpha \beta \rho \text{ — рекомбинация}$$

Оценимо гинну концентрацию носителей

$$\textcircled{1} \frac{dn}{dt} = G - n \beta \rho n (N_1 - n_1)$$

$$R = G n \rho \text{ — гинна } \Delta \text{ — матрица возмущения}$$

n_1 — кубично законченых электронов (законченых уровней)

$$\textcircled{2} \frac{d\rho}{dt} = G - \beta \rho n_1 \text{ — гинна } \rho \text{ — гинна}$$

$$\textcircled{3} \frac{dn_1}{dt} = n \beta \rho n (N_1 - n_1) + \beta \rho n_1 \text{ — гинна матрица на гинна возмущения}$$

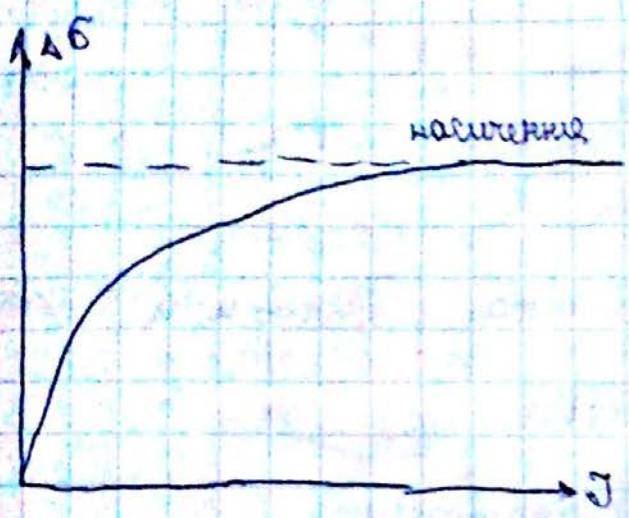
$$\textcircled{4} n = \rho + (N_1 - n_1)$$

$$\begin{cases} G = n p_n (N_1 - n_1) \\ G = \beta_p p n_1 \\ n = p + (N_1 - n_1) \end{cases}$$

a) n -мале, $n \approx N_1 - n_1 \Rightarrow G = n^2 \beta_n \Rightarrow n = \sqrt{G \beta_n^{-1}}$ - маємо

ефективно називається напівеква імак-амперна характеристика

ΔX -мак-амперна характеристика



б) n -велике, $\beta_n \ll \beta_p$, маємо $N_1 - n_1 \approx N_1$

$$G = n \beta_n N_1$$



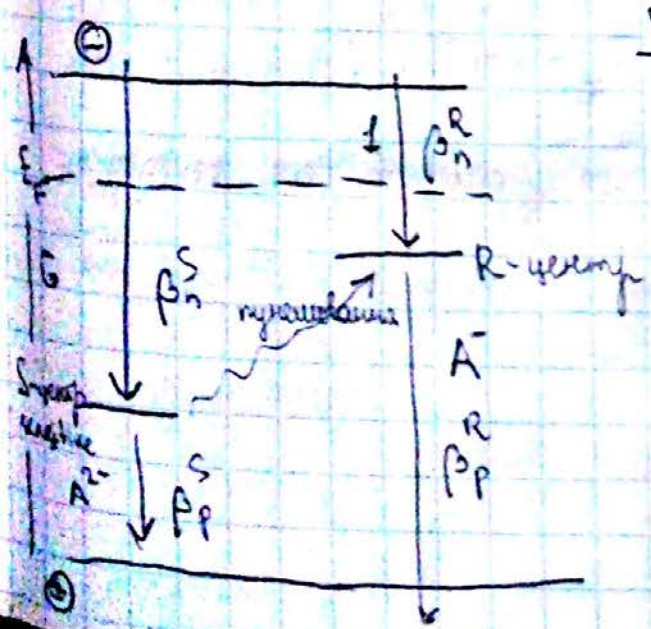
§ 9. Ефекти для 2-х

центрових рекомбінацій

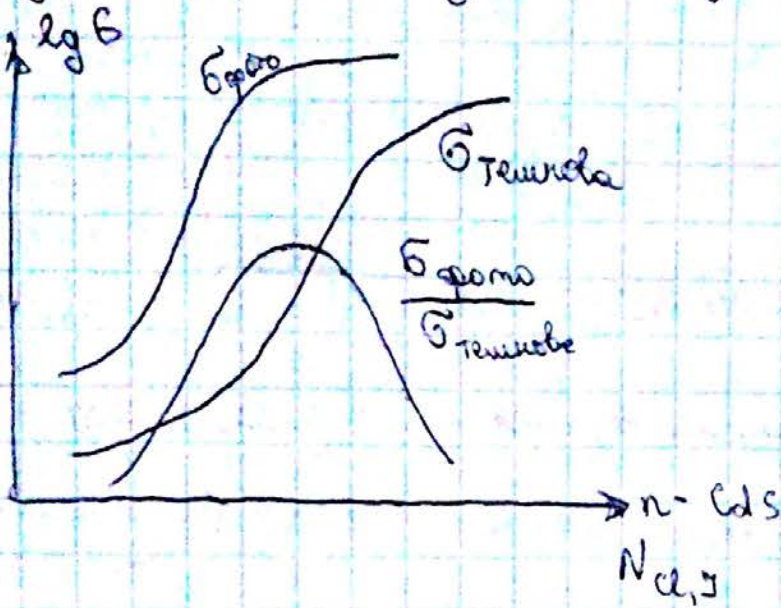
Вважаємо, що маємо в центрі операції носіїв.

Нехай $\beta_p^S \approx \beta_p^R$, а $\beta_n^S \ll \beta_n^R$

Коефіцієнт заповнення до R центру більший ніж в S (з закону Рундана)



1) остваленне (актїзацїя) - пїзвышэнне чутлївасці



$Cd \rightarrow$ заместь S
донор

$$\Delta \beta = \beta_{ф} = e \mu \tau \int \beta \alpha$$

Чому зростае β ? β_0 калї

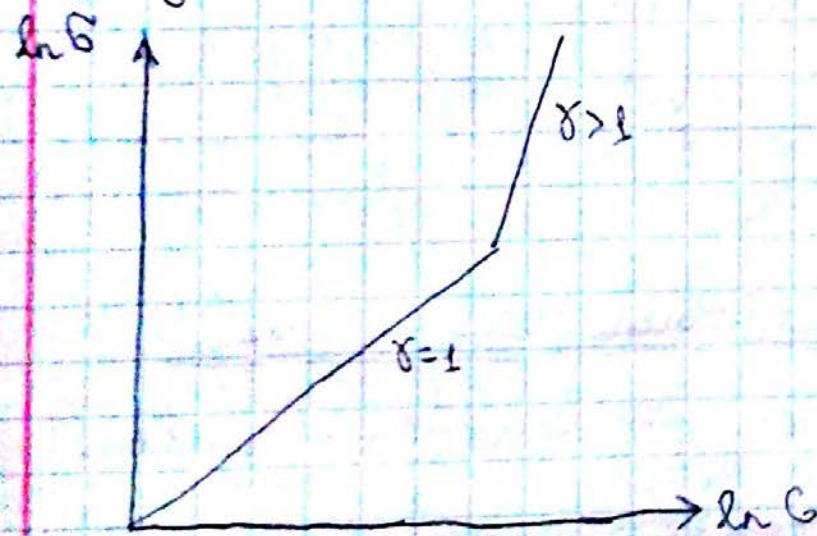
$[Cd] \uparrow \Leftrightarrow N_{Cd} \uparrow$ то
концентрацїя Cd
зростае

внїкаюць: - доноры Cd заместь S
- A^{2-} , Cd заместь Cd

β павялічыць пудлївацьне электрона з β электрона P -зону.

лїлї пелуцьно, а β \uparrow павялічыць носїв.

2) надїяна $\varphi_{П}$ - пры наявнасці пелуцьна.



Максїмумо $\beta \sim G^\delta$

Лїнїевїй выпадок $\delta = 1$, а γ

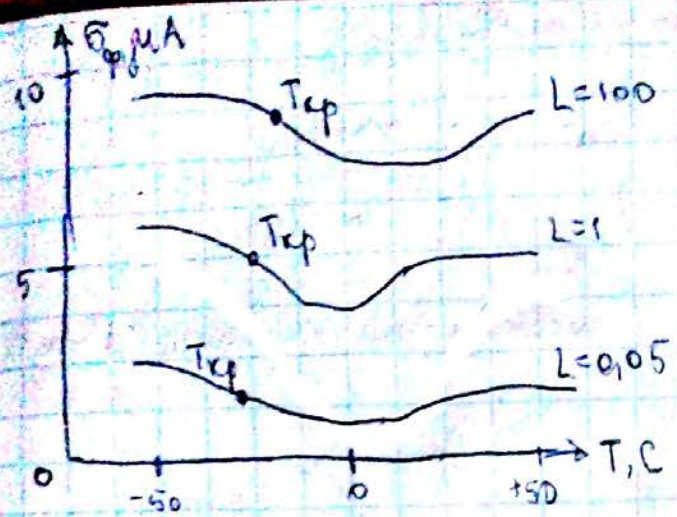
кас $\delta > 1$ Чому?

$$\beta_{ф} = e \mu \tau \int \beta \alpha$$

β_0 зростае час актївацїі.

3) тэрмічне павялічэнне

$T_{ф}$ будзе калї $\beta \downarrow$

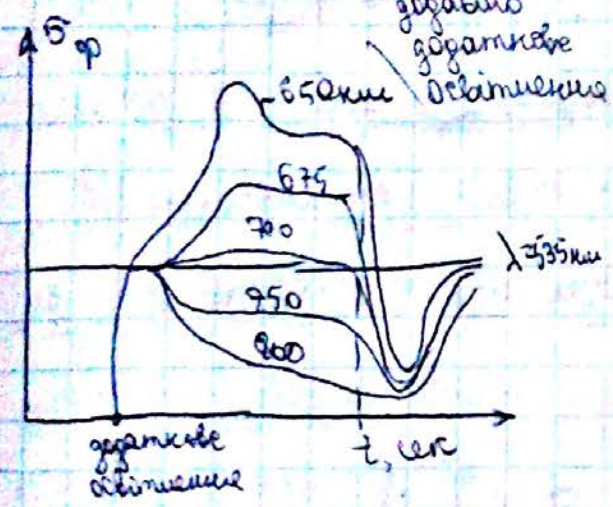


$T_{cr} \uparrow \quad L \downarrow$

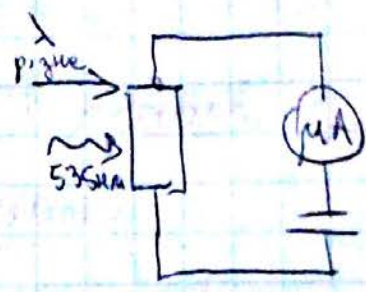
Стандартно β_F при $\uparrow T$,
а для β_F наоборот



4) оптичне посилення

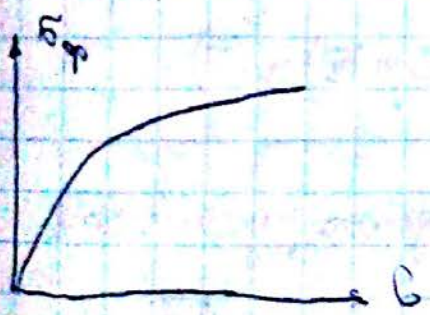


маємо певний зразок, світловий



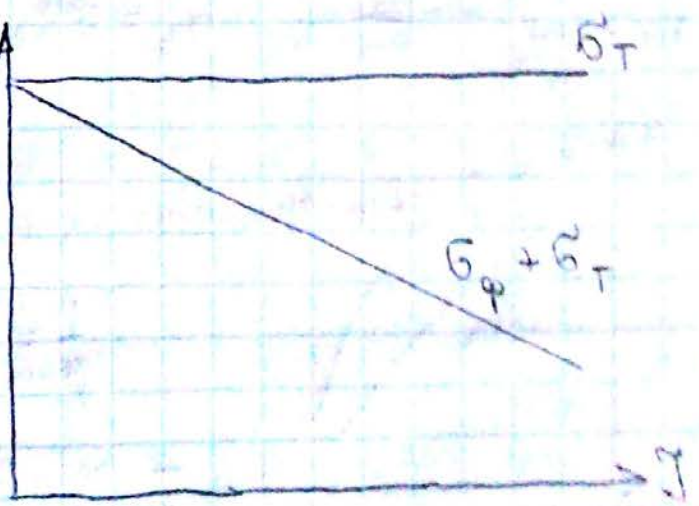
5) насичення ФП.

// Багато разів різні розміри.

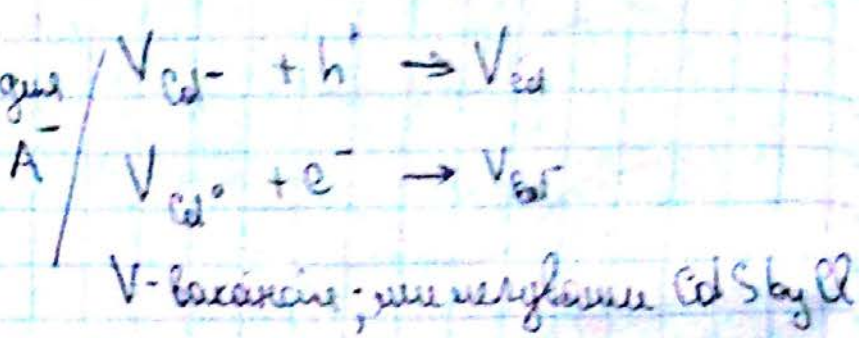
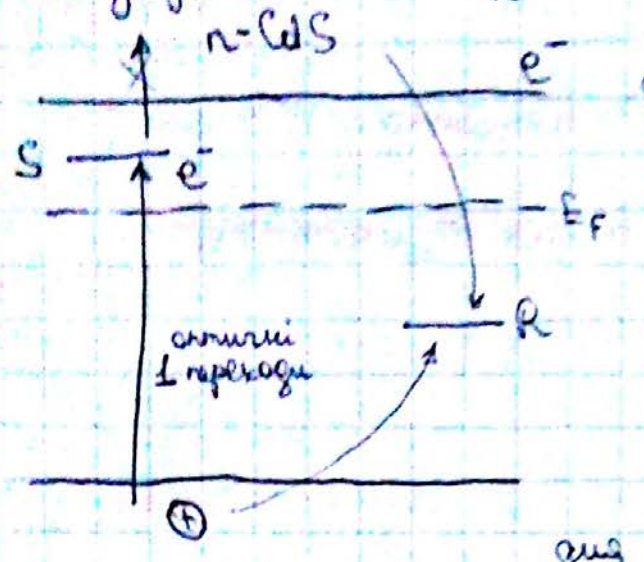


6) визначка керованого ФП: $\beta_T A$

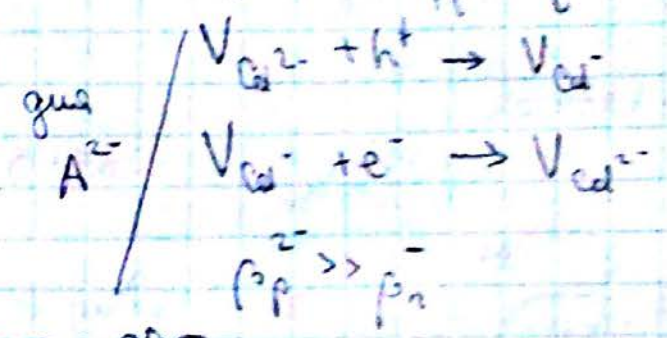
У світловому зразку і його β_F зростає.



Какая проводимость в базе непереносимости σ_T ?



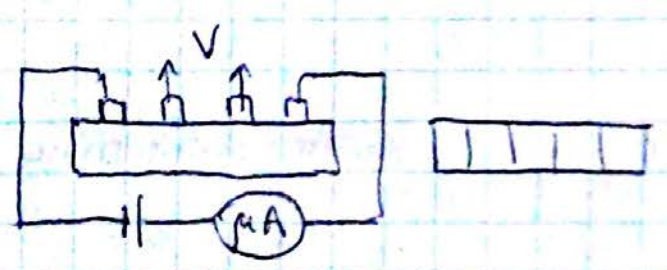
Предположим, что $\beta_p^- > \beta_n^0$



§ 10. Анализ ФП-

стационарные процессы

① Возьмем 4-х зондовый метод

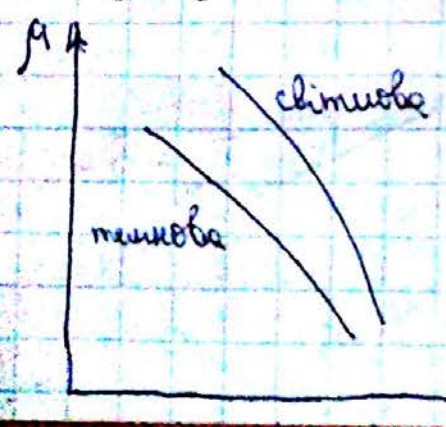
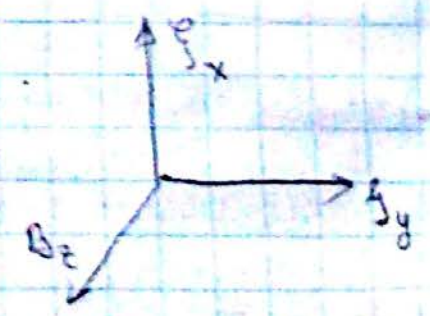


$$\sigma = \frac{j}{V} \cdot \frac{d}{s}$$

$$\sigma(T) = e \mu(T) n(T)$$

② Вирокметовуємо ефект Рана-гласгоуно рухливості.

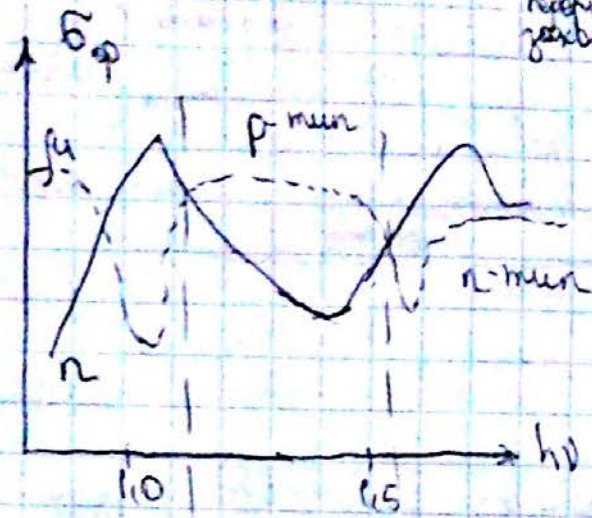
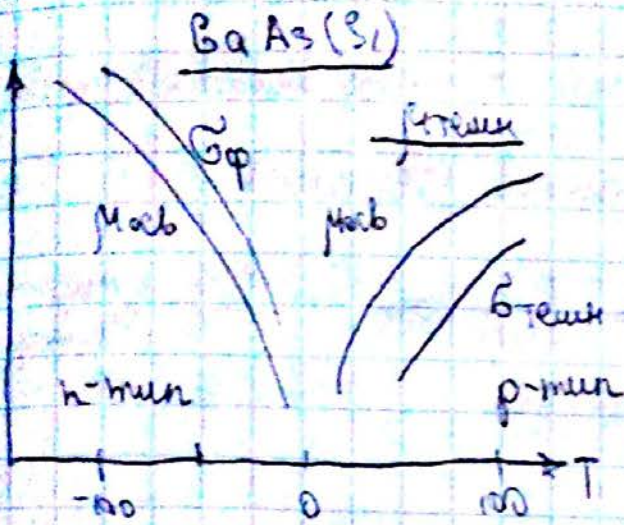
$$R_H = \frac{E_y}{j_x B_z} = \pm \frac{k}{en}; \quad \rho_H = \sigma^{-1} R_H = \pm \frac{k}{\sigma n}$$



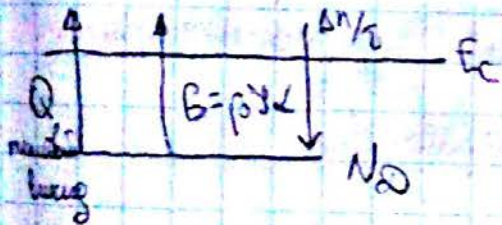
$$\frac{1}{\rho_{total}} = \frac{1}{\rho_{Hall}} + \frac{1}{\rho_{ion}}$$

T при об'ємному ρ_{Hall} зникає ефект

$\frac{1}{\mu_{об}} = \frac{1}{\mu_{газ}}$. Знаходимо $\frac{1}{\mu} = \frac{1}{\mu_{об}} - \frac{1}{\mu_T} = \frac{1}{\mu_{кан}} = \frac{m^*}{e} N_D \sigma_T$
напряг захватування



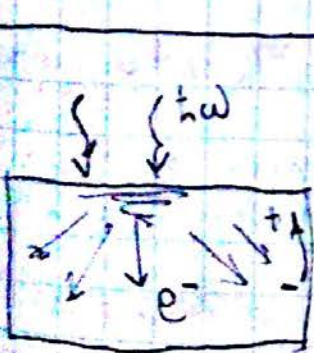
Глава 8. Потенціальні ефекти при врахуванні дифузії та дрейфу
§1. Дифузійно-дрейфові рівняння при врахуванні дифузії та дрейфу



$$j_{\omega} = e \Delta n \text{grad}(\Delta n) = e \Delta n \frac{\partial \Delta n}{\partial x} = e \Delta n \nabla(\Delta n)$$

у напрямку впади

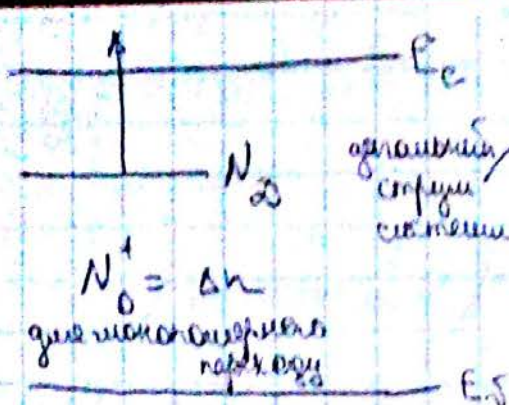
Потенціальний монополярний перепад



$$j = \sigma E = e \mu(\Delta n) E$$
 - закон Ома

Через об'ємні умовності градієнт концентрації створює об'ємний заряд,

що утворює внутрішнє поле.



ограниченный уровень системы

$$j = j_0 + j_E = e D_n \frac{\partial(\Delta n)}{\partial x} + e \mu(n) E$$

Чтобы реализовать эти равновесия, требуется дополнительное равновесие.

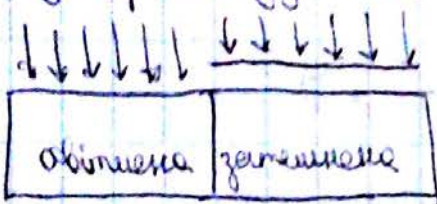
$$\text{div } E = \left(\frac{\rho}{\epsilon \epsilon_0} \right) \text{ или } = \frac{4 \pi \rho}{\epsilon^0} - \text{з теореме Гаусса в дифференциальной форме}$$

$$\frac{\partial n}{\partial t} = Q + \beta D \Delta - \frac{\Delta n}{\tau} + \frac{1}{e} \text{div } j$$

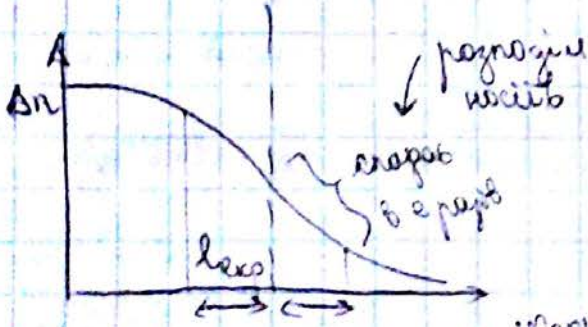
β коэффициент рекомбинации, коэффициент диффузии, коэффициент поглощения

§2. Возникновение концентрации неравновесных зарядов при некачественной рекомбинации

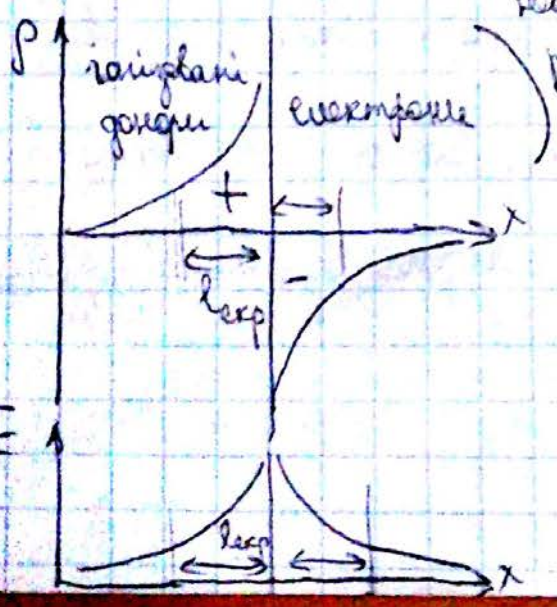
Выпадок реализуется в фотоприемнике. Если масса фотокатализатора велика, то доноры



$\Delta n = N_D^+$, где помехи из донорных уровней.



$$j = j_0 + j_E = e D_n \frac{\partial \Delta n}{\partial x} + e \mu(n) E = 0$$



неоднородно распределены заряды при $\Delta n \ll N_D$ μ_n малый дрейфовый коэффициент, освещенная область не имеет потенциалов

$E = - \frac{\partial \phi}{\partial x} = - \frac{\partial}{\partial x} \left(\frac{kT}{e} \ln \frac{n_0 + \Delta n}{n_0} \right)$. Заряды сбалансированы в единице, тогда

$$E = - \frac{kT}{e} \cdot \frac{\partial(n_0 + \Delta n)}{\partial x}$$

div $E = \frac{\rho}{\epsilon \epsilon_0}$; $\frac{dE}{dx} = \frac{\rho}{\epsilon \epsilon_0}$, тоді $E = -\frac{kT}{e} \frac{d(\Delta n)}{dx} \cdot \frac{1}{\epsilon_0}$

оптимальний баланс

$\frac{dE}{dx} = -\frac{kT}{e n_0} \cdot \frac{d^2(\Delta n)}{dx^2} = \left[\begin{matrix} \text{компенсуючі} \\ \text{випусти} \end{matrix} \right] = -\frac{e(\Delta n)}{\epsilon \epsilon_0}$

знайдемо ρ : $\rho = e(p-n)$. Оскільки n практично n_0 , то

ρ виходить за різницею нескерованих носіїв. Тоді, $\rho = e(\Delta n)$

$\frac{d^2(\Delta n)}{dx^2} - \frac{e^2 n_0}{\epsilon \epsilon_0 kT} \Delta n = 0 \Rightarrow \Delta n = C_1 e^{\lambda x} + C_2 e^{-\lambda x}$ де

$\lambda_1 = 1/l_{\text{exp}}$; $\lambda_2 = -1/l_{\text{exp}}$ / $l_{\text{exp}} = \sqrt{\frac{\epsilon \epsilon_0 kT}{e^2 n_0}}$

якщо підставити граничні умови, то маємо розв'язок: $\Delta n = \Delta n_0 e^{-x/l_{\text{exp}}}$

l_{exp} - довільний радіус екранування.

Візьмемо Si, легований $\sim 10^{16} = 10^{18}$, то $l_{\text{exp}} \sim 10^{-4} = 10^{-5}$ см

§ 3 Час Максвелла в танковій дифузійно-дрітвовій рівновазі

$l = \sqrt{D \tau}$ - довжина дифузійного змінювання

$D = \frac{kT}{e \mu}$

$l_{\text{exp}} = \sqrt{\frac{\epsilon \epsilon_0 kT}{e^2 n_0}} = \sqrt{\frac{kT}{e} \cdot \frac{\mu_0 \epsilon \epsilon_0}{\mu n_0 e n_0}} = \sqrt{\frac{D \epsilon \epsilon_0}{\sigma_0}} = \sqrt{D \tau} \cdot \frac{\epsilon \epsilon_0}{\sigma_0} = l$

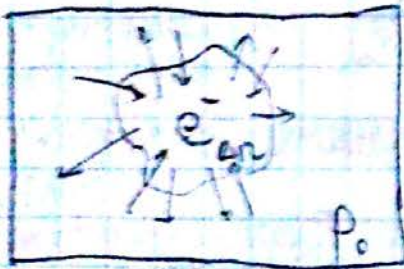
Маємо зв'язок

$R = \frac{1}{\sigma_0} \frac{d}{S}$; $C = \frac{\epsilon \epsilon_0}{d} S$, тоді

$RC = \frac{\epsilon \epsilon_0}{\sigma_0} = \tau$



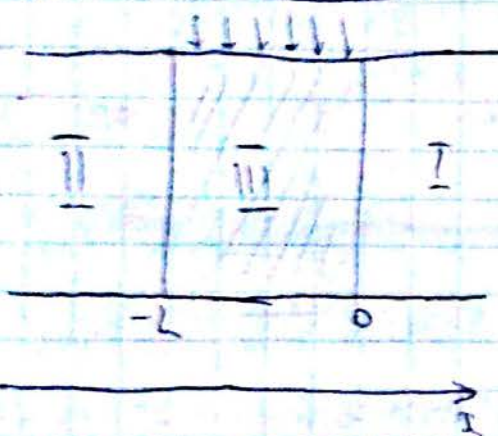
§ 4. Структура та границі носіїв (Бінарний випадок)



$$\Delta n = \Delta p$$

$$\epsilon_n > \epsilon_p$$

Масно конкуренція і присківок



$$1) \Delta n < \rho_0$$

$$2) \frac{\partial}{\partial t}(\Delta n) = G - \frac{\Delta n}{\tau} + \frac{1}{e} \frac{\partial j}{\partial x} = 0$$

$$3) j = j_0 + j_e = e \Delta n \frac{\partial}{\partial x} \Delta n + e \mu_n E n$$

Вважаємо, що ми вийшли на рівновагу.

$$\frac{\partial j}{\partial x} = e \Delta n \frac{\partial^2(\Delta n)}{\partial x^2} + e \mu_n E \frac{\partial \Delta n}{\partial x}, \text{ підставимо в 2)}$$

$$\Delta n \frac{\partial^2(\Delta n)}{\partial x^2} + \mu_n E \frac{\partial \Delta n}{\partial x} - \frac{\Delta n}{\tau} = -G \Rightarrow \frac{\partial^2(\Delta n)}{\partial x^2} + \frac{\mu_n E \tau}{\Delta n} \frac{\partial \Delta n}{\partial x} - \frac{\Delta n}{\tau \Delta n} = -\frac{G \tau}{\Delta n}$$

$l_D = \sqrt{\Delta n \tau}$; $l_E = \mu_n E \tau$, переміщуємо у нових позначеннях

$$\frac{\partial^2(\Delta n)}{\partial x^2} + \frac{l_E}{l_D^2} \frac{\partial(\Delta n)}{\partial x} - \frac{\Delta n}{l_D^2} = -\frac{G \tau}{l_D^2}$$

I та II крім облічених, таму $G=0$, масно:

$$I_{\text{обл}} \Delta n = \text{const } e^{-x/l_D}$$

$$II_{\text{обл}} \Delta n = \text{const } e^{-x/l_E}$$

$$III \text{ масно облічене } \Delta n = \tau G \frac{1}{l_1 + l_2} \left[l_1 \left(1 - e^{-\frac{L+x}{l_1}} \right) + l_2 \left(1 - e^{-x/l_2} \right) \right]$$

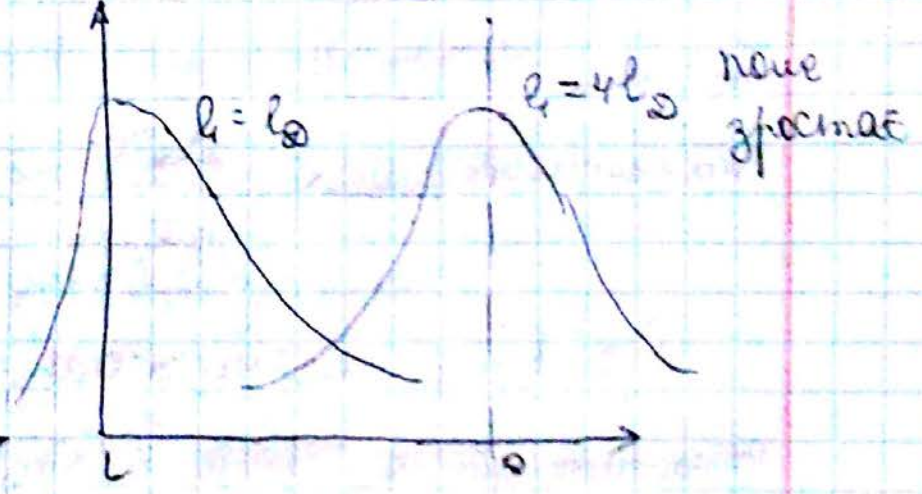
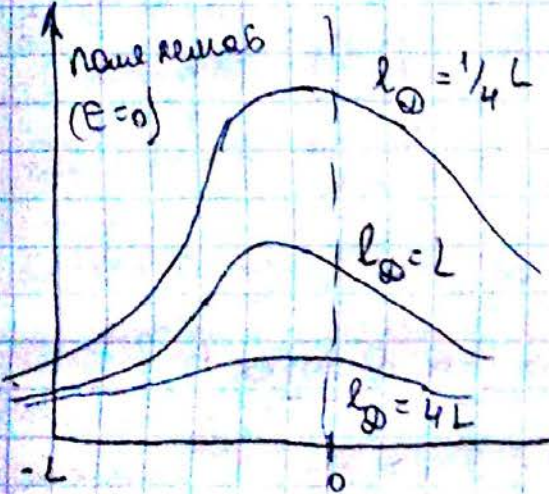
$$l_1 = \frac{2l_0^2}{\sqrt{l_E^2 + 4l_0^2} - l_E} ; \quad l_2 = \frac{2l_0^2}{\sqrt{l_E^2 + 4l_0^2} + l_E}$$

при $l_E \gg l_0$ можно:

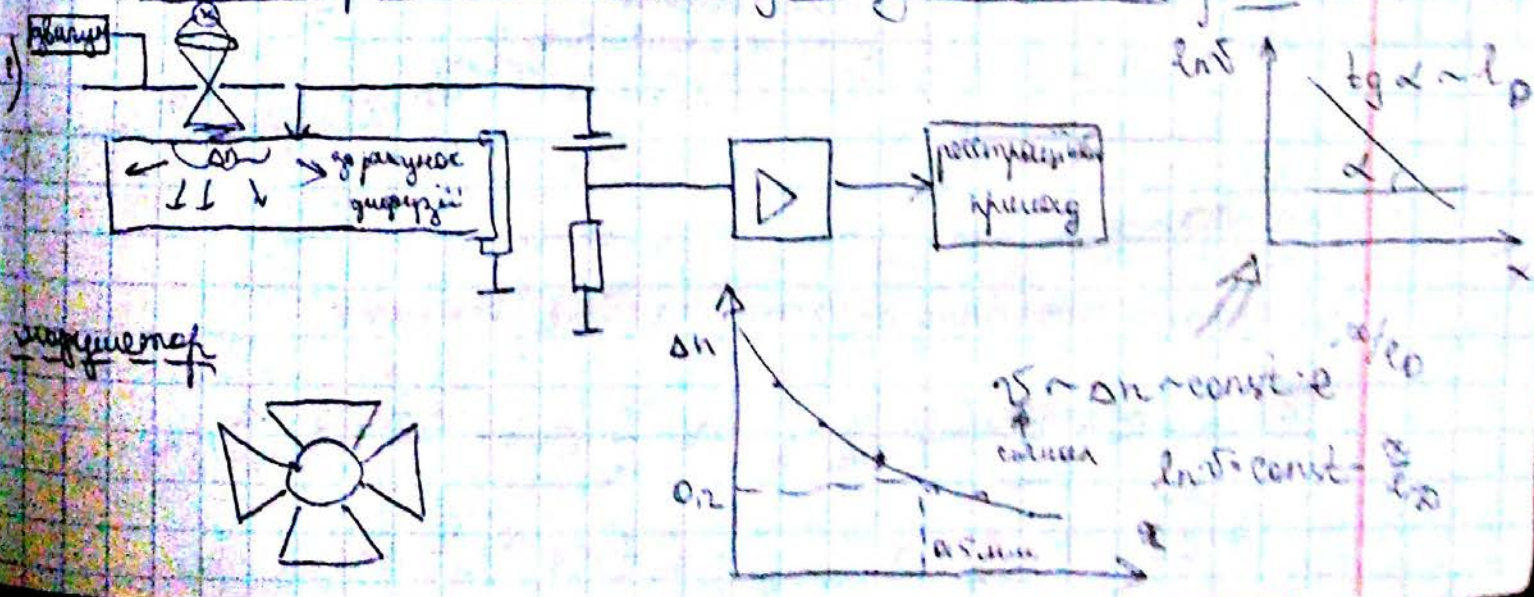
$$l_1 = \frac{2l_0^2}{l_E} \cdot \frac{1}{\sqrt{1 + 4\frac{l_0^2}{l_E^2}} - 1} ; \quad l_2 = \frac{2l_0^2}{l_E} \cdot \frac{1}{\sqrt{1 + 4\frac{l_0^2}{l_E^2}} + 1}$$

$$l_1 = \frac{2kT}{e} \mu_n \tau \cdot \frac{1}{\mu_n E \tau} \cdot \frac{1}{\sqrt{1 + 4\frac{2kT}{e} \frac{\mu_n \tau}{l_E^2}} - 1} = \frac{2kT}{eE} \cdot \frac{1}{\sqrt{1 + \frac{4kT}{e} \mu_n \frac{1}{E^2 \tau^2}} - 1} \approx l_E = \tau \mu E$$

$$l_2 = \frac{2l_0^2}{l_E \cdot 2} = \frac{\partial \tau}{\mu E \tau} = \frac{kT}{e} \cdot \frac{\mu_n}{\mu_n} \cdot \frac{\tau}{E} = \frac{1}{E} \cdot \frac{kT}{e}$$



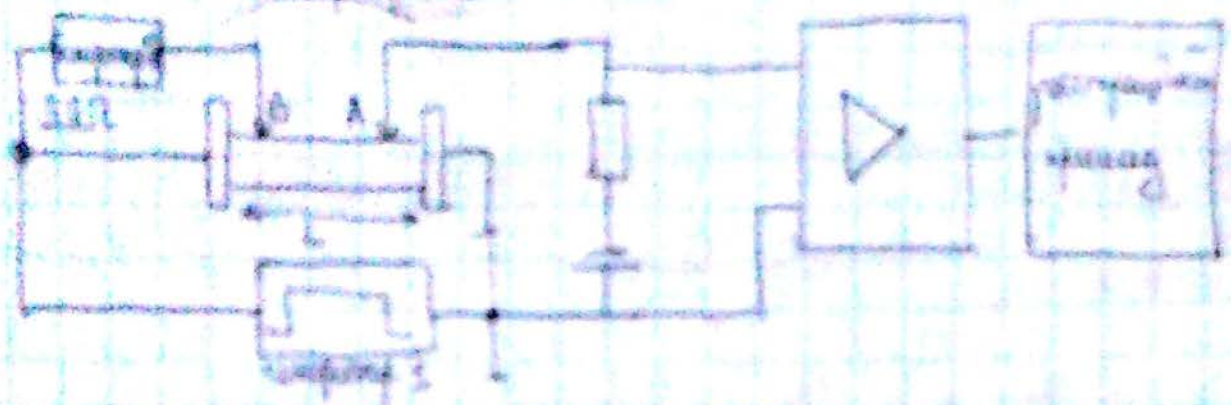
§ 5. Экспериментальные зависимости l_0 от $\mu_n \tau$



1) $\mu_p = 1300$ cm²/V·s, $\mu_n = 350$ cm²/V·s

$\mu_p = 1300$ cm²/V·s, $\mu_n = 350$ cm²/V·s

2) $\mu_p = 1300$ cm²/V·s, $\mu_n = 350$ cm²/V·s



$$I = \frac{L}{E} \cdot N \cdot e \cdot v$$



$$I = \frac{L}{E} \cdot N \cdot e \cdot v$$



§ 6. Дифференциальная проводимость на границе

Уравнение Фоккера-Планка $\mu_n > \mu_p$; $D_n > D_p$



Уравнение Фоккера-Планка

$$I = \frac{e}{E} \cdot N \cdot v$$

Плотность тока

$\mu_n > \mu_p$

Уравнение Фоккера-Планка

$$\frac{\partial \rho}{\partial t} = G - \rho \cdot \frac{\partial v}{\partial x} - \frac{\partial}{\partial x} (D \cdot \rho) \Rightarrow \frac{\partial \rho}{\partial x} = \frac{G}{v} + \frac{\partial}{\partial x} \left(\frac{D}{v} \cdot \rho \right)$$

$$I = e \cdot N \cdot v \cdot \rho \Rightarrow \mu = \frac{I}{E \cdot N \cdot e} = \frac{e \cdot N \cdot v \cdot \rho}{E \cdot N \cdot e} = \frac{v \cdot \rho}{E}$$

$$j_p = e \mu_p p E - e D_p \frac{\partial p}{\partial x}; \quad j_n = e \mu_n n E + e D_n \frac{\partial n}{\partial x}$$

Враховуємо рівняння:

$$\frac{\partial j_p}{\partial x} = e \mu_p E \frac{\partial p}{\partial x} - e D_p \frac{\partial^2 p}{\partial x^2}; \quad \frac{\partial j_n}{\partial x} = e \mu_n E \frac{\partial n}{\partial x} + e D_n \frac{\partial^2 n}{\partial x^2}$$

Вважаємо, що стаціонарні умови мають $\frac{\partial p}{\partial t} = 0$ і $\frac{\partial n}{\partial t} = 0$.

Відповідно $\frac{\partial j_p}{\partial x}$ і $\frac{\partial j_n}{\partial x}$:

$$0 = -\frac{\Delta p}{\tau} - \mu_p E \frac{\partial p}{\partial x} + D_p \frac{\partial^2 p}{\partial x^2}; \quad 0 = -\frac{\Delta n}{\tau} + \mu_n E \frac{\partial n}{\partial x} + D_n \frac{\partial^2 n}{\partial x^2}$$

Множимо рівняння на b_n і b_p і потім додаємо

$$\begin{aligned} D_p b_n \frac{\partial^2 p}{\partial x^2} - \mu_p b_n E \frac{\partial p}{\partial x} - \frac{\Delta p}{\tau} b_n &= 0 \\ + D_n b_p \frac{\partial^2 n}{\partial x^2} + \mu_n b_p E \frac{\partial n}{\partial x} - \frac{\Delta p}{\tau} b_p &= 0 \end{aligned} \quad / \text{скасується } \Delta n = \Delta p$$

$$\frac{D_p b_n + D_n b_p}{b_n + b_p} \cdot \frac{\partial^2 p}{\partial x^2} + \frac{\mu_n b_p - \mu_p b_n}{b_n + b_p} \cdot \frac{\partial p}{\partial x} E - \frac{\Delta p}{\tau} = 0$$

Власно: $D = \frac{D_p b_n + D_n b_p}{b_n + b_p} = \frac{kT}{e} \cdot \frac{\mu_p e \mu_n n_0 + \mu_n e \mu_p p_0}{e \mu_n n_0 + e \mu_p p_0}$

$D = \frac{kT}{e} \cdot \left(\frac{n_0 + p_0}{n_0/\mu_p + p_0/\mu_n} \right)$ D коефіцієнт одновимірної дифузії
 $\frac{n_0/\mu_p + p_0/\mu_n}$ — одновимірний дифузійний рухливості

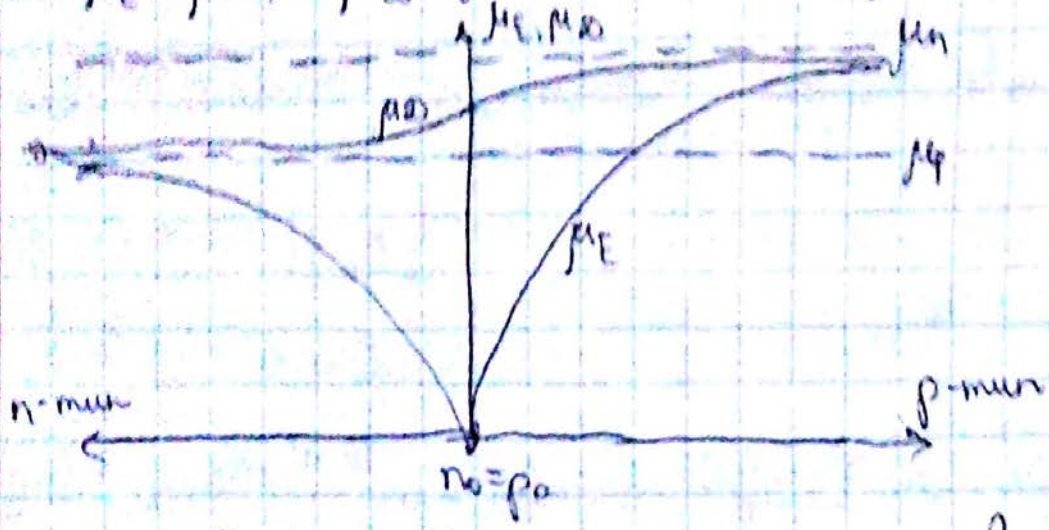
$$\frac{\mu_n b_p - \mu_p b_n}{b_n + b_p} = \frac{\mu_n e \mu_p p_0 - \mu_p e \mu_n n_0}{e \mu_n n_0 + e \mu_p p_0} = \frac{p_0 - n_0}{n_0/\mu_p + p_0/\mu_n} \quad \text{— одновимірний дрейфовий рухливості } \mu E$$

1) Високі n/p , $n_0 = p_0$

$$\mu_b = 0; \quad \mu_D = 2 \frac{\mu_n \mu_p}{\mu_n + \mu_p} \Rightarrow D = 2 \frac{kT}{e} \cdot \frac{\mu_n \mu_p}{\mu_n + \mu_p}$$

збільшенням $\rho_0 \gg \rho_a$

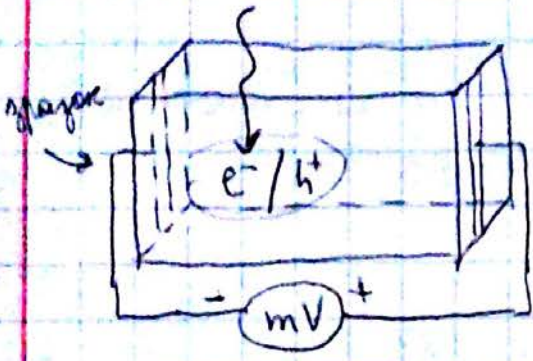
$\mu_e \approx \mu_n$; $\mu_a \approx \mu_n \Rightarrow D = \frac{kT}{e} \mu$



Глава 9. Механізми формування ЕРС

прикладаємо поле на зразок.

щоб розкрити заряди в зразку, є допом.



⊕ μ/n однорідний:

а) $\mu_n \neq \mu_p$ - ЕРС Дендера

б) вносимо додаткове поле - маг.

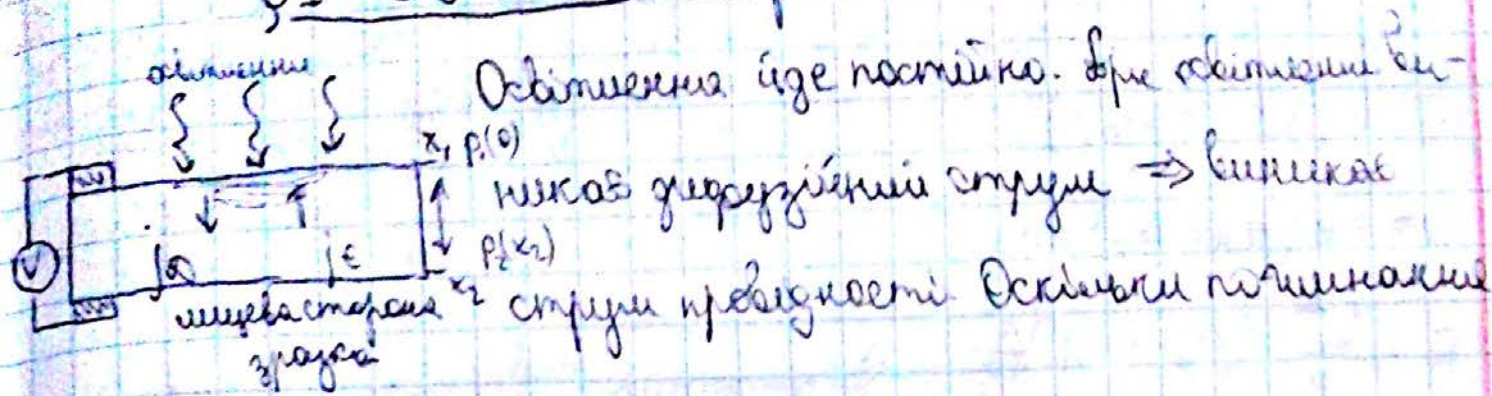
китке;

ⓐ μ/n неоднорідний: гетеро- та гомоструктури, p-n і p-n-i (дод. Шоттки, nDZ-структури)

ⓑ спосіб в основному використовується для визначення параметр

μ в μ/n - лб.

§1. ЕРС Шелледе



Однородная идеальная полупроводниковая структура с вытекающей струей носителей. Обильная инжекция носителей

вправо (перемещаются e^- на h^+), но дрейфа носители дрейфа носителей.

$$j_n = \sigma E + e D \frac{dn}{dx} = e \mu_n n E + kT \mu_n \frac{dn}{dx}, \text{ где } D = \frac{kT}{e} \mu_n$$

$$j_p = e \mu_p p E - kT \mu_p \frac{dp}{dx}$$

$$\text{Общий ток } j = j_n + j_p = e E (\mu_n n + \mu_p p) + kT (\mu_n \frac{dn}{dx} - \mu_p \frac{dp}{dx}) = 0$$

Обильная инжекция носителей, то $j = 0$ (чтобы ток не был равен нулю)

$$\text{напряжения): } E = \frac{kT}{e} \frac{-\mu_n \frac{dn}{dx} + \mu_p \frac{dp}{dx}}{\mu_n n + \mu_p p}$$

Для шунт-структуры выразу:

$$E = \frac{kT}{e} \cdot \frac{\mu_p \frac{dp}{dx}}{\mu_p p} \text{ . Найдем } V \text{ (напряжение):}$$

$$V = \frac{kT}{e} \int_{x_1}^{x_2} \frac{dp}{dx} \cdot \frac{dx}{p} = \frac{kT}{e} \ln \frac{p_2}{p_1}$$

Если $p_2 = p_1$, то $V = 0$

Для диффузионной структуры:

$\Delta n = \Delta p$ - одинаковые концентрации: кривые носителей

$$n = n_0 + \Delta n; \quad p = p_0 + \Delta p$$

Вернемся к формуле для E (разделим на e):

$$E = \frac{kT}{e} \cdot \frac{-\mu_n \frac{dn}{dx} + \mu_p \frac{dp}{dx}}{\mu_n n + \mu_p p} \cdot \frac{e}{e} \cdot \frac{\mu_n + \mu_p}{\mu_n + \mu_p}$$

$$\parallel \mu_p \frac{dp}{dx} - \mu_n \frac{dn}{dx} = (\mu_p - \mu_n) \frac{d\phi}{dx}$$

$$\sigma = e(\mu_n n + \mu_p p)$$

$$\parallel e \cdot \frac{d\phi}{dx} (\mu_n + \mu_p) = \frac{d\Delta\phi}{dx}$$

$$\Delta\sigma = e(\mu_n + \mu_p) \Delta n$$

$$E = \frac{kT}{e} \cdot \frac{(\mu_p - \mu_n) \frac{d\Delta\sigma}{dx}}{(\mu_p + \mu_n) \sigma}$$

Знаемогемо картину:

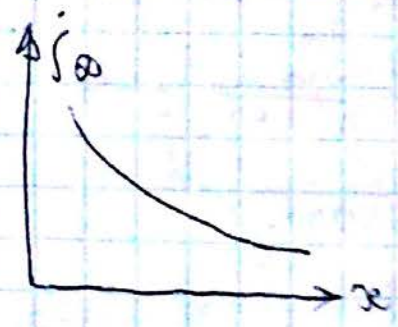
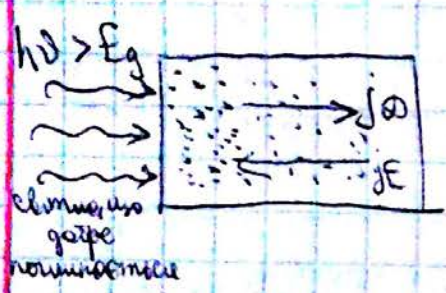
$$V = \int_{x_1}^{x_2} E dx = \frac{kT}{e} \cdot \frac{\mu_n - \mu_p}{\mu_n + \mu_p} \ln \frac{\sigma_2}{\sigma_1}$$

$$\parallel \frac{kT}{e} \Big|_{Hy} \approx 40 \text{ mV}$$

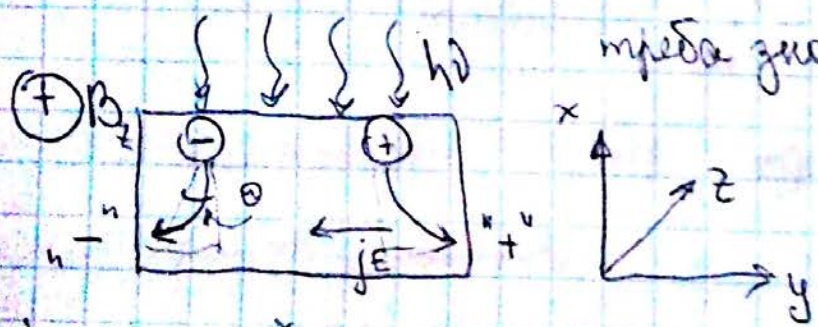
ако $\mu_n = \mu_p$, то $V = 0$

при н.у. $V \sim 10^{-2} \div 10^{-3} \text{ В}$

§2. Потенциалови магнитний ефект



коли J збільшиться J потужність не буде

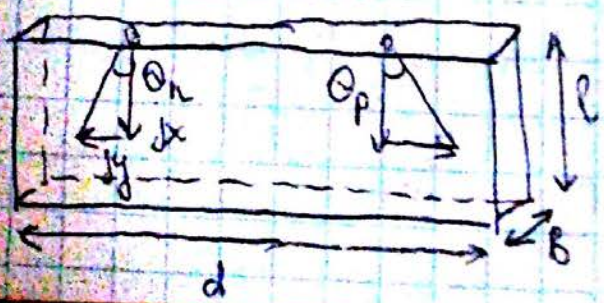


треба знати $j_E = f(j_x)$

$$\text{tg } \theta_n = -\mu_n^* B = -\mu_n \alpha B$$

де α - коефіцієнт розширення

$$\text{tg } \theta_p = \mu_p^* B = \mu_p \alpha B$$



$$j_{py} = \text{tg } \theta_p \cdot j_{px} = \mu_p \alpha B j_{px}$$

$$j_{ny} = \text{tg } \theta_n \cdot j_{nx} = -\mu_n \alpha B j_{nx}$$

$$j_y = j_{py} + j_{ny} = \alpha B (\mu_p j_{px} - \mu_n j_{nx})$$

если считать, что $j_n = eD_n \frac{dn}{dx}$ и $j_p = eD_p \frac{dp}{dx}$, то мы имеем:

тогда, учитывая условие непрерывности: при $\Delta n = \Delta p$, $D_{n,p} \rightarrow D$

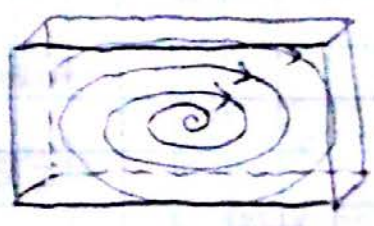
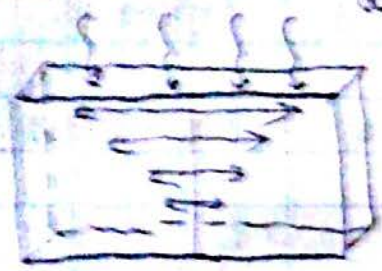
$$eD \frac{d\Delta n}{dx} = eD \frac{d\Delta p}{dx}$$

$$j_n = -eD \Delta n (\mu_n + \mu_p) \frac{d(\Delta p)}{dx}$$

$$I_{\text{диф}} = e \int_0^L j_n dx = -eD \Delta n (\mu_n + \mu_p) e \int_0^L \frac{d(\Delta p)}{dx} dx = b$$

$$b = b_0 + \Delta b = \frac{b \cdot l}{a} r_0 + \frac{b}{a} \int_0^L \Delta p dx = \frac{b \cdot l}{a} r_0 + \frac{b}{a} \cdot l (\mu_n + \mu_p) \int_0^L \Delta p dx$$

$$V_{\text{ФЕМ}} = \frac{I_{\text{диф}}}{\sigma} = \frac{eD \Delta n (\mu_n + \mu_p) [e \Delta p(0) - \Delta p(L)]}{\frac{b \cdot l}{a} b_0 + \frac{b}{a} e (\mu_n + \mu_p) \int_0^L \Delta p dx}$$



Учитывая, что $\Delta p = 0$ на боковой поверхности, то $\Delta p(L) = 0$.

высокий уровень инжекции:

$$\Delta p = \Delta p(0) e^{-x/L}; \quad \Delta p(L) = 0; \quad \text{учитываем } \frac{b \cdot l}{a} b_0.$$

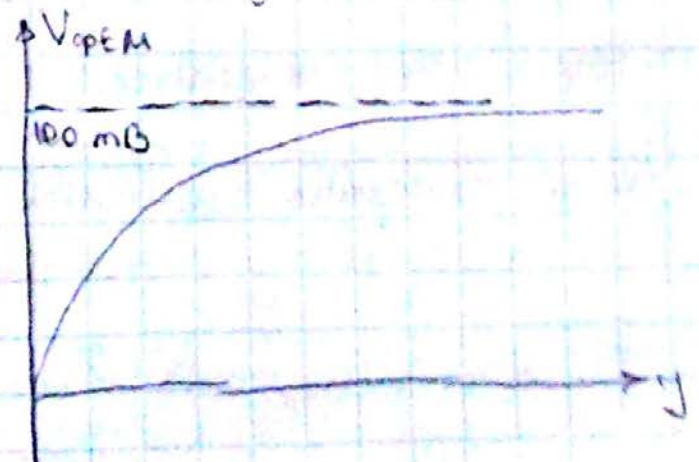
$$\int_0^L \Delta p dx = \Delta p(0) L, \text{ тогда имеем:}$$

$$V_{\text{ФЕМ}} = eD \Delta n \frac{1}{L}, \text{ тогда } V_{\text{ФЕМ}} = f(\Delta n) - \text{минимум задержки}$$

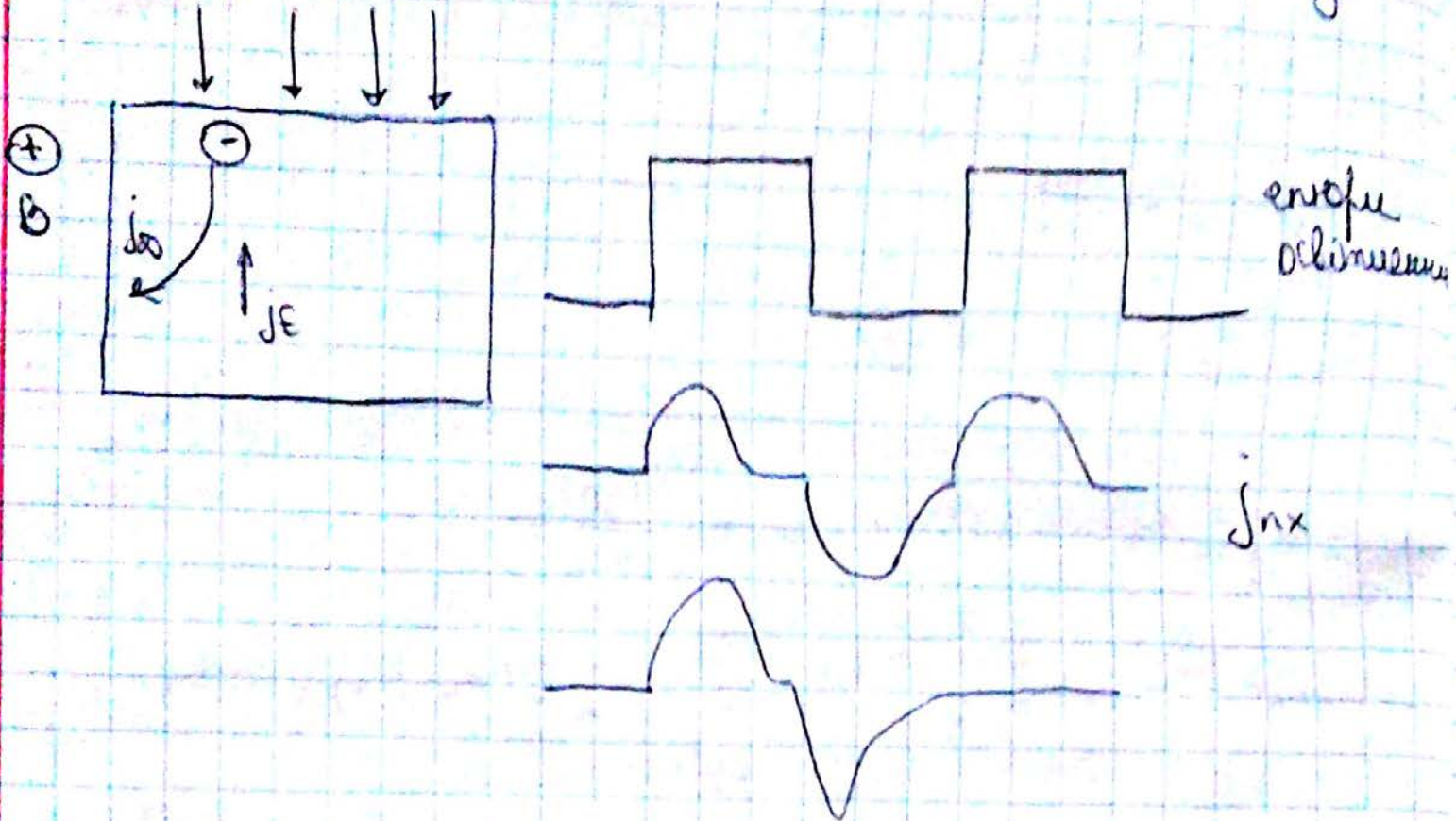
низкий уровень инжекции:

$$\Delta p \ll n_0 + p_0, \text{ тогда } \Delta p \approx \Delta n$$

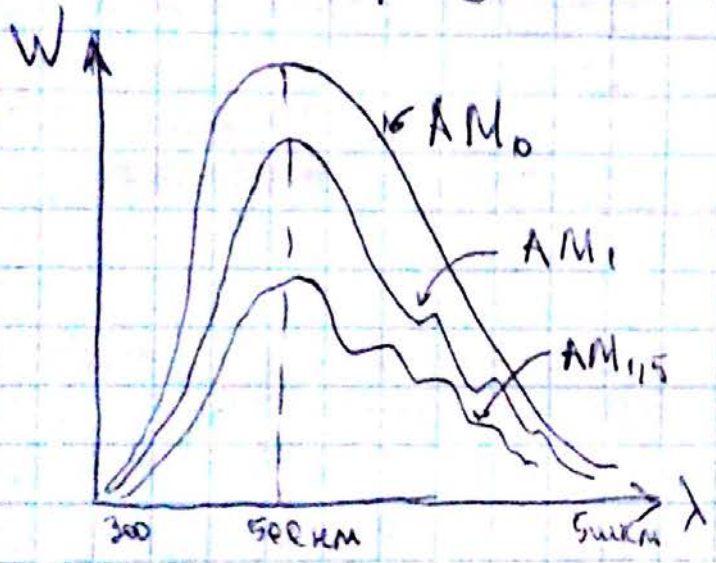
$$V_{\text{ФЕМ}} = \frac{eD \Delta n a (\mu_n + \mu_p) \Delta p}{L b_0}$$



§ 3. Монополярна керування PNM-структур



§ 4. Формування фотоЕРС в н/р переході



температура Сонця $\approx 5600^\circ$.

AM_0 - атмосферна маса:

1350 Вт/м^2 при AM

AM_1 - в зеніті, 1000 Вт/м^2

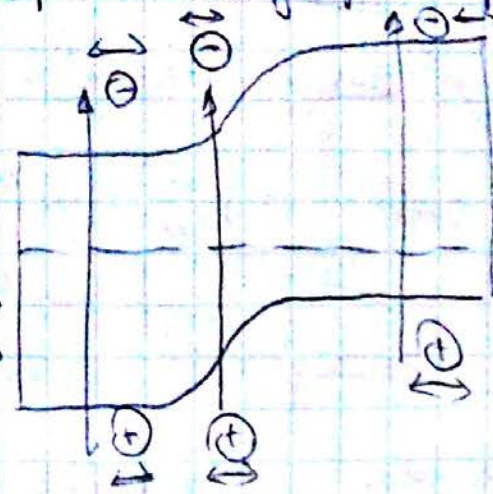
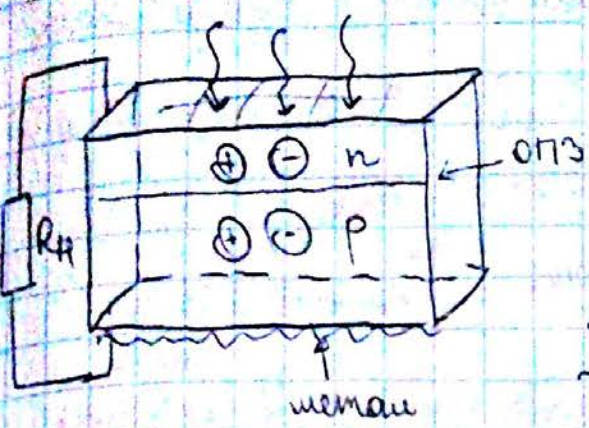
$AM_{2,5} - 45^\circ$, 900 Вт/м^2 .

на 1 см^2 сонячного елемента повинно падати $\approx 100 \text{ мВт}$.

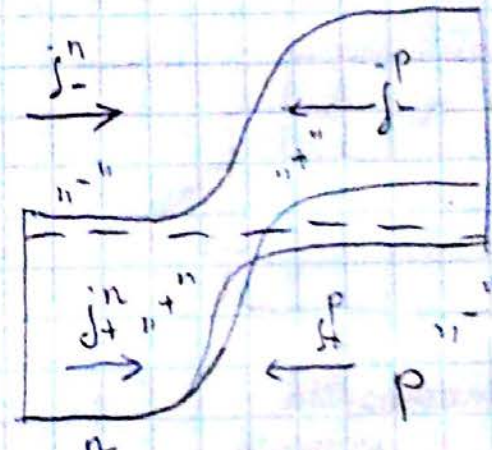
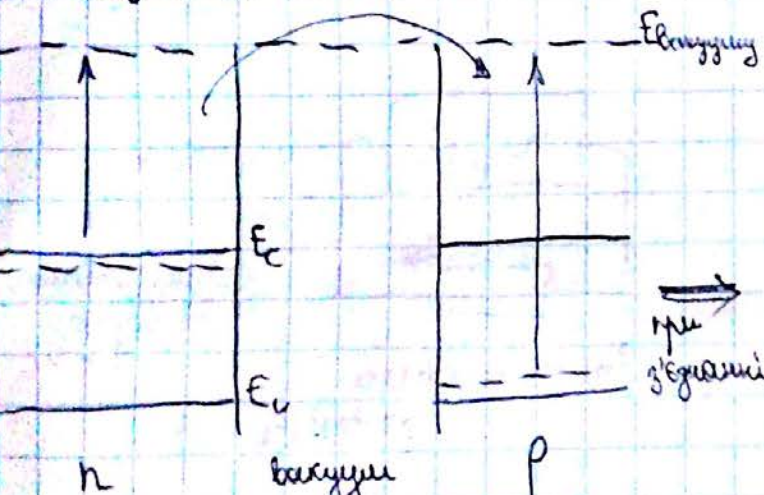
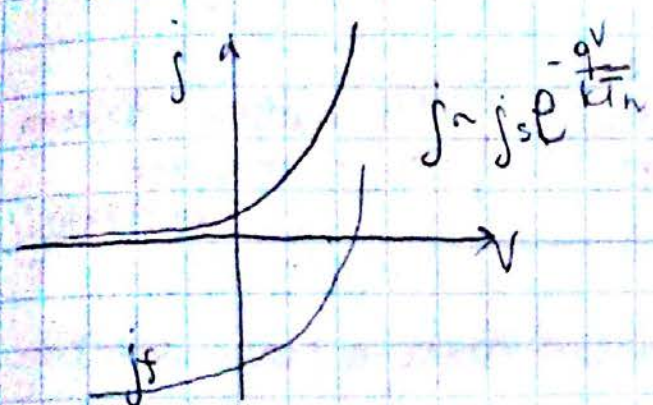
на Україні $\approx 1100 - 1400 \frac{\text{кВт} \cdot \text{год}}{\text{м}^2 \cdot \text{рік}}$ - падає енергія сонця.

У 1954 рік, Bell Corporation, Чашек, Фулмер, Герсон - запропонував сонячний елемент.

експериментальная графика р-н перехода

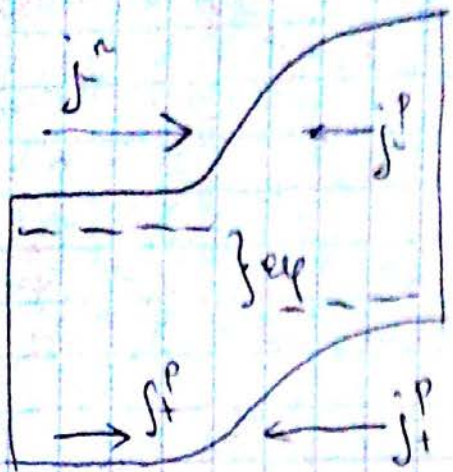


ноги могут
руководить тем
на границе
диффузионного
длины.



Розглянемо струми. Струми j_n та j_p будуть однаковими, за рахунок того, що в n-області електронів багато, в p-шарі $j_n = j_p$; $j_p = j_n = j_p$; $-j_n + j_n + j_p - j_p = 0$ / те ж саме у вигляді
 Нам це необхідно, то формуємо термодинамічну рівновагу.
 Через Fermi з часом буде поділитися у напівпровідник, але цього
 вистачить. Висота потенціального бар'єру знизиться.

Условие при равновесии.



$$j_s^- - j_n^- + j_n^+ + j_p^- - j_p^+ = 0$$

$$\begin{cases} j_n^- = j_{ns} e^{+e\phi_F/kT} \\ j_p^+ = j_{ps} e^{-e\phi_F/kT} \end{cases}$$

Смещение уровня относительно энергии в полупроводнике

j_s^- — ток дрейфа электронов

$$j_s = j_{ps} + j_{ns} \Rightarrow$$

$$j_s - j_s (e^{e\phi_F/kT} - 1) = 0$$

уровень равен энергии электронов

$$\phi = \frac{kT}{e} \ln\left(\frac{j_s}{j_s} + 1\right)$$

где ϕ — фактически напряжение теплового тока



напряжение короткого замыкания

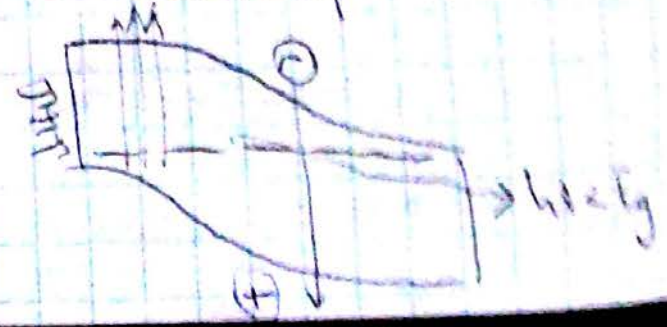
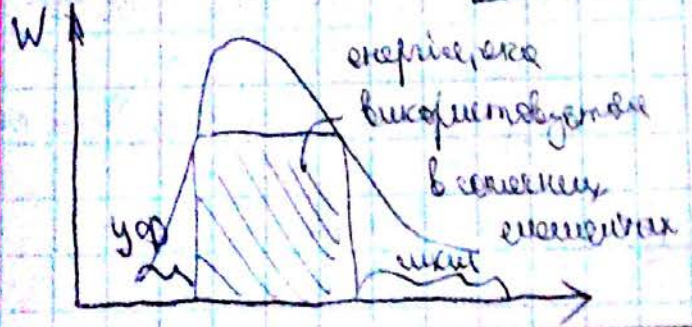
Рассмотрим солнечный режим.

$$j_s - j_s (e^{e\phi/kT} - 1) = j$$

или $\phi = \frac{kT}{e} \ln\left(1 + \frac{j}{j_s}\right)$

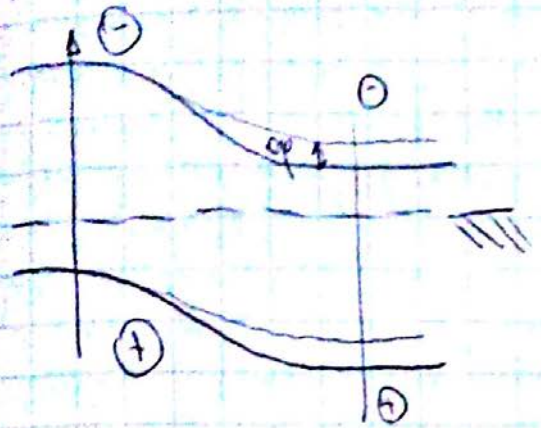
$$j = \frac{\phi - V}{R}$$

или $j_s - j_s (e^{e\phi/kT} - 1) = \frac{\phi - V}{R}$ фотодиодный

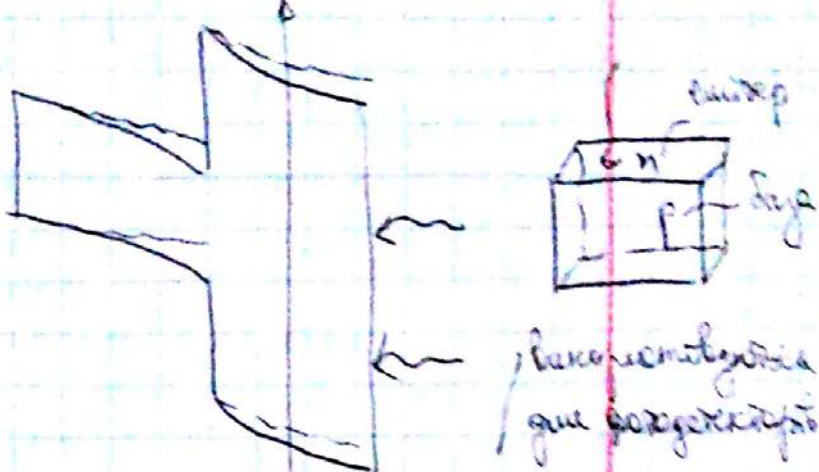


Знаме Surface:

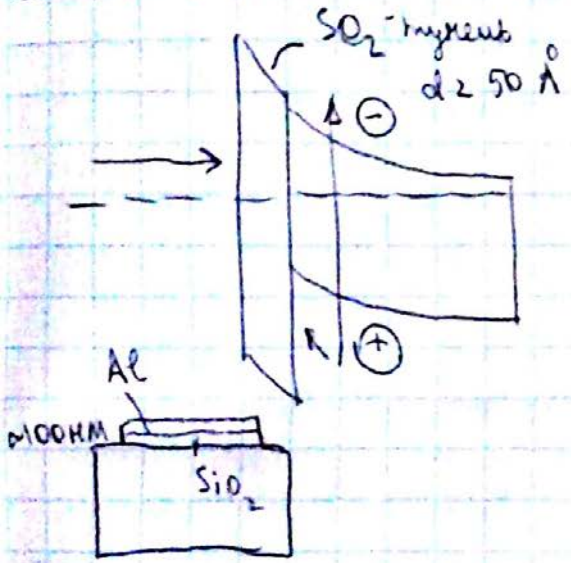
① p-n переход:



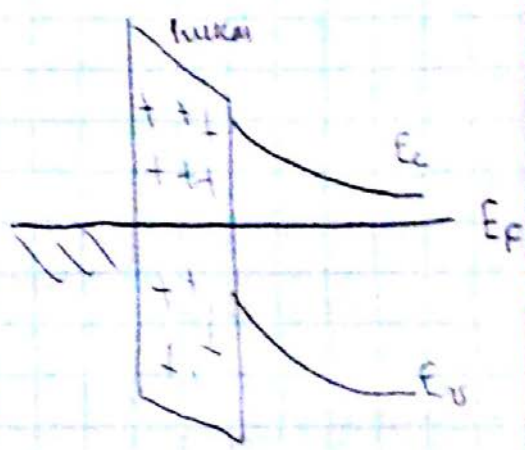
② Semiconductor:



③ КМНП



④ МДН



c/μ
объема i
твердого
решет